arXiv:alg-geom/9512006v2 15 Dec 1995

SUR DES NOTIONS DE n-CATEGORIE ET n-GROUPOIDE NON-STRICTES VIA DES ENSEMBLES MULTI-SIMPLICIAUX

Zouhair Tamsamani

Laboratoire de Topologie et Géométrie (URA-CNRS 1408)

Université Paul Sabatier, 118, route de Narbonne, 31062 Toulouse, France.

INTRODUCTION

Dans son manuscrit [1], A.Grothendieck a souvent fait référence à la notion de n-catégorie et n-groupoide comme moyen de formalisation en algèbre homologique et homotopique. Selon lui on devrait pouvoir associer a un espace topologique X un n-groupoide fondamentale $\Pi_n(X)$ qui généralise le groupoide de Poincaré de X et qui contiendrait l'information des groupes d'homotopie $\pi_i(X)$ pour $i \leq n$. Aussi on pourrait définir une notion de réalisation géométrique d'un n-groupoide qui permettrait par la suite de voir que tout n-groupoide est n-équivalent a un $\Pi_n(X)$. D'autre part les n-catégories permettrait une bonne interpretation de la cohomologie non abélienne suivant les travaux de J. Giraud [2] et L. Breen [3].

A. Grothendieck a donné quelques indications de la façon dont on peut définir une n-catégorie, en essayant d'expliciter les différentes compositions des i-flèches, les morphismes de cohérences et les relations aux quelles elles satisfont. Mais le problème qui oblige les usagers de ses notions (J. Giraud [2] - L. Breen [3] - O. Leroy [4]) à se restreindre au cas $n = 1{,}2$ et 3 c'est qu'à partir de $n \geq 3$ les données deviennent trop nombreuses et leur comportement se complique.

L'objet de cette thèse consiste en un premier temps, de donner une bonne définition formelle d'une n-catégorie et d'un n-goupoide non strictes en termes d'ensembles multi-simpliciaux avec les propriétés qui en découlent, et dans un second temps de vérifier avec cette nouvelle notion certains des idées de Grothendieck. Comme le mot n-catégorie veut dire stricte dans la littérature on appellera notre construction de n-catégorie large un n-nerf.

On appelle *1-nerf* un foncteur contravariant Φ, de la catégorie simpliciale Δ vers celle des ensembles, qui vérifie la condition suivante :
($\star$) Pour tout entier non nul m, l'application :

$$\begin{array}{ccc} \Phi(m) & \xrightarrow[\sim]{\delta_{[m]}} & \Phi(1)\times_{\Phi(0)},\ldots,\times_{\Phi(0)}\Phi(1) \\ x & \longrightarrow & (\delta'_{01}(x),\ldots,\delta'_{m-1,m}(x)) \end{array}$$

est une bijection, où pour $i, j \in \{0, \ldots, m\}$, $\delta_{ij} : [1] \longrightarrow [m]$ est l'application qui envoie $0, 1$ respectivement sur i, j, et $\delta'_{ij} = \Phi(\delta_{ij})$. L'idée de base de notre approche de n-catégorie non stricte est due au fait qu'un 1-nerf est une catégorie au sens usnel et inversement. En effet si on considére Φ_0 (respectivement Φ_1) comme l'ensemble d'objets (respectivement des flèches) de Φ, on définit la composition dans Φ par $gf := \delta'_{02}(\sigma)$ où (f, g) est un élément de $\Phi_1 \times_{\Phi_0} \Phi_1$ et σ est l'unique élément de $\Phi(2)$ tel que $\delta_{[2]}(\sigma) = (f, g)$. Alors Φ muni de cette composition est une catégorie au sens usuel, et inversement le nerf d'une catégorie est un ensemble simplicial qui satisfait bien la condition $(\star)$. Soit maintenant $\Phi : \Delta \longrightarrow Hom(\Delta, Ens)$ un foncteur contravariant tel que pour tout objet m de Δ, le foncteur Φ_m est un 1-nerf et la morphisme $\delta_{[m]}$ soit une équivalence de catégories, alors Φ se comporte comme une 2-catégorie non stricte (Théorème (1.4.3)). Ce qui montre qu'une approche recurrente dans cette direction permet de définir une n-catégorie non stricte comme un n-nerf, mais cela nécessite une bonne notion de n-équivalence que doivent vérifier les transformations naturelles du type $\delta_{[m]}$. Pour résoudre ce probléme on introduit la notion de troncation qui va représenter l'aspect local des n-équivalences.

On appelle *n-pré-nerf* un foncteur contravariant de la catégorie Δ^n vers celle des ensembles. Un morphisme entre deux n-pré-nerf est une transformation naturelle entre les foncteurs qui les représentent. Soient Φ un n-pré-nerf et i un entier tel que $0 \leq i \leq n$. On appelle i-flèche de Φ un élément de l'ensemble $C_i := \Phi(I_i, 0_{n-i})$ (où $I_i = (1, \ldots, 1)$ i-fois) et objet une 0-flèche. lorsque i est tel que $1 \leq i \leq n$, on obtient deux applications $s, b : C_i \longrightarrow C_{i-1}$ qui sont respectivement les images par Φ des flèches δ_0^k et δ_1^k de Δ^n telles que :

$$\delta_i^k = I_{[1]} \times .. \times \delta_i \times .. \times I_{[0]} \qquad \text{et} \qquad \begin{array}{ccc} [0] & \xrightarrow{\delta_i} & [1] \\ 0 & \longrightarrow & i \end{array}$$

Les applications s , b sont appellées respectivement source et but des i-flèches de Φ. On appelle (n-i)-pré-nerf des i-flèches de Φ le (n-i)-pré-nerf $\mathcal{F}_i(\Phi) := \Phi_{I_i}$.

Un n-pré-nerf Φ est *1-troncable* si et seulement si pour tout objet M de Δ^{n-1} l'ensemble simpliciale Φ_M qui à un objet m de Δ fait correspondre l'ensemble $\Phi(M, m) := \Phi_M(m)$ est un 1-nerf. On montre qu'alors Φ induit un (n-1)-pré-nerf $T\Phi$ faisant associer à chaque M l'ensemble des classes d'isomorphismes d'objets de la catégorie Φ_M (deux objets de Φ_M représentent la même classe s'ils sont respectivement source et but d'une flèche inversible de Φ_M). On dit qu'un n-pré-nerf Φ est k-troncable, où $2 \leq k \leq n$, si et seulement si Φ est (k-1)-troncable et $T^{k-1}\Phi$ est un 1-nerf, et on pose $T^k\Phi = T(T^{k-1}\Phi)$. Avec cette définition de troncation on voit apparaître deux notions de k-équivalences :

Equivalence intérieure : Soit Φ un n-pré-nerf k-troncable, avec $1 \leq k \leq n$ et considérons les applications :

$$\begin{array}{ccc} C_{n-k} & \xrightarrow{s,b} & C_{n-k-1} \\ \Big\downarrow t^k & & \\ T^k\Phi(I_{n-k}) & & \end{array}$$

Soient u et v deux (n-k)-flèches de Φ telles que $s(u) = s(v)$ et $b(u) = b(v)$. On dit que u et v sont k-équivalents si et seulement si on a : $t^k(u) = t^k(v)$ (c.à.d représentent la même classe dans $T^k\Phi(I_{n-k})$). On vérifie facilement que la relation "k-équivalent" est une relation d'équivalence sur l'ensemble des (n-k)-flèches de Φ, et on appelle ce genre de relation l'équivalence intérieure dans Φ.

Equivalence extérieure : Soit $F : \Phi \longrightarrow \Psi$ un morphisme entre deux n-pré-nerfs k-troncables. On dit que F est une k-équivalence extérieure si et seulement si pour tout entier h dans $\{0, \ldots, k\}$, toutes (n-h-1)-flèches u, v de Φ et toute (n-h)-flèche w de Ψ tels que : $s(w) = F(I_{n-h-1}, 0_{h+1})(u)$ et $b(w) = F(I_{n-h-1}, 0_{h+1})(v)$, il existe une ($n$-$h$)-flèche x de Φ vérifiant :

(a) $s(x) = u$, $b(x) = v$ et $F(I_{n-h}, 0_h)(x)$, w sont h-équivalents dans Ψ
(b) Si une (n-h)-flèche y de Φ satisfait **(a)**, alors x et y sont h-équivalents dans Φ.

On peut representer une k-équivalence extérieure par la famille des diagrammes du genre ci-dessous, avec $0 \leq h \leq k$.

$$\begin{array}{ccc} \forall u, v \in \Phi(I_{n-h-1}, O_{h+1}) & \xrightarrow{F(I_{n-h-1}, O_{h+1})} & \Psi(I_{n-h-1}, O_{h+1}) \\ {\scriptstyle s,b}\big\uparrow & & \big\uparrow{\scriptstyle s,b} \\ \exists x \in \Phi(I_{n-h}, O_h) & \xrightarrow[F(I_{n-h}, O_h)]{} & \forall w \in \Psi(I_{n-h}, O_h) \end{array}$$

On appelle *n-nerf* ou *n-catégorie large* un n-pré-nerf n-troncable Φ vérifiant pour tout entier s tel que $1 \leq s \leq n-1$ et tout objet (M, m) de $\Delta^{n-s-1} \times \Delta$ les deux axiomes suivants :
(C1) Le foncteur $\Phi_{M,0} : \Delta^s \longrightarrow Ens$ est constant.
(C2) La morphisme $\delta_M^{[m]} : \Phi_{M,m} \longrightarrow \Phi_{M,1} \times_{\Phi_{M,0}} \ldots \times_{\Phi_{M,0}} \Phi_{M,1}$ est une s-équivalence extérieure.

On en déduit que pour tout entier s tel que $1 \leq s \leq n-1$, Φ_M posséde la structure d'un (n-s)-nerf. Donc pour tout i tel que $1 \leq i \leq n$ le (n-i)-pré-nerf $\mathcal{F}_i(\Phi)$ des i-flèches est un (n-i)-nerf. L'opérateur troncation est un foncteur covariant de n-Cat vers (n-1)-Cat, où n-Cat est la catégorie dont les objets sont les n-nerfs et les flèches sont les morphismes.

Conjecture : Soit HO-n-Cat le localisé ([5] P. Gabriel-M. Zisman) de la catégorie n-Cat par rapport aux n-équivalences extérieures. On peut définir un $(n+1)$-nerf n-CAT telle que HO-n-Cat $= T^n(n\text{-CAT})$.

Soit C une 2-catégorie large usuelle, on lui associe l'ensemble bisimplicial $\mathcal{N}$ défini par le 2-pré-nerf suivant :

$$\begin{array}{ccc} \Delta^{^2} & \longrightarrow & Ens \\ (m,n) & \longrightarrow & \mathcal{N}_{m}^{n} \end{array}$$

où $\mathcal{N}_{m}^{n}$ est l'ensemble des familles de quadruplets $(x_i, f_{ij}^{\alpha}, \lambda_{ij}^{\alpha\beta}, \varepsilon_{ijk}^{\alpha})$ élément du produit $\mathcal{C}_0 \times \mathcal{C}_1 \times \mathcal{C}_2 \times \mathcal{C}_2$, avec $0 \leq i < j < k \leq m$, $0 \leq \alpha < \beta < \gamma \leq n$ et

$$x_i \xrightarrow{f_{ij}^{\alpha}} x_j \qquad f_{ij}^{\alpha} \xrightarrow{\lambda_{ij}^{\alpha\beta}} f_{ij}^{\beta} \qquad f_{jk}^{\alpha} f_{ij}^{\alpha} \xrightarrow[\sim]{\varepsilon_{ijk}^{\alpha}} f_{ik}^{\alpha}$$

tels qu'on a les relations de cohèrences suivantes :

$$\begin{array}{ccc} \lambda_{ik}^{\alpha\beta} \cdot \varepsilon_{ijk}^{\alpha} & = & \varepsilon_{ijk}^{\beta} \cdot (\lambda_{ik}^{\alpha\beta} \star \lambda_{ij}^{\alpha\beta}) \\ \lambda_{ij}^{\beta\gamma} \cdot \lambda_{ij}^{\alpha\beta} & = & \lambda_{ij}^{\alpha\gamma} \end{array}$$

$\mathcal{N}$ est un 2-nerf qu'on appelle *nerf double de* C. Inversement si Φ un 2-nerf Φ les ensembles $\Phi_{0,0}$, $\Phi_{1,0}$ et $\Phi_{1,1}$ se comportent respectivement comme les ensembles d'objets, de flèches et de 2-flèches d'une 2-catégorie large, où les compositions ainsi que le reste de la structure sont déterminées par l'équivalence extérieure $\delta_{[2]}$ et la fonctorialité de Φ (Théorème (1.4.2)).

Soit $\mathcal{C}$ une 2-catégorie large, et considérons la 2-catégorie large $\mathcal{C}^{'}$, qui correspond à son nerf double. Les 2-catégorie $\mathcal{C}$ et $\mathcal{C}$ ont les mêmes i-flèches, la composition verticale des 2-flèches est la même dans $\mathcal{C}$ et $\mathcal{C}^{'}$, mais la composition des flèches dans $\mathcal{C}$ n'est pas forcement la même que celle dans $\mathcal{C}^{'}$, ils sont isomorphes. Cela se traduit par le fait qu'il y a un 2-foncteur large ([4] O. Leroy) entre $\mathcal{C}$ et $\mathcal{C}^{'}$ qui admet un inverse stricte (ou exacte).

Soit maintenant Φ un 2-nerf, et considérons le nerf double Ψ de la 2-catégorie large $\mathcal{C}$ qui correspond à Φ. Alors ils existent un 2-nerf strict $\mathcal{S}$ et deux 2-équivalences extérieures α , β comme suite :

$$\Phi \xrightarrow[\sim]{\alpha} \mathcal{S} \xleftarrow[\sim]{\beta} \Psi$$

(Remarques (1.4.5))

On vérifie de même que le nerf multiple d'ordre n d'une n-catégorie stricte est un n-nerf stricte (c.à.d les transformations naturelle $\delta_{[m]}$ sont des isomorphismes)

(Proposition (1.3.8). En ayant ces resultats nous proposons la notion de n-nerf comme reponse à la recherche d'une notion de n-catégorie large entreprise par A. Grothendieck [1] et d'autres.

La notion de n-nerf fait penser de façon naturelle à la notion de n-groupoide où on peut inverser les i-flèches à $(n\text{-}i)$-équivalence près. On appelle *n-groupoide* la donnée d'un n-nerf Φ telle que ; pour tout i tel que $1 \leq i \leq n$ la catégorie $\mathcal{C}_i(\Phi) = T^{n-i}\Phi_N$ avec $N = I_{(i-1)}$ est un groupoide. Soit $F : \Phi \longrightarrow \Psi$ un morphisme entre n-nerfs, alors pour tout $i \in \{1, \ldots, n\}$, F induit de façon naturelle un morphisme :

$$\mathcal{C}_i(F) : \mathcal{C}_i(\Phi) \longrightarrow \mathcal{C}_i(\Psi)$$

On appelle *i-ème groupe d'homotopie* de Φ de base un objet f de $\mathcal{C}_i(\Phi)$, le groupe $Aut_{\mathcal{C}_i(\Phi)}(f)$ qu'on notera par $\pi_i(\Phi, f)$. Pour tout objet f de $\mathcal{C}_j(\Phi)$, où $1 \leq j \leq i \leq n$, on désignera par $\pi_i(\Phi, f)$ le groupe $\pi_i(\Phi, I_f^{i-j})$. On pose $\pi_0(\Phi) = T^n\Phi$ l'ensemble des classes de n-équivalence d'objets de Φ. Ces groupes d'homotopies ainsi que l'ensemble $\pi_0(\Phi)$ caractérisent le n-groupoide Φ à n-équivalence près. Lorsque $2 \leq i \leq n$ on peut considérer les éléments du groupe $\pi_i(\Phi, f)$ comme les 2-flèches d'un 2-nerf, et en appliquant la relation de Godement dans cette 2-catégorie large correspondante on montre que $\pi_i(\Phi, f)$ est abélien (Théorème (2.2.1)).

D'autre part à chaque espace topologique X on fait associer fonctorielement un n-groupoide $\Pi_n(X)$ qui généralise le groupoide fondamental de Poincaré pour $n = 1$ (Théorème (2.3.6)), il est construit de la façon suivante :
Pour tout entier positif m on désigne par le m-simplexe fondamental l'ensemble :
$R^m = \{(t_0, \ldots, t_n)$ tel que $0 \leq t_i \leq 1$ et $\sum t_i = 1\}$. Pour tout $i \in \{0, \ldots, m\}$, on définit les applications :

$$\begin{array}{c} R^{m-1} \xrightarrow{d_i^{"}} R^m \\ (t_0, .., t_{m-1}) \longrightarrow (t_0, .., 0, .., t_{m-1}) \end{array} \qquad \begin{array}{c} R^{m+1} \xrightarrow{\varepsilon_i^{"}} R^m \\ (t_0, .., t_{m+1}) \longrightarrow (t_0, .., t_i + t_{i+1}, .., t_{m+1}) \end{array}$$

On vient de construire un foncteur covariant $\mathcal{R} : \Delta \longrightarrow Ens$, qui envoie les applications δ_i et δ_{ij} vers les opérateurs côtés et sommets d'un m-simplexe suivants :

$$\begin{array}{c} \{1\} \xrightarrow{\delta_i^{"}} R^m \\ 1 \longrightarrow (0, .., 0, 1, 0, .., 0) \end{array} \qquad \begin{array}{c} R \xrightarrow{\delta_{ij}^{"}} R^m \\ (t, s) \longrightarrow (0, .., 0, t, 0, .., 0, s, 0, .., 0) \end{array}$$

On appelle *multi-complexe singulier* (où *∞-complexe simgulier*) d'un espace topologique X, la famille $\mathcal{X} = (X^n)_{n \geq 1}$ de n-pré-nerfs X^n définie de façon récurrente pour tout $n \geq 1$ et tout objet (M, m) de $\Delta^n \times \Delta$ par :

$$X^1(m) = Hom(R^m, X), \qquad X^1(0) = X$$

$$X^{n+1}(M, m) = \{f \in Hom(R^m, X^n(M)) \mid \forall x \in R^m, \forall i \in \{0, \ldots, m_n\} \quad \delta_i^{'}(f(x)) = f_i\}$$

où $\delta_i^{'} : X_{M,m}^{n+1} \longrightarrow X_{M,0}^{n+1} = X_M^n$ est l' images de l'application δ_i par le foncteur X_M^{n+1}

et f_i est un élément de X_{M}^{n} indépendant de x. Pour simplifier les notations on posera dans la suite $X_{M} = X_{M}^{n}$. Soient f, g deux éléments de X_{M} avec $M = (m_1, \ldots, m_n)$, on dit que f et g sont homotopes et note $\overline{f} = \overline{g}$ si et seulement si il existe $\gamma \in X_{M,1}$ tel que $\delta_0^{'}(\gamma) = f$ et $\delta_1^{'}(\gamma) = g$. L'homotopie dans X_{M} est une relation d'équivalence , et on désignera par $\overline{(X_{M})}$ l'ensemble de ses classes d'équivalences.

Finalement pour un espace topologique X son n-groupoide de Poincaré associé est le foncteur $\Pi_{n}(X) : \Delta^{n} \longrightarrow Ens$ défini pour tout objet M de Δ^{n} par :

$$\Pi_{n}(X)(0_n) = X, \qquad \Pi_{n}(X)(M) = \overline{(X_{M})}, \qquad \Pi_{n}(X)(d_i^k) = \overline{X^n(d_i^k)} \quad \text{et} \quad \Pi_{n}(X)(\varepsilon_i^k) = \overline{X^n(\varepsilon_i^k)}$$

On montre que les groupes d'homotopies supérieures $\pi_{i}(X, x)$ de X pour x dans X et $1 \leq i \leq n$ sont alors isomorphes aux groupes $\pi_{i}(\Pi_{n}(X), x)$ (Théorème (2.4.4)). Il y a aussi un foncteur dans l'autre sens du précèdent qui à un n-groupoide Φ fait correspondre un espace topologique (sa réalisation géométrique) $\mid \Phi \mid$ avec une application naturelle :

$$\mathcal{F} \ : \ Hom\big(\mid \Phi \mid, X\big) \longrightarrow Hom\big(\Phi, \Pi_{n}(X)\big)$$

et comme conséquence de $\mathcal{F}$, pour tout n-groupoide Φ il existe un morphisme de Φ vers $\Pi_{n}(\mid \Phi \mid)$. Nous conjecturons que le foncteur $\mid \ \mid$ est un inverse à équivalence près du foncteur $\Pi_{n}(\ )$ de la catégorie des espaces topologiques n-tronqués vers la catégorie des n-groupoides, et nous montrons quelques parties de cela.

J'aimerais exprimer ici ma profonde gratitude à mon directeur de thèse Carlos SIMPSON qui m'a initié à la recherche et auprès duquel j'ai beaucoup appris. Ses conseils avisés, sa patience et sa compréhention m'ont apporté une aide capitale pour l'élaboration de cette thèse.

CHAPITRE 1 :

NOTION DE n-NERF

On se propose de donner une approche simpliciale à la notion de n-catégorie non stricte, par un foncteur contravariant $\Phi : \Delta^n \longrightarrow Ens$ de la catégorie produit n-ème de la catégorie simpliciale Δ vers celle des ensembles qui satisfait certains axiomes. En suite on vérifie que cette approche est en accord avec les définitions usuelles bien connues pour $n = 1$ et 2. Cette définition permet de surmonter la difficulté d'expliciter les contraintes de cohérences des diverses compositions qui deviennent de plus en plus nombreuses lorsque n augmente. On vera au cas n=2 que notre approche bien qu'elle est simple d'aspect englobe toute la complexité d'une 2-catégorie non stricte. Comme le mot n-catégorie veut dire stricte dans la littérature on appellera notre construction de n-catégorie large un n-nerf.

(1.1).— Notations et définitions

Soit Δ la catégorie dont les objets sont les ensembles finies de la forme :
$[n] = \{0, \ldots, n\}$, où n est un entier naturel, et les flèches sont les applications $\sigma : [n] \longrightarrow [m]$ telle que $0 \leq \sigma(i) \leq \sigma(j) \leq m$ si $0 \leq i < j \leq n$. Parmis les flèches de Δ on distingue la famille d'applications élémentaires définies pour tout m entier naturel et tout $i \in \{0, \ldots, m\}$ par :

$$\begin{array}{ccc} [m-1] & \xrightarrow{d_i} & [m] \\ j < i & \longrightarrow & j \\ j \geq i & \longrightarrow & j+1 \end{array} \qquad \begin{array}{ccc} [m+1] & \xrightarrow{\varepsilon_i} & [m] \\ j \leq i & \longrightarrow & j \\ j > i & \longrightarrow & j-1 \end{array}$$

Soit $\sigma : [n] \longrightarrow [m]$ une flèche de Δ, alors σ s'ecrit de façon unique sous la forme : $\sigma = d_{i_1} ... d_{i_s} . \varepsilon_{j_1} ... \varepsilon_{j_t}$; où $i_1 ... i_s$ dans l'ordre décroissant sont les éléments de $[m]$ qui ne sont pas atteints par σ, et $j_1 ... j_t$ dans l'ordre croissant les éléments de $[n]$ tels que $\sigma(j) = \sigma(j+1)$, avec $n - t + s = m$ ([8] P. May). Un foncteur de Δ vers Ens est complètement déterminé par les images des d_i et ε_i.

On désigne par Δ^n la catégorie n-produit de Δ, ses objets sont les produits cartesiens $[m_1] \times .. \times [m_n]$, qu'on notera dans la suite par : $M = (m_1, \ldots, m_n)$. Une flèche $\mu : M \longrightarrow M'$ est de la forme $\mu = (\mu_1, \ldots, \mu_n)$, avec $\mu_i \in Mor_\Delta(m_i, m_i)$. Comme pour Δ les flèches de Δ^n sont engendrées par les flèches élémentaires d_i^k et

ε_i^k définies pour tout $M = (m_1, \ldots, m_n) \in Ob(\Delta^n)$, $1 \leq k \leq n$ et $0 \leq i \leq m_k$ par :

$$d_i^k = I_{[m_1]} \times .. \times d_i \times .. \times I_{[m_n]}$$
$$\varepsilon_i^k = I_{[m_1]} \times .. \times \varepsilon_i \times .. \times I_{[m_n]}$$

Définition (1.1.1) : Un *n-pré-nerf* est un foncteur contravariant Φ de la catégorie Δ^n vers celle des ensembles. Pour déterminer un tel foncteur il suffit de connaître les images des applications d_i^k et ε_i^k. Une transformation naturelle entre deux n-pré-nerf sera appellée un *morphisme*.

Soient Φ un $(n+p)$-pré-nerf et (M, N) un objet de $\Delta^n \times \Delta^p$. On désigne par Φ_M le p-pér-nerf défini par : $\Phi_M(N) = \Phi(M, N)$.

Soit Φ un $(n+1)$-pré-nerf. On désigne par b^M, s^M les images respectives par Φ des applications δ_0^M et δ_1^M définies par :

$$\begin{array}{ccc} [0] \times M & \xrightarrow{\delta_i^M} & [1] \times M \\ (0, .\alpha_1, .., \alpha_n) & \longrightarrow & (i, .\alpha_1, .., \alpha_n) \end{array} \qquad \text{où} \qquad i = 0, 1$$

Définition (1.1.2) : Soit Φ un $(n+1)$-pré-nerf. On appelle *2-produit fibré* de Φ_1 par rapport à Φ_0 le n-pré-nerf $\Phi_1 \times_{\Phi_0} \Phi_1$, qui à un objet M de Δ^n fait correspondre le produit fibré ensembliste des applications :

$$\Phi_{1,M} \xrightarrow{b^M} \Phi_{0,M} \xleftarrow{s^M} \Phi_{1,M}$$

Le foncteur $\Phi_1 \times_{\Phi_0} \Phi_1$ est bien défini car si $\sigma : M \longrightarrow N$ est une flèche de Δ^n, l'application $\Phi_1(\sigma) \times \Phi_1(\sigma)$ est à valeur dans l'ensemble $\Phi_{1,M} \times_{\Phi_{0,M}} \Phi_{1,M}$. En effet, soit (f, g) un élément de $\Phi_{1,N} \times_{\Phi_{0,N}} \Phi_{1,N}$ et posons $(f', g') = (\Phi_1(\sigma)(f), \Phi_1(\sigma)(g))$. Comme la fonctorialité de Φ nous permet de transformer un diagramme commutative en un autre, on a :

$$\begin{array}{ccc} [0] \times M & \xrightarrow{\delta_i^M} & [1] \times M \\ {\scriptstyle I_{[0]} \times \sigma}\downarrow & & \downarrow{\scriptstyle I_{[1]} \times \sigma} \\ [0] \times N & \xrightarrow[\delta_i^N]{} & [1] \times N \end{array} \quad \Rightarrow \quad \begin{array}{ccc} \Phi_{0,M} & \xrightarrow{\Phi(\delta_i^M)} & \Phi_{1,M} \\ {\scriptstyle \Phi_0(\sigma)}\uparrow & & \uparrow{\scriptstyle \Phi_1(\sigma)} \\ \Phi_{0,N} & \xrightarrow[\Phi(\delta_i^N)]{} & \Phi_{1,N} \end{array}$$

La commutativité du deuxième diagramme nous permet de dire que (f', g') est bien un élément de $\Phi_{1,M} \times_{\Phi_{0,M}} \Phi_{1,M}$:

$$\begin{aligned} b^{M}(f') &= \Phi(\delta_1^M)[\Phi_1(\sigma)(f)] \\ &= \Phi_1(\sigma)[\Phi(\delta_1^N)(f)] \\ &= \Phi_0(\sigma)(b^N)(f) \\ &= \Phi_0(\sigma)(s^N)(g) \\ &= \Phi_1(\sigma)[\Phi(\delta_0^N)(g)] \\ &= \Phi(\delta_0^M)[\Phi_1(\sigma)(g)] \\ &= s^{M}(g'). \end{aligned}$$

On peux définir de façon similaire le m-produit fibré de Φ_1 par rapport à Φ_0, c'est le n-pré-nerf $\Phi_1 \times_{\Phi_0} \ldots \times_{\Phi_0} \Phi_1$ qui associe à un objet M de Δ^n le produit fibré des applications :

$$\Phi_{1,M} \times_{\Phi_{0,M}} \ldots \times_{\Phi_{,M}} \Phi_{1,M} \xrightarrow{b^M P_{m-1}} \Phi_{0,M} \xleftarrow{s^M} \Phi_{1,M}$$

où le premier terme est un produit de (m-1)-facteurs et, P_{m-1} est la projection sur le (m-1)-ème facteur. Ce m-produit fibré est aussi égale au produit fibré des applications suivantes :

$$\Phi_{1,M} \xrightarrow{b^M} \Phi_{0,M} \xleftarrow{s^M P_1} \Phi_{1,M} \times_{\Phi_{0,M}} \ldots \times_{\Phi_{,M}} \Phi_{1,M}$$

On en déduit alors que le 2-produit fibré est associative.

Définition (1.1.3) : Un pré-nerf $\Phi : \Delta \longrightarrow Ens$ est un *1-nerf* si et seulement si pour tout entier $m \geq 2$, l'application :

$$\begin{array}{ccc} \Phi_m & \xrightarrow[\sim]{\delta_{[m]}} & \Phi_1 \times_{\Phi_0} \Phi_1, \ldots, \times_{\Phi_0} \Phi_1 \\ x & \longrightarrow & (\delta'_{01}(x), \ldots, \delta'_{m-1,m}(x)) \end{array}$$

est une bijection, avec pour $i, j \in \{0, \ldots, m\}$, $\delta_{ij} : [1] \longrightarrow [m]$ est l'application qui envoie $0, 1$ respectivement sur i, j, et $\delta'_{ij} = \Phi(\delta_{ij})$.

Proposition (1.1.4) : *Un 1-nerf est une catégorie au sens usuel et inversement.*

Preuve : (1) Soit Φ un 1-nerf. Les flèches de Δ suivantes :

$$[0] \xrightarrow{\delta_0,\delta_1} [1] \xrightarrow{\delta_{ij}} [m] \qquad \text{et} \qquad [1] \xrightarrow{\delta_{00}} [0]$$

se transforment par Φ en donnant les applications :

$$\Phi_0 \xleftarrow{\delta_0^{'},\delta_1^{'}} \Phi_1 \xleftarrow{\delta_{ij}^{'}} \Phi_m \qquad \text{et} \qquad \Phi_1 \xleftarrow{I} \Phi_0$$

Soit L_2 l'inverse $\delta_{[2]}$. Si on considére Φ_0 (respectivement Φ_1) comme ensemble d'objets (respectivement de flèches) de Φ, on définit le composé d'un élément (f,g) de $\Phi_1 \times_{\Phi_0} \Phi_1$ par $gf := \delta_{02}^{'}(\sigma)$ où $\sigma = L_2(f,g)$.

(a) Montrons que cette composition est associative. Soit (f,g,h) un élément de $\Phi_1 \times_{\Phi_0} \Phi_1 \times_{\Phi_0} \Phi_1$ et posons :

$$\sigma_1 = L_2(f,g) \quad \tau_1 = L_2(g,h) \quad T = L_3(f,g,h)$$

$$\sigma_2 = L_2(gf,h) \quad \tau_2 = L_2(f,hg)$$

Pour tout i,j,k tels que $0 \leq i < j < k \leq 3$, on désigne par $T_{ijk} = \delta_{ijk}^{'}(T)$ la face de côtés i,j,k du 3-simplexe T. Soient les flèches de Δ suivantes :

$$[1] \xrightarrow{\delta_{01},\delta_{12},\delta_{02}} [2] \xrightarrow{\delta_{ijk}} [3] \xleftarrow{\delta_{ij},\delta_{jk},\delta_{ik}} [1]$$

On a alors les relations :

$$\begin{cases} \delta_{ijk}\delta_{01} = \delta_{ij} \\ \delta_{ijk}\delta_{12} = \delta_{jk} \\ \delta_{ijk}\delta_{02} = \delta_{ik} \end{cases} \qquad \text{en appliquant } \Phi \text{ on obtient} \qquad \begin{cases} \delta_{01}^{'}\delta_{ijk}^{'} = \delta_{ij}^{'} \\ \delta_{12}^{'}\delta_{ijk}^{'} = \delta_{jk}^{'} \\ \delta_{02}^{'}\delta_{ijk}^{'} = \delta_{ik}^{'} \end{cases}$$

On en déduit les relations :

$$\delta_{[2]}(T_{012}) = (f,g) = \delta_{[2]}(\sigma_1) \quad \delta_{[2]}(T_{123}) = (g,h) = \delta_{[2]}(\tau_1)$$

ce qui montre que $\sigma_1 = T_{012}$ et $\tau_1 = T_{123}$. Et par suite on obtient :

$$\delta_{[2]}(\sigma_2) = (gf,h) = \delta_{[2]}(T_{023}) \quad \delta_{[2]}(\tau_2) = (f,hg) = \delta_{[2]}(T_{013})$$

$$\sigma_2 = T_{023} \quad \tau_2 = T_{013}$$

$$(hg)f = \delta_{02}^{'}(T_{013}) = \delta_{03}^{'}(T) = \delta_{02}^{'}(T_{023}) = h(gf)$$

(b) Pour tout élément x de $\Phi(0)$, montrons que $I_x = I(x)$ la flèche identité de x represente l'identité pour la composition des flèches de Φ. Soient f une flèche de Φ , $\sigma = L_2(I_{s(f)}, f)$ et posons $\tau = \delta_{001}^{'}(f)$. Donc on a $\delta_{[2]}(\sigma) = \delta_{[2]}(\tau)$, et par conséquent : $fI_{s(f)} = \delta_{02}^{'}(\tau) = \delta_{02}^{'}\delta_{001}^{'}(f) = \delta_{01}^{'}(f) = f$. On vérifie de même que : $I_{b(f)}f = f$.

D'autre part pour (f,g) dans $\Phi_1 \times_{\Phi_0} \Phi_1$ et $\sigma = L_2(f,g)$ on a :

$$s(gf) = \delta_0^{'}\delta_{02}^{'}(\sigma) = \delta_0^{'}(\sigma) = \delta_0^{'}\delta_{01}^{'}(\sigma) = \delta_0^{'}(I_{s(f)}) = s(f)$$

$$b(gf) = \delta_1^{'}\delta_{02}^{'}(\sigma) = \delta_2^{'}(\sigma) = \delta_1^{'}\delta_{12}^{'}(\sigma) = \delta_1^{'}(I_{b(g)}) = b(g)$$

(2) Inversement soit $\mathcal{C}$ une catégorie. On définit le *nerf* de $\mathcal{C}$ comme le foncteur Φ qui à un objet m de Δ fait correspondre l'ensemble $\Phi(m)$ défini par :

$$\Phi(m) = \{(x_i, f_{ij})_{0\leq i<j\leq m} \mid x_i = s(f_{ij}), x_j = b(f_{ij}) \text{ et } f_{jk}f_{ij} = f_{ik}\}$$

Et pour tout $k \in \{0, .., m\}$, les images de d_k et ε_k par Φ sont données par :

$$\begin{array}{ccc} \Phi(m) & \xrightarrow{\Phi(d_k)} & \Phi(m-1) \\ (x_i, f_{ij}) & \longrightarrow & (x_i, f_{ij})_{i,j\neq k} \end{array} \qquad \begin{array}{ccc} \Phi(m) & \xrightarrow{\Phi(\varepsilon_k)} & \Phi(m+1) \\ (x_i, f_{ij}) & \longrightarrow & (x_i, f_{ij}, I_{x_k}) \end{array}$$

La décomposition de $\delta_{k,k+1}$ en fonction des d_i s'écrit : $\delta_{k,k+1} = d_m ... d_{k+1} d_{k-1} ... d_0$. Donc son image par Φ est l'application $\delta'_{k,k+1}$ qui envoie l'élément (x_i, f_{ij}) vers la flèche $f_{k,k+1}$. Ce qui montre que l'application :

$$\begin{array}{ccc} \Phi(m) & \xrightarrow{\delta_{[m]}} & \Phi(1)\times_{\Phi(0)} ... \times_{\Phi(0)} \Phi(1) \\ (x_i, f_{ij}) & \longrightarrow & (f_{i,i+1}) \end{array}$$

est bijective. Par conséquent Φ est un 1-nerf.

Remarque et définitions : Un morphisme entre deux 1-nerfs est une transformation naturelle qui correspond à un vrai foncteur entre les catégories usuelle correspondantes et inversement.

Soient Φ un n-pré-nerf et i un entier tel que $0 \leq i \leq n$. On appelle i-flèche de Φ un élément de l'ensemble $C_i := \Phi(I_i, 0_{n-i})$ (où $I_i = (1, \ldots, 1)$ i-fois) et objet une 0-flèche. lorsque i est tel que $1 \leq i \leq n$, on obtient deux applications $s, b : C_i \longrightarrow C_{i-1}$ qui sont respectivement les images par Φ des flèches δ_0^k et δ_1^k de Δ^n telles que :

$$\delta_i^k = I_{[1]} \times .. \times \delta_i \times .. \times I_{[0]} \qquad \text{et} \qquad \begin{array}{ccc} [0] & \xrightarrow{\delta_i} & [1] \\ 0 & \longrightarrow & i \end{array}$$

Les applications s , b sont appellées respectivement source et but des i-flèches de Φ.

On appelle (n-i)-pré-nerf des i-flèches de Φ le (n-i)-pré-nerf $\mathcal{F}_i(\Phi) := \Phi_{I_i}$.

(1.2).— Troncation d'un n-pré-nerf :

Définition (1.2.1) : Soit $\Phi : \Delta \longrightarrow Ens$ une catégorie. On appelle *1-troncation* de Φ l'ensemble des classes d'isomorphismes d'objets de la catégorie associée. On le note par $T\Phi = [\Phi(0)]^{\sim}$. Deux éléments x et y de $\Phi(0)$ représentent la même classe

si et seulement si, ils existent deux flèches f et g de Φ avec $s(f) = b(g) = x$ et $b(f) = s(g) = y$ tels que : $gf = I_x$ et $fg = I_y$.

Définition (1.2.2) : Un n-pré-nerf $\Phi : \Delta^n \longrightarrow Ens$ est dite 1-*troncable* si et seulement si pour tout N objet de Δ^{n-1}, le pré-nerf Φ_N est une catégorie.

Proposition (1.2.3) : *Un n-pré-nerf 1-troncable Φ induit un foncteur contravariant $T\Phi : \Delta^{n-1} \longrightarrow Ens$ qui à chaque objet N de Δ^{n-1} fait correspondre l'ensemble $T(\Phi_N)$. Le (n-1)-pré-nerf $T\Phi$ est appellé la 1-troncation de Φ.*

Preuve : Soit $\sigma : M \longrightarrow N$ une flèche de Δ^{n-1} et posons $\sigma_0 = \sigma \times I_{[0]}$. Alors il existe une unique application $T\Phi(\sigma)$ rendant commutatif le diagramme suivant :

$$\begin{array}{ccc} \Phi(N,0) & \xrightarrow{\Phi(\sigma_0)} & \Phi(M,0) \\ {\scriptstyle t}\downarrow & & \downarrow{\scriptstyle t} \\ T\Phi(N) & \xrightarrow[T\Phi(\sigma)]{} & T\Phi(M) \end{array} \qquad \text{donc} \qquad T\Phi(\sigma)(t(x)) = t[\Phi(\sigma_0)(x)]$$

Soient $\sigma : M \longrightarrow N$ et $\tau : N \longrightarrow S$ deux flèches de Δ^{n-1}. Donc pour tout x dans $\Phi(S,0)$, on a :

$$\begin{aligned} (\tau\sigma)_0 = \tau_0\sigma_0 \quad & et \quad \Phi(\tau_0\sigma_0) = \Phi(\sigma_0)\Phi(\tau_0) \\ T\Phi(\tau\sigma)\Big(t(x)\Big) &= t\Big[\Phi\Big((\tau\sigma)_0\Big)(x)\Big] \\ &= t\Big[\Phi(\sigma_0)\Big(\Phi(\tau_0(x)\Big)\Big] \\ &= T\Phi(\sigma)\Big[t\Big(\Phi(\tau_0)(x)\Big)\Big] \\ &= T\Phi\Big[T\Phi(\sigma)\Big(t(x)\Big)\Big] \\ &= \Big[T\Phi(\sigma)T\Phi(\sigma)\Big]\Big(t(x)\Big) \end{aligned}$$

D'où $T\Phi(\tau\sigma) = T\Phi(\sigma)T\Phi(\tau)$. Par conséquent $T\Phi$ est un (n-1)-pré-nerf.

Définition (1.2.4) : Soient $\Phi : \Delta^n \longrightarrow Ens$ un n-pré-nerf et k un entier tel que $1 \leq k \leq n$. On dit que Φ est k-*troncable* si et seulement si Φ est (k-1)-troncable et le (n-k+1)-pré-nerf $T^{k-1}\Phi : \Delta^{n-k+1} \longrightarrow Ens$ est 1-troncable. On pose alors : $T^k\Phi := T(T^{k-1}\Phi)$.

Soit $\Phi : \Delta^n \longrightarrow Ens$ un n-pré-nerf k-troncable. Alors pour tout h tel que $1 \leq h \leq k < n$ et tout M objet de Δ^{n-h}, on a une application naturelle :

$$t^h(\Phi)(M) \ : \ \Phi(M,0_h) \longrightarrow T^h\Phi(M)$$

qui est le composé h fois de l'application canonique : $t(\Phi)(M) : \Phi(M,0) \longrightarrow T\Phi(M)$ qui à chaque élément de $\Phi(M,0)$ fait correspondre sa classe dans $T\Phi(M)$. Pour tout h tel que $1 \leq h < k \leq n$ on a : $T^h(T\Phi) \ = \ T(T^h\Phi)$ qui se déduit de façon récurrente de $T^{h+1}(\Phi) \ := \ T(T^h\Phi)$. Dans la suite on notera $t^h(\Phi)$ par t^h s'il n'y a pas d'ambiguité.

Pour tout n entier naturel non nul, on désigne par n-PN la catégorie où les objets sont les n-pré-nerfs n-troncables et les flèches sont les morphismes. Si $F : \Phi \longrightarrow \Psi$ est une flèche de n-PN, alors F induit une flèche $TF : T\Phi \longrightarrow T\Psi$ de (n-1)-PN définie de façon à ce que le diagramme suivant soit commutative :

$$\begin{array}{ccc} \Phi(M,0) & \xrightarrow{F(M,0)} & \Psi(M,0) \\ {\scriptstyle t(\Phi)(M)}\downarrow & & \downarrow{\scriptstyle t(\Psi)(M)} \\ T\Phi(M) & \xrightarrow[TF(M)]{} & T\Psi(M) \end{array}$$

En effet TF est définie par $TF(M)(t(x)) = t(F(M,0)(x))$.

Proposition (1.2.5) : *Pour tout $h \in \{1, \ldots, n-1\}$, T^h est un foncteur covariant de n-PN.*

Preuve : Soient $\Phi \xrightarrow{F} \Psi \xrightarrow{G} \Theta$ deux flèches de n-PN, et M dans $Ob(\Delta^{n-1})$. On obtient deux diagrammes commutatifs :

$$\begin{array}{ccccc} \Phi(M,0) & \xrightarrow{F(M,0)} & \Psi(M,0) & \xrightarrow{G(M,0)} & \Theta(M,0) \\ {\scriptstyle t(\Phi)}\downarrow & & {\scriptstyle t(\Psi)}\downarrow & & {\scriptstyle t(\Theta)}\downarrow \\ T\Phi(M) & \xrightarrow[TF(M)]{} & T\Psi(M) & \xrightarrow[TG(M)]{} & T\Theta(M) \end{array}$$

ce qui entraine que le grand diagramme est aussi commutatif, donc

$T(GF) = (TG)(TF)$. En plus la commutativité du diagramme :

$$\begin{array}{ccc} \Phi(M,0) & \xrightarrow{I_\Phi(M,0)} & \Phi(M,0) \\ {\scriptstyle t}\downarrow & & {\scriptstyle t}\downarrow \\ T\Phi(M) & \xrightarrow[T(I_\Phi)(M)]{} & T\Phi(M) \end{array}$$

montre que $T(I_\Phi) = I_{T\Phi}$, et par conséquent l'opperation de troncation est bien un foncteur covariant. En effectuant cette oppération h fois on montre la proposition.

Proposition (1.2.6) : *Soit Φ un n-pré-nerf k-troncable, avec $2 \leq k \leq n$. Alors pour tout h tel que $1 \leq h < k$, on a :*
(a) Φ est h-troncable.
(b) $T^h\Phi$ est un (n-h)-pré-nerf (k-h)-troncable.
(c) $T(T^h\Phi) = T^h(T\Phi)$.

Preuve : (a) et (b) Φ est k-troncable, donc par définition elle est (k-1)-troncable et $T^{k-1}\Phi$ est 1-troncable. De même on a, Φ est (k-2)-troncable et $T^{k-2}\Phi$ est 1-troncable. On en déduit que $T^{k-2}\Phi$ est 2-troncable. Ainsi de suite, on arrive à Φ 1-troncable et $T\Phi$ est (k-1)-troncable.
(c) Soit h tel que $1 \leq h < k$ alors :

$$\begin{array}{rcl} T(T^h\Phi) & = & T[T(T^{h-1}\Phi)] \\ & = & T^2(T^{h-1}) \\ \cdots\cdots\cdots\cdots & & \cdots\cdots\cdots\cdots \\ & = & T^h(T\Phi). \end{array}$$

Lemme (1.2.7) : *(a) Si Φ est un n-pré-nerf 1-troncable, avec $1 < n$, alors pour tout entier m , Φ_m est un (n-1)-pré-nerf 1-troncable et $T(\Phi_m) = (T\Phi)_m$.*
(b) Si Φ est un n-pré-nerf k-troncable, avec $1 < k < n$, alors pour tout entier m , Φ_m est un (n-1)-pré-nerf k-troncable et $T^k(\Phi_m) = (T^k\Phi)_m$.

Preuve : (a) Φ est 1-troncable, si et seulement si $\Phi_{m,m_2,\ldots,m_{n-1}}$ est 1-troncable, d'où Φ_m est 1-troncable. Soient m un entier et $M \in \Delta^{n-2}$, alors

$$\begin{array}{rcl} T(\Phi_m)(M) & = & [\Phi_m(M,0)]^\sim \\ & = & [\Phi(m,M,0)]^\sim \\ & = & T\Phi(m,M) \\ & = & (T\Phi)_m(M) \end{array}$$

.

Donc $T(\Phi_m) = (T\Phi)_m$.

(b) D'après la proposition (1.2.2) Φ est un (n-1)-pré-nerf (k-1)-troncable, et en lui appliqant (a) on montre que $T(\Phi_m)$ est 1-troncable et $(T^2\Phi)_m = T^2(\Phi_m)$. On en déduit que Φ_m est 2-troncable. Ainsi de suite on montre (b).

Proposition (1.2.8) : *Soit Φ un n-pré-nerf k-troncable avec $2 \leq k \leq n$. Soient s un entier et M un objet de Δ^s.*

(a) Si $1 \leq s \leq n-k$ alors $\Phi_{_M}$ est un (n-s)-pré-nerf k-troncable.

(b) Si $n-k \leq s < n$ alors $\Phi_{_M}$ est un (n-s)-pré-nerf (n-s)-troncable.

(c) Soit h entier tel que, $1 \leq h \leq k$. Si $\Phi_{_M}$ est h-troncable alors $T^{^h}(\Phi_{_M}) = (T^{^h}\Phi)_{_M}$.

Preuve : Pour n et k fixés, vérifiant $2 \leq k \leq n$, faisons une récurrence sur s :

(a) Le cas $s = 1$ est justifié par le Lemme précédent. Supposons que (a) est vraie pour $s \in \{1, \ldots, n-k-1\}$. Soit $M^{'} = (m, m_{_2}, \ldots, m_{_{s+1}})$ un (s+1)-uplet d'entiers, et posons $M = (m, m_2, \ldots, m_s)$, alors $\Phi_{_M}$ est k-troncable. En lui appliquant le Lemme (1.2.7), on aura $\Phi_{_{M'}} = (\Phi_{_M})_{m_{s+1}}$ est un (n-s-1)-pré-nerf k-troncable.

(b) Le cas $s = n-k$ est justifié par (a). Un raisonement analogue au précédent permet de justifié l'autre partie de (b).

(c) Soient $M = (m, m_{_2}, \ldots, m_{_s}) \in \Delta^{n-s}$ et h un entier tel que, $1 \leq h \leq k$. Si $\Phi_{_M}$ est h-troncable alors :

$$\begin{array}{rcl} T^{^h}(\Phi_{_M}) & = & T^{^{h-1}}[T(\Phi)_{_M}] \\ & = & T^{^{h-1}}(T\Phi)_{_M} \\ \cdots\cdots\cdots\cdots & & \cdots\cdots\cdots\cdots \\ & = & T(T^{^{h-1}}\Phi)_{_M} \\ & = & (T^{^h}\Phi)_{_M}. \end{array}$$

Remarque (1.2.9) : Considèrons le diagramme d'applications suivant :

$$\begin{array}{ccc} A & \xrightarrow{s_1,b_1} & B \\ {\scriptstyle s_2,b_2}\downarrow & & \downarrow{\scriptstyle s_3,b_3} \\ C & \xrightarrow[s_4,b_4]{} & D \end{array} \quad \text{tels que} \quad \begin{cases} s_3s_1 = s_4s_2 \\ s_3b_1 = s_4b_2 \\ b_3s_1 = b_4s_2 \\ b_3b_1 = b_4b_2 \end{cases}$$

Pour tout entiers $m, m^{'} > 0$, on a une bijection :

$$\prod_{B\times_D\cdots\times_D B}^{m\,fois}(A\times_C\ldots\times_C A)\ \xrightarrow[\sim]{\Gamma}\ \prod_{C\times_D\cdots\times_D C}^{m'\,fois}(A\times_B\ldots\times_B A)$$

$$\Big((x_1^i,\ldots,x_{m'}^i)\Big)_{1\le i\le m}\ \longrightarrow\ \Big((x_j^1,\ldots,x_j^m)\Big)_{1\le j\le m'}$$

Proposition (1.2.10) : *Soit Φ un n-pré-nerf 1-troncable, avec $n>1$. Alors pour tout entier $m\geq 1$, le m-produit fibré $\Psi=\Phi_1\times_{\Phi_0}\ldots\times_{\Phi_0}\Phi_1$ est un (n-1)-pré-nerf 1-troncable, et $T\Psi=(T\Phi)_1\times_{(T\Phi)_0}\ldots\times_{(T\Phi)_0}(T\Phi)_1$.*

Preuve : Ψ est 1-troncable si et seulement si pour tout (M,m') objet de $\Delta^{n-2}\times\Delta$, l'application :

$$\Psi(M,m')\ \xrightarrow{\delta^M_{[m']}}\ \Psi(M,1)\times_{\Psi(M,0)}\ldots\times_{\Psi(M,0)}\Psi(M,1)$$

est une bijective. Or, on sait que :

$$\Psi(M,m')\ =\ \Psi(1,M,m')\times_{\Psi(0,M,m')}\ldots\times_{\Psi(0,M,m')}\Psi(1,M,m')\qquad(m\,fois)$$

$$\delta^{(0,M)}_{[m']}\ :\ \Phi(1,M,m')\longrightarrow\Phi(1,M,1)\times_{\Phi(1,M,0)}\ldots\times_{\Phi(1,M,0)}\Phi(1,M,1)\qquad(m'\,fois)$$

$$\delta^{(0,M)}_{[m']}\ :\ \Phi(0,M,m')\longrightarrow\Phi(0,1,M)\times_{\Phi(0,M,0)}\ldots\times_{\Phi(0,M,0)}\Phi(0,M,1)\qquad(m'\,fois)$$

Si on pose : $A=\Phi(1,M,1)$, $B=\Phi(0,M,1)$, $C=\Phi(1,M,0)$ et $D=\Phi(0,M,0)$ on aura, d'après la remarque (1.2.9), un diagramme commutative :

$$\begin{array}{ccc}
\Psi(M,m') & \xrightarrow{\delta^M_{[m']}} & \Psi(M,1)\times_{\Psi(M,0)}\ldots\times_{\Psi(M,0)}\Psi(M,1)\\
{\scriptstyle\delta^{(1,M)}_{[m']}\times\ldots\times\delta^{(1,M)}_{[m']}}\big\downarrow\sim & & \|\\
\prod_{B\times_D\cdots\times_D B}^{m\,fois}(A\times_C\ldots\times_C A) & \xrightarrow[\sim]{\Gamma} & \prod_{C\times_D\cdots\times_D C}^{m'\,fois}(A\times_B\ldots\times_B A)
\end{array}$$

En effet, si $\sigma=(\sigma_1,\ldots,\sigma_m)$ est un élément de $\Psi(M,m')$ alors :

$$\begin{aligned}
\delta^{(1,M)}_{[m']} \times \ldots \times \delta^{(1,M)}_{[m']}(\sigma) &= \Big((\delta_{01}(\sigma_i), \ldots, \delta_{m'-1,m'}(\sigma_i))\Big)_{1\leq i\leq m} \\
\delta^{M}_{[m']}(\sigma) &= \Big((\delta_{j,j+1}(\sigma_1), \ldots, \delta_{j,j+1}(\sigma_{m'}))\Big)_{0\leq j\leq m'-1} \\
&= \Gamma\Big[\Big((\delta_{01}(\sigma_i), \ldots, \delta_{m'-1,m'}(\sigma_i))\Big)_{1\leq i\leq m}\Big] \\
&= \Gamma\Big[\delta^{(1,M)}_{[m']} \times \ldots \times \delta^{(1,M)}_{[m']}(\sigma)\Big]
\end{aligned}$$

On en déduit que $\delta^{M}_{[m']}$ est une bijection, d'où Ψ est 1-troncable. Soit Mun objet de Δ^{n-2} alors :

$$\begin{aligned}
(T\Psi)(M) &= [\Psi(M,0)]^{\sim} \\
&= [\Phi_1(M,0)\times_{\Phi_0(M,0)} \ldots \times_{\Phi_0(M,0)} \Phi_1(M,0)]^{\sim} \\
&= [\Phi_1(M,0)]^{\sim}\times_{[\Phi_0(M,0)]^{\sim}} \ldots \times_{[\Phi_0(M,0)]^{\sim}} [\Phi_1(M,0)]^{\sim} \\
&= (T\Phi_1)(M)\times_{(T\Phi_0)(M)} \ldots \times_{(T\Phi_0)(M)} (T\Phi_1)(M) \\
&= (T\Phi)_1(M)\times_{(T\Phi)_0(M)} \ldots \times_{(T\Phi)_0(M)} (T\Phi)_1(M) \\
&= \Big((T\Phi)_1\times_{(T\Phi)_0} \ldots \times_{(T\Phi)_0} (T\Phi)_1\Big)(M)
\end{aligned}$$

D'où $T\Psi = (T\Phi)_1\times_{(T\Phi)_0} \ldots \times_{(T\Phi)_0} (T\Phi)_1$.

(1.3).— n-Equivalence et n-nerf.

Equivalence intérieure : Soit Φ un n-pré-nerf k-troncable, avec $1 \leq k \leq n$ et considérons les applications :

$$\begin{array}{ccc}
C_{n-k} & \xrightarrow{s,b} & C_{n-k-1} \\
\Big\downarrow{\scriptstyle t^k} & & \\
T^k\Phi(I_{n-k}) & &
\end{array}$$

Soient u et v deux $(n\text{-}k)$-flèches de Φ telles que $s(u) = s(v)$ et $b(u) = b(v)$. On dit que u et v sont k-équivalents si et seulement si on a : $t^k(u) = t^k(v)$ (c.à.d représentent la même classe dans $T^k\Phi(I_{n-k})$). On vérifie facilement que la relation "k-équivalent" est une relation d'équivalence sur l'ensemble des $(n\text{-}k)$-flèches de Φ, et on appelle ce

genre de relation l'équivalence intérieure dans Φ.

Cas limite : $(k = 0, n > 0)$ Deux n-flèches de Φ qui ont même source et même but sont 0-équivalents si et seulement si ils sont égales.

Equivalence extérieure : Soit $F : \Phi \longrightarrow \Psi$ un morphisme entre deux n-pré-nerfs k-troncables. On dit que F est une k-équivalence extérieure si et seulement si pour tout entier h dans $\{0, \ldots, k\}$, toutes (n-h-1)-flèches u, v de Φ et toute (n-h)-flèche w de Ψ tels que : $s(w) = F(I_{n-h-1}, 0_{h+1})(u)$ et $b(w) = F(I_{n-h-1}, 0_{h+1})(v)$, il existe une ($n$-$h$)-flèche x de Φ vérifiant :

(a) $s(x) = u$, $b(x) = v$ et $F(I_{n-h}, 0_h)(x)$, w sont h-équivalents dans Ψ
(b) Si une (n-h)-flèche y de Φ satisfait **(a)**, alors x et y sont h-équivalents dans Φ.

On peut representer une k-équivalence extérieure par la famille des diagrammes du genre ci-dessous, avec $0 \leq h \leq k$.

$$\begin{array}{ccc} \forall u, v \in \Phi(I_{n-h-1}, O_{h+1}) & \xrightarrow{F(I_{n-h-1}, O_{h+1})} & \Psi(I_{n-h-1}, O_{h+1}) \\ {\scriptstyle s,b}\uparrow & & \uparrow{\scriptstyle s,b} \\ \exists x \in \Phi(I_{n-h}, O_h) & \xrightarrow[F(I_{n-h}, O_h)]{} & \forall w \in \Psi(I_{n-h}, O_h) \end{array}$$

On dira que le diagramme ci-dessus posséde la proprieté de h-équivalence.

Cas limites :

(h=k=0) F est une 0-équivalence si pour tout $u, v \in \Phi(I_{n-1}, 0)$ et tout $w \in \Psi(I_n)$ tels que : $F(I_{n-1})(u) = s(w)$ et $F(I_{n-1})(v) = b(w)$ il existe $x \in \Phi(I_n)$ vérifiant :
(a) $s(x) = u$, $b(x) = v$ et $F(I_n)(x) = w$.
(b) x est l'unique élément de $\Phi(I_n)$ vérifiant (a).

(h=k=n) Pour tout $w \in \Psi(0_n)$, il existe $x \in \Phi(0_n)$ vérifiant :
(a) $F(I_n)(x)$, w sont n-équivalents.
(b) Si $y \in \Phi(0_n)$ vérifie (a), alors y et x sont n-équivalents dans Φ.

Soit $F : \Phi \longrightarrow \Psi$ un morphisme entre deux n-pré-nerfs n-troncables. Pour tout i dans $\{1, \ldots, n\}$ on désigne par $\mathcal{C}_i(\Phi)$ la catégorie $T^{n-i}\Phi_N$, où $N = I_{i-1}$ (C'est la catégorie où les objets sont les (i-1)-flèches de Φ et les morphismes sont les classes de (n-i)-équivalences des i-flèches de Φ). Soient $M = I_{n-i-1}$, donc F induit une transformation naturelle :

$$T^i\Phi_M : \mathcal{C}_{n-i}(\Phi) \longrightarrow \mathcal{C}_{n-i}(\Psi)$$

qui induit par la suite une application :

$$\begin{array}{ccc} Hom_{\mathcal{C}_{n-i}(\Phi)}(u,v) & \xrightarrow{G^{u,v}_{n-i}} & Hom_{\mathcal{C}_{n-i}(\Psi)}(u',v') \\ t^i(x) & \longrightarrow & T^iF_{M,1}(t^h(x)) = t^i(F_{M,1}(0_i)(x)) \end{array}$$

pour tout u, v objets de $\mathcal{C}_{n-i}(\Phi)$, où $u' = F_M(0_{i+1})(u)$ et $v' = F_M(0_{i+1})(v)$.

Proposition (1.3.1) : *F est une n-équivalence extérieure si et seulement si pour tout i dans $\{1,\ldots,n\}$, et tout u, v dans $\Phi(I_{i-1}, 0_{n-i+1})$ les applications $G^{u,v}_{n-i}$ et $T^nF : T^n\Phi \longrightarrow T^n\Psi$ sont bijectives.*

Preuve : Il est claire qu'on a les équivalences suivantes :

(a) est vrai si et seulement si $G^{u,v}_{n-i}$ est surjective.
(b) est vrai si et seulement si $G^{u,v}_{n-i}$ est injective.

Lorsque $h = n$ (a) et (b) est équivalent à T^nF est bijective. Ce qui montre la proposition (1.3.1).

Définition (1.3.2) : On appelle *n-nerf* ou *n-catégorie large* un n-pré-nerf n-troncable Φ vérifiant pour tout entier s tel que $1 \leq s \leq n-1$ et tout objet (M, m) de $\Delta^{n-s-1} \times \Delta$ les deux axiomes suivants :

(C1) Le foncteur $\Phi_{M,0} : \Delta^s \longrightarrow Ens$ est constant.

(C2) Le morphisme $\delta^{[m]}_M : \Phi_{M,m} \longrightarrow \Phi_{M,1} \times_{\Phi_{M,0}} \ldots \times_{\Phi_{M,0}} \Phi_{M,1}$ est une s-équivalence extérieure.

Remarque (1.3.3) : D'après la définition (1.3.2), pour tout entier s dans $\{0,\ldots,n-1\}$, Φ_M possède la structure d'un (n-s)-nerf. Donc pour tout i tel que $1 \leq i \leq n$ le (n-i)-pré-nerf $\mathcal{F}_i(\Phi)$ des i-flèches est un (n-i)-nerf.

(i-1)-flèches

Compositions des i-flèches par rapport aux (i-1)-flèches :

Soit Φ un n-nerf avec $n \geq 1$ et, pour tout $i \in \{1,\ldots,n\}$ posons $N = I_{i-1}$. On a une (n-i)-équivalence extérieure :

$$\Phi_{N,2} \xrightarrow[\sim]{\delta^{[2]}_N} \Phi_{N,1} \times_{\Phi_{N,0}} \Phi_{N,1}$$

Or, l'ensemble C_i des i-flèches et C_{i-1} des (i-1)-flèches sont tels que :
$C_i = \Phi_{N,1}(0_{n-i})$ et $C_{i-1} = \Phi_N(0_{n-i+1})$. Alors $\delta^{[2]}_N$ induit une application :

$$\Phi_{N,2}(0_{n-i}) \quad \xrightarrow{\delta_N^{[2]}(0_{n-i})} \quad C_i \times_{C_{i-1}} C_i$$

vérifiant :

(i) $\forall (f,g) \in C_i \times_{C_{i-1}} C_i$ il existe $\lambda \in \Phi_{N,2}(0_{n-i})$ tel que :

$$t^{n-i}\big(\delta_N^{[2]}(\lambda)\big) = \big(t^{n-i}(f), t^{n-i}(g)\big)$$

(ii) L'unicité de λ est à (n-i)-équivalence près c.à.d si $\lambda^{'}$ satisfait (i) alors

$$t^{n-i}(\lambda) = t^{n-i}(\lambda^{'}).$$

D'après l'Axiome de choix il existe une application : $\mathcal{L}_i : C_i \times_{C_{i-1}} C_i \longrightarrow \Phi_{N,2}(0_{n-i})$

qui rend commutatif le diagramme suivant :

$$\begin{array}{ccc} C_i \times_{C_{i-1}} C_i & \xrightarrow{\mathcal{L}_i} & \Phi_{N,2}(0_{n-i}) \\ {\scriptstyle t^{n-i}}\downarrow & & \downarrow{\scriptstyle \delta_N^{[2]}} \\ T^{n-i}\Phi_{N,1} \times_{T^{n-i}\Phi_{N,0}} T^{n-i}\Phi_{N,1} & \xleftarrow[t^{n-i}]{} & C_i \times_{C_{i-1}} C_i \end{array}$$

L'application $\mathcal{L}_i$ est au fait le choix d'un système de représentants des classes de (n-i)-équivalences des élément de $\Phi_{N,2}(0_{n-i})$. Finalement on obtient une composition des i-flèches par rapport aux (i-1)-flèches :

$$\begin{array}{ccc} C_i \times_{C_{i-1}} C_i & \xrightarrow{\delta_{02}^{'} \circ \mathcal{L}_i} & C_i \\ (f,g) & \longrightarrow & g \bullet_i f := \delta_{02}^{'}\big(\mathcal{L}_i(f,g)\big) \end{array}$$

Composition dans la catégorie $\mathcal{C}_i(\Phi)$:

La composition des flèches de la catégorie $\mathcal{C}_i(\Phi)$ est donnée par la bijection :

$$T^{n-i}\delta_N^{[2]} : T^{n-i}\Phi_{N,2} \longrightarrow T^{n-i}\Phi_{N,1} \times_{T^{n-i}\Phi_{N,0}} T^{n-i}\Phi_{N,1}$$

de la manière suivante, en posant $F = T^{n-i}\delta_N^{[2]}$, $C_i^{'} = T^{n-i}\Phi_{N,1}$:

$$\begin{array}{ccc} C_i' \times_{\mathcal{C}_{i-1}} C_i' & \xrightarrow{T^{n-i}\delta_{02}' \circ F^{-1}} & C_i' \\ (\alpha, \beta) & \longrightarrow & \alpha \bar{\bullet}_i \beta := T^{n-i}\delta_{02}'\big(F^{-1}(\alpha, \beta)\big) \end{array}$$

Lemme (1.3.4) : *La composition dans la catégorie $\mathcal{C}_i(\Phi)$ est compatible avec celle des i-flèches par rapport aux (i-1)-flèches dans Φ c.à.d que pour tout (f, g) dans $C_i \times_{C_{i-1}} C_i$ on a : $\bar{g}\bar{\bullet}_i \bar{f} = \overline{g \bullet_i f}$.*

Preuve : Considérons le diagramme :

$$\begin{array}{ccccc} C_i \times_{C_{i-1}} C_i & \xrightarrow{\mathcal{L}_i} & \Phi_{N,2}(0_{n-i}) & \xrightarrow{\delta_N^{[2]}} & C_i \times_{C_{i-1}} C_i \\ {\scriptstyle t^{n-i}}\downarrow & (1) & {\scriptstyle t^{n-i}}\downarrow & (2) & {\scriptstyle t^{n-i}}\downarrow \\ C_i' \times_{\mathcal{C}_{i-1}} C_i' & \xleftarrow[F^{-1}]{} & T^{n-i}\Phi_{N,2} & \xrightarrow[F]{} & C_i' \times_{\mathcal{C}_{i-1}} C_i' \end{array}$$

Il est claire que le diagramme (2) et le diagramme extérieur formé par (1) et (2) sont commutatif. Or, l'application F est bijective ce qui entraine que le diagramme (1) est aussi commutatif. On en déduit que pour tout (f, g) dans $C_i \times_{C_{i-1}} C_i$, la relation :

$$t^{n-i}\big[\mathcal{L}_i(f, g)\big] = F^{-1}(\bar{f}, \bar{g})$$

ce qui entraine en appliquant $T^{n-i}\delta_{02}^{'}$ la relation :

$$T^{n-i}\delta_{02}^{'}\big[t^{n-i}(\mathcal{L}_i(f, g))\big] = \bar{g}\bar{\bullet}_i \bar{f}$$

D'autre par, d'après (7-1) on a la relation vérifié par $\mathcal{L}_i$:

$$T^{n-i}\delta_{02}^{'}\big[t^{n-i}(\mathcal{L}_i(f, g))\big] = t^{n-i}\big[\delta_{02}^{'}(\mathcal{L}_i(f, g))\big] = \overline{g \bullet_i f}$$

Proposition (1.3.5) : *(a) Soit $F : \Phi \longrightarrow \Psi$ une k-équivalence entre deux n-nerfs k-troncables avec $1 \leq k \leq n$, alors $TF : T\Phi \longrightarrow T\Psi$ est une (k-1)-équivalence éxterieure.*
(b) L'opérateur troncation est un foncteur covariant de n-Cat vers (n-1)-Cat, où n-Cat est la catégorie dont les objets sont les n-nerfs et les flèches sont morphismes.

Preuve :
(a) Soient $h \in \{0, \ldots, k-1\}$ et $N = I_{k-h-1}$, on veut montrer que le diagramme suivant posséde la proprieté de h-équivalence :

$$\begin{array}{ccc} T\Phi(N,0_{h+1}) & \xrightarrow{TF(N,0_{h+1})} & T\Psi(N,0_{h+1}) \\ {\scriptstyle s,b}\downarrow & (1) & \downarrow{\scriptstyle s,b} \\ T\Phi(N,1,0_h) & \xrightarrow[TF(N,1,0_h)]{} & T\Psi(N,1,0_h) \end{array}$$

Pour $h>1$ on a : $T\Phi(N,0_h)=\Phi(N,1,0_{h+1})$ et $T\Psi(N,0_h)=\Psi(N,0_{h+1})$
donc le diagramme (1) correspond à celui formé par Φ, Ψ, F et qui vérifie déjà la proprieté de h-équivalence.
Pour $h=0$ le diagramme (1) s'ecrit :

$$\begin{array}{ccc} \Phi(N,0_2) & \xrightarrow{TF(N,0)} & \Psi(N,0_2) \\ {\scriptstyle s,b}\downarrow & & \downarrow{\scriptstyle s,b} \\ T\Phi(N,1) & \xrightarrow[TF(N,1)]{} & T\Psi(N,1) \end{array}$$

Soient $w\in\Psi(N,1,0)$ et $u,v\in\Phi(N,0_2)$ tels que $s(w)=F(N,0_2)(u)$ et $b(w)=F(N,0_2)(v)$. La commutativité du diagramme suivant :

$$\begin{array}{ccc} \Phi(N,0_2) & \xrightarrow{TF(N)} & \Psi(N,0_2) \\ {\scriptstyle s,b}\downarrow & (2) & \downarrow{\scriptstyle s,b} \\ \Phi(N,1,0) & \xrightarrow[F(N,1)]{} & \Psi(N,0) \end{array}$$

montre qu'il existe un élément x de $\Phi(N,1,0)$ unique à 1-équivalence intérieure près tel que $s(x)=u$, $b(x)=v$ et $F(N,1)(x)$ 1-équivalent à w. Comme $t(w)=t\big[F(N,1)(x)\big]=TF(N,1)(t(x))$ et que la classe $t(x)$ est unique, on déduit que le diagramme (2) posséde la proprieté de 0-équivalence. Par conséquent TF est une (k-1)-équivalence extérieure.
(b) On sait déjà d'après la proposition (1.2.5) que T est un foncteur de n-PN vers (n-1)-PN et en plus d'après (a) ce foncteur respecte l'équivalence extérieure, donc il suffit de montrer que si Φ est un n-nerf alors $T\Phi$ est un (n-1)-nerf.

Soit (M,m,N) un objet de $\Delta^{n-s-1}\times\Delta\times\Delta^s$ avec $1\le s\le n-1$

(i) Le foncteur $(T\Phi)_{M,0}=T(\Phi_{M,0})$ est constant, en effet :

$(T\Phi)_{M,0}(N)=t\big[\Phi_{M,0}(N,0)\big]=\Phi(M,0_{s+1})$.

(ii) D'après **(a)** $(T\delta)^{[m]}_M:(T\Phi)_{M,m}\longrightarrow(T\Phi)_{M,1}\times_{(T\Phi)_{M,0}}\ldots\times_{(T\Phi)_{M,0}}(T\Phi)_{M,1}$ est une

(s-1)-équivalence extérieure, car $\delta_M^{[m]} : \Phi_{M,m} \longrightarrow \Phi_{M,1} \times_{\Phi_{M,0}} \ldots . \times_{\Phi_{M,0}} \Phi_{M,1}$ est une s-équivalence extérieure et $T(\Phi_{M,m}) = (T\Phi)_{M,m}$. On en déduit que $T\Phi$ est un (n-1)-nerf et par conséquent T est bien un foncteur de n-Cat vers (n-1)-Cat.

Lemme (1.3.6) : *Le composé de deux n-équivalences extérieures est une n-équivalence extérieure.*

Preuve : Soient $\Phi \xrightarrow{F} \Psi \xrightarrow{G} \Theta$ deux n-équivalences extérieures, on sait que le composé $G.F$ est le morphisme définie pour tout objet M de Δ^n par $G.F(M) = G(M).F(M)$. Soit h un élément de l'ensemble $\{0, \ldots, n\}$ et posons $N = I_{n-h-1}$. Les diagrammes (3) et (4) suivants :

$$\begin{array}{ccccc}
\Phi(N, 0_{h+1}) & \xrightarrow{F(N,0_{h+1})} & \Psi(N, 0_{h+1}) & \xrightarrow{G(N,0_{h+1})} & \Theta(N, 0_{h+1}) \\
{\scriptstyle s,b}\downarrow & (3) & {\scriptstyle s,b}\downarrow & (4) & {\scriptstyle s,b}\downarrow \\
\Phi(N, 0_h) & \xrightarrow[F(N,1,0_h)]{} & \Psi(N, 0_h) & \xrightarrow[G(N,1,0_h)]{} & \Theta(N, 0_h)
\end{array}$$

possédent la proprieté de h-équivalence, donc pour tout $w \in \Theta(N, 1, 0_h)$ et tout $u, v \in \Phi(N, 0_{h+1})$ tels que $s(w) = G.F(N, 0_{h+1})(u)$ et $b(w) = G.F(N, 0_{h+1})(v)$ on a :

(i) $\exists x' \in \Psi(N, 1, 0_h)$ tel que $s(x') = F(N, 0_{h+1})(u)$, $b(x') = F(N, 0_{h+1})(v)$

et $t^h(w) = t^h\big[G(N, 1, 0_h)(x')\big] = (T^hG)(N, 1, 0_h)\big[t^h(x')\big]$ (diagramme (4))

(ii) $\exists x \in \Phi(N, 1, 0_h)$ tel que $s(x) = u$, $b(x) = v$

et $t^h(x') = t^h\big[F(N, 1, 0_h)(x)\big] = (T^hF)(N, 1, 0_h)\big[t^h(x)\big]$ (diagramme (3))

En appliquant $T^hG(N, 1)$ à la deuxième formule on obtient :

$$\begin{aligned}
T^hG(N, 1)\big[t^h(x)\big] &= T^hG\big[T^hF(N, 1)(t^h(x))\big] \\
t^h(w) &= T^h(F.G)\big[t^h(x)\big] \\
t^h(w) &= T^h\big[(G.F)(N, 1)(x)\big]
\end{aligned}$$

l'unicité de x est à h-équivalence près d'où $G.F$ est une h-équivalence.

Remarque (1.3.7) : Pour tout $h \in \{1, \ldots, n-1\}$, en composant h fois le foncteur T on obtient T^h qui sera un foncteur covariant de n-Cat vers (n-h)-Cat.

Conjecture : Soit HO-n-Cat le localisé ([5] P. Gabriel-M. Zisman) de la catégorie n-Cat par rapport aux n-équivalences extérieures. On peut définir un (n+1)-nerf n-CAT telle que HO-n-Cat = $T^n(n\text{-CAT})$.

Rappel (1.3.8) : Une *n-catégorie stricte* $\mathcal{C}$ est la donnée :
(1) D'un diagramme d'ensembles et d'applications :

$$C_i \underset{b_i}{\overset{s_i}{\rightleftarrows}} C_{i+1} \quad \text{avec} \quad \begin{cases} s_{i-1}s_i &= s_{i-1}b_i \\ b_{i-1}s_i &= b_{i-1}b_i \\ s_ie_i &= b_ie_i = I_{C_i} \end{cases}$$

où $i \in \{0, \ldots, n-1\}$.

(2) D'une famille d'applications : $\star_{ij} : C_j \times_{C_i} C_j \longrightarrow C_j$, pour tout i, j tels que $0 \leq i < j \leq n$.

Vérifiant les deux axiomes suivants :

i) Pour tout i, j tels que $0 \leq i < j \leq n$, $\mathcal{C}_{ij} = (C_i, C_j, \star_{ij})$ est une catégorie.
ii) Pour tout i, j, k tels que $0 \leq i < j < k \leq n$ les compositions $\star_{ij}$ et $\star_{ik}$ vérifient la relation de Godement.

Soit $\mathcal{C}$ une n-catégorie stricte. on appelle le nerf multiple de $\mathcal{C}$ d'ordre n le n-pré-nerf :

$$\begin{array}{ccc} \Delta^n & \xrightarrow{\Phi} & Ens \\ M & \longrightarrow & \mathcal{N}_{M}(\mathcal{C}) \end{array}$$

où $\mathcal{N}_{M}(\mathcal{C})$ est défini par :

$$\mathcal{N}_{M}(\mathcal{C}) = \prod_{C_0}^{m_1} \ldots \prod_{C_{n-1}}^{m_n} C_n \quad \text{où} \quad M = (m_1, \ldots, m_n).$$

Les images des applications d_i^k et ε_i^k, pour k dans $\{1, \ldots, n\}$ et i dans $\{0, \ldots, m_k\}$, de la même façon que dans la Remarque (1.2.9) : pour définir d_i^k on utilise la composition $\star_{nk}$ pour les n-flèches de la k-ème composante, quant aux ε_i^k on insére les identités.

Proposition (1.3.9) : *Le nerf multiple d'une n-catégorie stricte est un n-nerf strict (c.à.d les $\delta_{[m]}$ sont des isomorphismes).*

Preuve : Si on désigne par $C_{n-1}^{\sim}$ les classes d'isomorphismes des (n-1)-flèches, alors :
$T\mathcal{C} = (C_1, \ldots, C_{n-2}, C_{n-1}^{\sim}, \star_{ij})$ est une (n-1)-catégorie stricte.
Montrons que Φ est 1-troncable : Soit $(m_1, \ldots, m_n) \in Ob(\Delta^n)$ et posons :

$$M = (m_1, \ldots, m_{n-1}), \quad X = \prod_{C_0}^{m_1} \ldots \prod_{C_{n-2}}^{m_{n-1}} C_{n-1}$$

alors l'application :

$$\prod_{C_0}^{m_1}\cdots\prod_{C_{n-1}}^{m_n} C_n \quad \xrightarrow{\delta_{[M]}^{m_n}} \quad \prod_{X}^{m_n}\Big[\prod_{C_0}^{m_1}\cdots\prod_{C_{n-2}}^{m_{n-1}} C_n\Big]$$

$$(x_{i_1\ldots i_n})_{i_1\ldots i_n} \quad \longrightarrow \quad \big(x_{i_1\ldots i_{n-1},1},\ldots,x_{i_1\ldots i_{n-1},m_n}\big)$$

est une bijection, donc Φ est 1-troncable.
Or $T\Phi(m_1,\ldots,m_n)=\prod_{C_0}^{m_1}\cdots\prod_{C_{n-2}}^{m_{n-1}} C_{n-1}^{\sim}$, donc $T(\Phi)$ n'est autre que le (n-1)-pré-nerf associée à $T\mathcal{C}$. On en déduit alors que Φ est 2-troncable et par la suite n-troncable.

Soient maintenant $s\in\{1,\ldots,n\}$ et (M,m) un objet de $\Delta^s\times\Delta$, le morphisme $\delta_M^{[m]}$ est un isomorphisme. En effet si N est un objet de Δ^{n-s-2} alors l'application :

$$\Phi_{M,m}(N) \quad \xrightarrow{\delta_{[M]}^{m}(N)} \quad \prod_{\Phi_{M,0}}^{m_n}\Phi_{M,1}(N)$$

$$(x_{i_1\ldots i_n})_{i_1\ldots i_n} \quad \longrightarrow \quad \big((x_{i_1..i_{s-1},1,i_{s+1}..i_n}),\ldots,(x_{i_1..i_{s-1},m_n,i_{s+1}..i_n})\big)$$

est une une bijection, d'où $\delta_{[M]}^{m}$ est une (n-s-1)-équivalence extérieure et par conséquent Φ est un n-nerf strict.

(1.4).— 2-catégorie usuelle et 2-nerf.

Rappel ([2], [3], [4]) : Une 2-catégorie large $\mathcal{C}$ est la donnée :
(a) D'un diagramme d'ensembles et d'applications :

$$C_0 \underset{b_1}{\overset{s_1}{\rightleftarrows}} C_1 \underset{b_2}{\overset{s_2}{\rightleftarrows}} C_2 \qquad \text{avec} \qquad \begin{cases} s_1s_2 = b_1s_2 \\ b_1s_2 = b_1b_2 \\ s_1e_2 = b_1e_2 = I_{C_0} \end{cases}$$

(b) De trois applications :
-Composition des flèches :

$$\begin{array}{ccc} C_1\times_{C_0}C_1 & \longrightarrow & C_1 \\ (f,g) & \longrightarrow & gf \end{array} \qquad\qquad x\xrightarrow{f}y\xrightarrow{g}z \quad\Rightarrow\quad x\xrightarrow{gf}z$$

-Composition verticale des 2-flèches :

$$\begin{array}{ccc} C_2\times_{C_1}C_2 & \longrightarrow & C_2 \\ (\varphi,\varphi') & \longrightarrow & \varphi'\cdot\varphi \end{array} \qquad\qquad \begin{array}{c} f\downarrow \xrightarrow{\varphi} \downarrow \xrightarrow{\varphi'} \downarrow h \end{array} \quad \Rightarrow \quad \begin{array}{c} f\downarrow \xrightarrow{\varphi'\cdot\varphi} \downarrow h \end{array}$$

-Composition horizontale des 2-flèches :

$$\begin{array}{ccc} C_2\times_{C_0}C_2 & \longrightarrow & C_2 \\ (\alpha,\beta) & \longrightarrow & \beta*\alpha \end{array} \qquad\qquad \begin{array}{ccc} \xrightarrow{f} & \xrightarrow{g} & \\ \downarrow\alpha & \downarrow\beta & \Rightarrow \\ \xrightarrow[f']{} & \xrightarrow[g']{} & \end{array} \quad \begin{array}{c} \xrightarrow{gf} \\ \downarrow \beta*\alpha \\ \xrightarrow[g'f']{} \end{array}$$

(c) De trois isomorphismes de cohérences :

-D'associativité :

$$\forall(f,g,h)\in C_1\times_{C_0}C_1\times_{C_0}C_1 \qquad \text{on a} \qquad (hg)f \xrightarrow[\sim]{\Phi(f,g,h)} h(gf)$$

-D'identités : $\forall(x,f,y)\in C_0\times_{C_0}C_1\times_{C_0}C_0$ on a

$$fI_x \xrightarrow[\sim]{U(f)} f \qquad \text{et} \qquad I_yf \xrightarrow[\sim]{V(f)} f$$

Vérifiant la commutativité des diagrammes fermés de 2-flèches suivants, faisant intervenir les données précédentes.

(1) (Axiome du Pentagone) pour $x\xrightarrow{f}y\xrightarrow{g}z\xrightarrow{h}t\xrightarrow{k}s$ on a

$$\begin{array}{ccccc} [(kh)g]f & \xrightarrow{\Phi(k,h,g)*I_f} & [k(hg)]f & \xrightarrow{\Phi(k,hg,f)} & k[(hg)f] \\ \| & & & & \downarrow I_k*\Phi(h,g,f) \\ [(kh)g]f & \xrightarrow[\Phi(kh,g,f)]{} & (kh)(gf) & \xrightarrow[\Phi(k,h,gf)]{} & k[h(gf)] \end{array}$$

(2) (Associativite de la composition verticale des 2-flèches)

$$\text{Pour} \qquad \downarrow \xrightarrow{\alpha} \downarrow \xrightarrow{\beta} \downarrow \xrightarrow{\gamma} \downarrow \qquad \text{on a} \quad (\gamma\cdot\beta)\cdot\alpha = \gamma\cdot(\beta\cdot\alpha)$$

(3) Pour $\begin{array}{ccc} \longrightarrow & \longrightarrow & \\ \downarrow{\scriptstyle \alpha} & \downarrow{\scriptstyle \alpha'} & \\ \longrightarrow & \longrightarrow & \\ \downarrow{\scriptstyle \beta} & \downarrow{\scriptstyle \beta'} & \\ \longrightarrow & \longrightarrow & \end{array}$ on a $(\beta' \cdot \alpha') * (\beta \cdot \alpha) = (\beta' * \beta) \cdot (\alpha' * \alpha)$

(4) Pour $\begin{array}{ccc} \xrightarrow{f} & \xrightarrow{I_y} & \\ \downarrow{\scriptstyle \alpha} & \downarrow{\scriptstyle I_y^2} & \\ \underset{g}{\longrightarrow} & \underset{I_y}{\longrightarrow} & \end{array}$ on a $V(g) \cdot (I_y^2 * \alpha) = \alpha \cdot V(f)$

(5) Pour $\begin{array}{ccc} \xrightarrow{I_x} & \xrightarrow{f} & \\ \downarrow{\scriptstyle I_y^2} & \downarrow{\scriptstyle \alpha} & \\ \underset{I_x}{\longrightarrow} & \underset{g}{\longrightarrow} & \end{array}$ on a $U(g) \cdot (\alpha * I_y^2) = \alpha \cdot U(f)$

(6)
$$\begin{cases} V(I_x) = U(I_x) \\ I_g \star I_f = I_{gf} \quad pour \quad \xrightarrow{f}\xrightarrow{g} \end{cases}$$

Et la commutativité des diagrammes suivants :

(7)
$$\begin{array}{ccc} (hg)f & \xrightarrow{\Phi(h,g,f)} & h(gf) \\ {\scriptstyle (\gamma*\beta)*\alpha}\downarrow & & \downarrow{\scriptstyle \gamma*(\beta*\alpha)} \\ (h'g')f' & \xrightarrow[\Phi(h',g',f')]{} & h'(g'f') \end{array} \quad \text{avec} \quad \begin{array}{ccc} \xrightarrow{f} & \xrightarrow{g} & \xrightarrow{h} \\ \downarrow{\scriptstyle \alpha} & \downarrow{\scriptstyle \beta} & \downarrow{\scriptstyle \gamma} \\ \underset{f'}{\longrightarrow} & \underset{g'}{\longrightarrow} & \underset{h'}{\longrightarrow} \end{array}$$

(8)
$$\begin{array}{ccc} (gI_y)f & \xrightarrow{\Phi(g,I_y,f)} & g(I_yf) \\ \| & & \downarrow{\scriptstyle I_g*V(f)} \\ (gI_y)f & \xrightarrow[U(g)*I_f]{} & gf \end{array} \quad \text{avec} \quad x \xrightarrow{f} y \xrightarrow{I_y} y \xrightarrow{g} z$$

$$\textbf{(9)}\qquad \begin{array}{ccc} (gf)I_x & \xrightarrow{\Phi(g,f,I_x)} & g(fI_x) \\ \| & & \downarrow{\scriptstyle I_g * U(f)} \\ (gf)I_x & \xrightarrow[U(gf)]{} & gf \end{array} \quad \text{avec} \quad x \xrightarrow{I_x} x \xrightarrow{f} y \xrightarrow{g} z$$

$$\textbf{(10)}\qquad \begin{array}{ccc} (I_z g)f & \xrightarrow{\Phi(I_z,g,f)} & I_y(gf) \\ \| & & \downarrow{\scriptstyle V(gf)} \\ (I_z g)f & \xrightarrow[V(g)*I_f]{} & gf \end{array} \quad \text{avec} \quad x \xrightarrow{f} y \xrightarrow{g} z \xrightarrow{I_z} z$$

Soit $\mathcal{C}$ une 2-catégorie large. On appelle *nerf double* de $\mathcal{C}$ le 2-pré-nerf Φ défini pour tout objet (m,n) de Δ^2 par :
$\Phi(m,n)$ est l'ensemble des familles de quadruplets $(x_i, f_{ij}^{\alpha}, \lambda_{ij}^{\alpha\beta}, \varepsilon_{ijk}^{\alpha})$ éléments du produit

$\mathcal{C}_0 \times \mathcal{C}_1 \times \mathcal{C}_2 \times \mathcal{C}_2$, avec $0 \leq i < j < k \leq m$, $0 \leq \alpha < \beta < \gamma \leq n$ et

$$x_i \xrightarrow{f_{ij}^{\alpha}} x_j \qquad f_{ij}^{\alpha} \xrightarrow{\lambda_{ij}^{\alpha\beta}} f_{ij}^{\beta} \qquad f_{jk}^{\alpha} f_{ij}^{\alpha} \xrightarrow[\sim]{\varepsilon_{ijk}^{\alpha}} f_{ik}^{\alpha}$$

tels qu'on a les relations de cohèrences suivantes :

$$\begin{array}{lcll} \lambda_{ik}^{\alpha\beta} \cdot \varepsilon_{ijk}^{\alpha} & = & \varepsilon_{ijk}^{\beta} \cdot (\lambda_{ik}^{\alpha\beta} \star \lambda_{ij}^{\alpha\beta}) & (i) \\ \lambda_{ij}^{\beta\gamma} \cdot \lambda_{ij}^{\alpha\beta} & = & \lambda_{ij}^{\alpha\gamma} & (ii) \end{array}$$

L'image par Φ de la flèche élémentaire d_a^1 (respectivement d_a^2) est l'application qui à la famille $\{(x_i, f_{ij}^{\alpha}, \lambda_{ij}^{\alpha\beta}, \varepsilon_{ijk}^{\alpha})\}$ fait correspondre la famille $\{(x_i, f_{ij}^{\alpha}, \lambda_{ij}^{\alpha\beta}, \varepsilon_{ijk}^{\alpha})\}$ tels que $i,j,k \in \{0,\ldots,m\} \setminus \{a\}$ (respectivement $\alpha,\beta \in \{0,\ldots,n\} \setminus \{a\}$). Et pour les ε_a^k l'action de $\Phi(\varepsilon_a^k)$ sur un quadruplet est l'insertion de l'identité entre la position d'ordre a et a+1.

Théorème (1.4.1) : *Le nerf double d'une 2-catégorie large est un 2-nerf.*

Preuve : (a) Soit Φ le nerf double d'une 2-catégorie large $\mathcal{C}$, alors il est claire qu'on a : $\Phi(0,n) = \Phi(0,0) = \mathcal{C}_0$.
(b) Montrons d'abord que Φ est 2-troncable. Pour cela on va vérifier que Φ et $T\Phi$ sont 1-troncables. Soit (m,n) un couple d'entiers positifs non nuls, et posant :

$$\begin{aligned} \delta^{[n]}_{m} &= \Phi(\delta^{01}_{m}) \times \ldots \times \Phi(\delta^{n-1,n}_{m}) \\ \delta^{n}_{[m]} &= \Phi(\delta^{n}_{01}) \times \ldots \times \Phi(\delta^{n}_{m-1,m}) \end{aligned} \qquad \text{avec}$$

$$\begin{array}{ccc|ccc} [m]\times[1] & \xrightarrow{\delta^{\alpha,\beta}_{m}} & [m]\times[n] & [1]\times[n] & \xrightarrow{\delta^{n}_{ij}} & [m]\times[n] \\ (x,o) & \longrightarrow & (x,\alpha) & (0,x) & \longrightarrow & (i,x) \\ (x,1) & \longrightarrow & (x,\beta) & (1,x) & \longrightarrow & (j,x) \end{array}$$

L'application suivante :

$$\begin{array}{ccc} \Phi_{m,n} & \xrightarrow{\delta^{[n]}_{m}} & \Phi_{m,1}\times_{\Phi_{m,0}}\ldots\times_{\Phi_{m,0}}\Phi_{m,1} \\ (x_i, f^{\alpha}_{ij}, \lambda^{\alpha\beta}_{ij}, \varepsilon^{\alpha}_{ijk}) & \longrightarrow & \Big((x_i, f^{\alpha}_{ij}, \lambda^{01}_{ij}, \varepsilon^{\alpha}_{ijk})_{\alpha=0,1}, \ldots, (x_i, f^{\alpha}_{ij}, \lambda^{n-1,n}_{ij}, \varepsilon^{\alpha}_{ijk})_{\alpha=n-1,n}\Big) \end{array}$$

est bien une bijection car si on pose $\lambda^{\alpha\beta}_{ij} = \lambda^{\beta-1,\beta}_{ij}\ldots\lambda^{\alpha,\alpha+1}_{ij}$ on construit de façon unique l'antécédent par $\delta^{[n]}_{m}$ d'un élément de l'ensemble $\Phi_{m,1}\times_{\Phi_{m,0}}\ldots\times_{\Phi_{m,0}}\Phi_{m,1}$.
Ce qui entraine que Φ est 1-troncable.

Posons $\Psi = T\Phi$, alors Ψ est 1-troncable si et seulement si c'est une catégorie. D'abord on sait que :

$$\begin{aligned} \Psi_1\times_{\Psi_0},\ldots,\times_{\Psi_0}\Psi_1 &= (T\Phi)_1\times_{(T\Phi)_0}\ldots\times_{(T\Phi)_0}(T\Phi)_1 \\ &= [\Phi_{0,1}]^{\sim}\times_{[\Phi_{0,0}]^{\sim}}\ldots\times_{[\Phi_{0,0}]^{\sim}}[\Phi_{1,0}]^{\sim} \\ &= [\Phi_{1,0}\times_{\Phi_{0,0}}\ldots\times_{\Phi_{0,0}}\Phi_{1,0}]^{\sim} \end{aligned}$$

alors l'application suivante :

$$\begin{array}{ccc} \Psi_m & \xrightarrow{\delta_{[m]}} & \Psi_1\times_{\Psi_0},\ldots,\times_{\Psi_0}\Psi_1 \\ t(f_{ij},\varepsilon_{ijk}) & \longrightarrow & t\Big(f_{01},\ldots,f_{m-1,m}\Big) \end{array}$$

est de même une bijection en effet : soit $Y = t[(x_i, f_{i,i+1})_{0\le i\le m}]$ un élément de $\Psi_1\times_{\Psi_0},\ldots,\times_{\Psi_0}\Psi_1$, et posons :

$$f_{ij} = \Big((f_{j-1,j}f_{j-2,j-1})\ldots\Big)f_{i,i+1} \qquad \text{pour tout} \qquad 0\le i<j\le m$$

on peut alors construire grâce aux isomorphismes d'associativives des isomorphismes de cohèrences ε_{ijk} : $f_{jk}f_{ij}\longrightarrow f_{ik}$ pour tout i,j,k tels que $0\le i<j<k\le m$.

Alors $t(x_i, f_{i,j}, \varepsilon_{ijk})$ est un l'antécédent de Y par $\delta_{[m]}$, d'où la surjection. Soient $t(x_i, f_{i,j}, \varepsilon_{ijk})$ et $t(x_i, g_{i,j}, \mu_{ijk})$ deux élément de Ψ_m qui ont même image par $\delta_{[m]}$, donc il existe une famille d'isomorphismes $\lambda_{i,i+1} : f_{i,i+1} \longrightarrow g_{i,i+1}$ pour $0 \leq i \leq m-1$. Grâce aux compositions horizontale et verticale des 2-flèches on peut construire une famille d'isomorphismes $\lambda_{i,j} : f_{i,j} \longrightarrow g_{i,j}$ de façon recurrente par :

$$\begin{array}{rcl}
\lambda_{i,i+2} & = & \mu_{i,i+1,i+2} \cdot (\lambda_{i+1,i+2} \star \lambda_{i,i+1}) \cdot (\varepsilon_{i,i+1,i+2})^{-1} \\
\lambda_{i,i+3} & = & \mu_{i,i+2,i+3} \cdot (\lambda_{i+2,i+3} \star \lambda_{i,i+2}) \cdot (\varepsilon_{i,i+2,i+3})^{-1} \\
\cdots & & \cdots \\
\lambda_{i,j} & = & \mu_{i,j-1,j} \cdot (\lambda_{j-1,j} \star \lambda_{i,j-1}) \cdot (\varepsilon_{i,j-1,j})^{-1}
\end{array}$$

et qui vérifie la relation (i) par construction. Ce qui montre que $(x_i, f_{i,j}, \varepsilon_{ijk})$ et $(x_i, g_{i,j}, \mu_{ijk})$ représentent la même classe, et par conséquent $\delta_{[m]}$ est injective.

(c) Vérifions maintenent que $\delta_{[m]} : \Phi_m \longrightarrow \Phi_1 \times_{\Phi_0} \ldots \times_{\Phi_0} \Phi_1$ est une 1-équivalence extérieure. Il y a deux cas à vérifier :

(h=0) : On montre que le diagramme suivant posséde la proprieté de 0-équivalence :

$$\begin{array}{ccc}
\Phi_{m,0} & \xrightarrow{\delta^0_{[m]}} & \Phi_{1,0} \times_{C_0} \ldots \times_{C_0} \Phi_{1,0} \\
{\scriptstyle s,b}\uparrow & & \uparrow{\scriptstyle s,b} \\
\Phi_{m,1} & \xrightarrow{\delta^1_{[m]}} & \Phi_{1,1} \times_{C_0} \ldots \times_{C_0} \Phi_{1,1}
\end{array}$$

$$\text{Soient } \left\{ \begin{array}{rcl} u, v & \in & \Phi_{m,0} \\ w & \in & \Phi_{1,1} \times_{C_0} \ldots \times_{C_0} \Phi_{1,1} \end{array} \right. \quad \text{tels que} \quad \left\{ \begin{array}{rcl} \delta^0_{[m]}(u) & = & s(w) \\ \delta^0_{[m]}(v) & = & b(w) \end{array} \right.$$

Donc u ,v et w sont de la forme :

$$w = \left(x_i, f^0_{i,i+1}, f^1_{i,i+1}, \lambda_{i,i+1} \right)_{0 \leq i \leq m-1} \qquad \text{et} \qquad \left\{ \begin{array}{rcl} u & = & (x_i, f^0_{i,j}, \varepsilon^0_{ijk})_{0 \leq i < j < k \leq m} \\ v & = & (x_i, f^1_{i,j}, \varepsilon^1_{ijk})_{0 \leq i < j < k \leq m} \end{array} \right.$$

Une construction analogue à celle de (a) permet de construire des 2-flèches $\lambda_{ij} : f^0_{ij} \longrightarrow f^1_{ij}$ qui vérifient la relation (i), alors $X = (x_i, f^\alpha_{ij}, \lambda_{ij}, \varepsilon^\alpha_{ijk})_{\alpha=0,1}$ est l'unique élément de $\Phi_{m,1}$ tel que $\delta^1_{[m]}(X) = w$, $s(X) = u$ et $b(X) = v$.

(h=1) : Il s'agit dans ce cas de montrer que l'appliction suivante :

$$\begin{array}{ccc} \Phi_{m,0} & \xrightarrow{\delta^0_{[m]}} & \Phi_{1,0}\times_{C_0}\ldots\times_{C_0}\Phi_{1,0} \\ (x_i, f_{ij}, \varepsilon_{ijk}) & \longrightarrow & \Big(f_{01},\ldots,f_{m-1,m}\Big) \end{array}$$

posséde la proprieté de 1-équivalence, qui est une conséquence du fait que $T\Phi$ est une catégorie. On conclu alors que $\delta_{[m]}$ est une 1-équivalence extérieure et par suite Φ est un 2-nerf.

Théorème (1.4.2) : *A chaque 2-nerf correspond une 2-catégorie large .*

Preuve : Soit Φ un 2-nerf, on va lui associer une une 2-catégorie large $\mathcal{C}$ tel que $\mathcal{C}_0 = \Phi_{0,0}$, $\mathcal{C}_1 = \Phi_{1,0}$ et $\mathcal{C}_2 = \Phi_{1,1}$. Les applications source, but et identité sont obtenues en prenant l'image par Φ du diagramme de Δ^2 suivant :

$$[0]\times[0] \underset{\delta_1\times I}{\overset{\delta_0\times I}{\rightleftarrows}} [1]\times[0] \underset{I\times\delta_1}{\overset{I\times\delta_0}{\rightleftarrows}} [1]\times[1]$$

qui donne le diagramme :

$$C_0 \underset{b_1}{\overset{s_1}{\rightleftarrows}} C_1 \underset{b_2}{\overset{s_2}{\rightleftarrows}} C_2 \quad \text{tels que} \quad \begin{cases} s_1 s_2 = b_1 s_2 \\ b_1 s_2 = b_1 b_2 \\ s_i e_i = b_i e_i = I_{C_i} \end{cases}$$

Lemme (1.4.3) : *(i) Pour toute flèche $\theta : [m]\longrightarrow[n]$ de Δ on a un foncteur Θ de Φ_n vers Φ_m défini par :*

$$\begin{array}{ccc} \sigma \in \Phi_{n,0} & \longrightarrow & \theta^0(\sigma) \in \Phi_{m,0} \\ \varepsilon : \sigma\longrightarrow\tau \in \Phi_{n,1} & \longrightarrow & \theta^1(\varepsilon) : \theta^0(\sigma)\longrightarrow\theta^0(\tau) \in \Phi_{m,1} \end{array}$$

$$\text{avec} \quad \theta^0(\sigma) := \Phi(\theta\times I_{[0]})(\sigma) \qquad \text{et} \qquad \theta^1(\varepsilon) := \Phi(\theta\times I_{[1]})(\varepsilon)$$

(ii) Si $\varepsilon : \sigma\longrightarrow\tau$ est un isomorphisme alors pour tout θ dans flΔ , $\theta^1(\varepsilon)$ est un isomorphisme.

(iii) Soit ε dans $\Phi_{m,1}$, si $\delta^1_{[m]}(\varepsilon)$ est un isomorphisme alors ε est un isomorphisme.

Preuve : (i) la commutativité du diagramme suivant, obtenu comme image par Φ d'un diagramme commutatif dans Δ^2,

$$\begin{array}{ccccc} \Phi_{n,0} & \xrightarrow[e_n^0]{} & \Phi_{n,1} & \xrightarrow{s,b} & \Phi_{n,0} \\ {\scriptstyle\theta^0}\downarrow & (a) & \downarrow{\scriptstyle\theta^1} & (b) & \uparrow{\scriptstyle\theta^0} \\ \Phi_{m,0} & \xrightarrow[e_m^0]{} & \Phi_{m,1} & \xrightarrow[s,b]{} & \Phi_{1,0} \end{array} \quad \text{où} \quad \begin{cases} e_n^0 = \Phi(I_{[n]} \times e_0) \\ e_m^0 = \Phi(I_{[m]} \times e_0) \end{cases}$$

(a) montre que $\theta^1(I_\sigma) = I_{\theta^0(\sigma)}$ et (b) montre que $\theta^1(\varepsilon) : \theta^0(\sigma) \longrightarrow \theta^0(\tau)$.

La fonctorialité de Θ est due à la commutativité du diagramme suivant :

$$\begin{array}{ccccc} \Phi_{n,2} & \xrightarrow[\sim]{\delta_n^{[2]}} & \Phi_{n,1} \times_{\Phi_{n,0}} \Phi_{n,1} & \xrightarrow{\theta^1 \times \theta^1} & \Phi_{m,1} \times_{\Phi_{m,0}} \Phi_{m,1} \\ {\scriptstyle\delta_n^{02}}\downarrow & & (\star) & & \wr\uparrow{\scriptstyle\delta_m^{[2]}} \\ \Phi_{n,1} & \xrightarrow[\theta^1]{} & \Phi_{m,1} & \xrightarrow[\delta_m^{02}]{} & \Phi_{m,2} \end{array}$$

L'application $\Phi(\theta \times \delta_{02}) : \Phi_{n,2} \longrightarrow \Phi_{m,2}$ coupe le diagramme précédent en deux diagrammes dont la commutativité est conséquence de l'image par Φ du diagramme commutatif de Δ^2 suivant :

$$\begin{array}{ccc} [n] \times [2] & \xleftarrow{\theta \times I_{[2]}} & [m] \times [2] \\ {\scriptstyle I_{[n]} \times \delta_{02}}\uparrow & & \uparrow{\scriptstyle I_{[m]} \times \delta_{02}} \\ [n] \times [1] & \xleftarrow[\theta \times I_{[1]}]{} & [m] \times [1] \end{array}$$

D'autre part on sait que $\delta_n^{[2]}$ et $\delta_m^{[2]}$ sont des bijections, ce qui entraine la commutativité du diagramme $(\star)$. Par conséquent pour tout $(\varepsilon, \varepsilon')$ dans $\Phi_{m,1} \times_{\Phi_{m,0}} \Phi_{m,1}$ on a $\theta^1(\varepsilon' \cdot \varepsilon) = \theta^1(\varepsilon') \cdot \theta^1(\varepsilon)$.

(ii) est une conséquence immediate de (i).

(iii) Soit $\lambda : \delta^0_{[m]}(\tau) \longrightarrow \delta^0_{[m]}(\sigma)$ l'inverse de $\delta^1_{[m]}(\varepsilon)$. Comme Φ est une 2-catégorie il existe un unique $\varepsilon' : \tau \longrightarrow \sigma$ tel que $\delta^1_{[m]}(\varepsilon') = \lambda$. On vérifie facilement d'après (i) que ε' est l'inverse de ε.

(a) Composition verticale des 2-flèches : D'après la proposition (1.1.4), pour tout entier naturel non nul m, Φ_m est un 1-nerf qui correspond à la catégorie $(\Phi_{m,0}, \Phi_{m,1}, \mu_m)$ où μ_m est l'unique application qui rend commutatif le diagramme suivant :

$$\begin{array}{ccc} \Phi_{m,2} & \xrightarrow[\sim]{\delta_m^{[2]}} & \Phi_{m,1}\times_{\Phi_{m,0}}\Phi_{m,1} \\ {\scriptstyle \delta'_{02}}\downarrow & & \downarrow{\scriptstyle \mu_m} \\ \Phi_{m,1} & \xrightarrow[I_{\Phi_{m,1}}]{} & \Phi_{m,1} \end{array} \qquad \mu_m(\delta_m^{[2]}) = \delta'_{02}$$

On désigne par $L_m^{[2]}$ l'inverse de $\delta_m^{[2]}$, et pour tout (α,β) dans $\Phi_{m,1}\times_{\Phi_{m,0}}\Phi_{m,1}$ on pose $\beta\cdot\alpha = \delta'_{02}L_m^{[2]}(\alpha,\beta)$. Donc pour $m=1$ on retrouve la composition verticale des 2-flèches de Φ, qui est associative car Φ_m est une catégorie ce qui entraine l'Axiome (2) de la définition d'une 2-catégorie large.

(b) Composition des flèches : L'équivalence extérieure $\delta_{[m]}$ permet de choisir à l'aide de l'Axiom de choix une application $L_m : C_1\times_{C_0}\ldots\times_{C_0}C_1 \longrightarrow \Phi_{m,0}$ avec pour tout élément X de $C_1\times_{C_0}\ldots\times_{C_0}C_1$ un isomorphisme :

$$a_m(X) : \delta^0_{[m]}(L_m(X)) \longrightarrow X$$

Lorsque $m=2$ on obtient la composition des flèches par $gf := \delta^0_{02}(L_2(f,g))$.

(c) Composition horizontale des 2-flèches : Considérons le diagramme :

$$\begin{array}{ccc} \Phi_2(0) & \xrightarrow{\delta^0_{[2]}} & C_1\times_{C_0}C_1 \\ {\scriptstyle s,b}\uparrow & & \uparrow{\scriptstyle s,b} \\ \Phi_2(1) & \xrightarrow[\delta^1_{[2]}]{} & C_2\times_{C_0}C_2 \end{array}$$

Pour tout couple (α,β) dans $C_2\times_{C_0}C_2$, on pose $s(\alpha,\beta)=(f,g)$, $b(\alpha,\beta)=(f',g')$, $\sigma = L_2(f,g)$ et $\sigma' = L_2(f',g')$. Soit λ la composée dans la catégorie $\Phi_1\times_{\Phi_0}\Phi_1$ des trois flèches suivantes :

$$\delta^0_{[2]}(\sigma) \xrightarrow[\sim]{a_2(f,g)} (f,g) \xrightarrow{(\alpha,\beta)} (f',g') \xrightarrow[\sim]{a_2(f',g')} \delta^0_{[2]}(\sigma')$$

Alors il existe un unique $\varepsilon_{\alpha,\beta} : \sigma \longrightarrow \sigma'$ dans $\Phi_{2,1}$ tel que $\delta^1_{[2]}(\varepsilon_{\alpha,\beta}) = \lambda$. D'après le Lemme (1.4.4) on a le morphisme $\delta^1_{02}(\varepsilon_{\alpha,\beta}) : \delta^0_{02}(\sigma) \longrightarrow \delta^0_{02}(\sigma')$, donc on définit alors la composition horizontale par $\beta\star\alpha := \delta^1_{02}(\varepsilon_{\alpha,\beta}) : gf \longrightarrow g'f'$

(d) Les isomorphismes de cohérences d'identité : Soient les flèches de Δ^2 suivantes :

$$[1] \quad \xrightarrow{\delta_{ij}} \quad [2] \quad \xrightarrow{\delta_{011},\delta_{001}} \quad [1]$$

où $\delta_{011}(0,1,2) = (0,1,1)$ et $\delta_{001}(0,1,2) = (0,0,1)$, alors en appliquant Φ on obtient les relations :

$$\begin{cases} \delta^0_{01}\delta^0_{011} = \delta^0_{01} = I_{\Phi_{1,0}} \\ \delta^0_{12}\delta^0_{011} = \delta^0_{11} = I_b \\ \delta^0_{02}\delta^0_{011} = \delta^0_{01} = I_{\Phi_{1,0}} \end{cases} \quad \text{et} \quad \begin{cases} \delta^0_{01}\delta^0_{001} = \delta^0_{01} = I_{\Phi_{1,0}} \\ \delta^0_{12}\delta^0_{001} = \delta^0_{00} = I_s \\ \delta^0_{02}\delta^0_{001} = \delta^0_{01} = I_{\Phi_{1,0}} \end{cases}$$

Soient f un élément de $\Phi_{1,0}$, $\tau = L_2(f, I_{b(f)})$ et $\sigma = \delta^0_{011}(f)$. Donc d'après les relations précédentes on a $\delta^0_{[2]}(\sigma) = (f, I_{b(f)})$ et $\delta^0_{02}(\sigma) = f$, par conséquent il existe un unique isomorphisme $\varepsilon_f : \tau \longrightarrow \sigma$ tel que $\delta^1_{[2]}(\varepsilon_f) = a_2(f, I_{b(f)})$. On en déduit alors un isomorphisme $V(f) := \delta^1_{02}(\varepsilon_f) : I_{b(f)} f \longrightarrow f$. Si on cosidére la flèche $\delta^0_{001}(f)$ on obtient avec la même construction un isomorphisme $U(f) := \delta^1_{02}(\varepsilon^f) : f I_{s(f)} \longrightarrow f$. Lorsque $f = I_x$ on trouve $V(I_x) = U(I_x)$, car $\delta^0_{011}(I_x) = \delta^0_{001}(I_x)$.

(e) L'isomorphisme de cohérence d'associativité : Soit (f,g,h) dans $\mathcal{C}_1 \times_{\mathcal{C}_0} \mathcal{C}_1 \times_{\mathcal{C}_0} \mathcal{C}_1$, et posons $\sigma_1 = L_2(f,g)$, $\tau_1 = L_2(g,h)$, $\sigma_2 = L_2(gf,h)$, $\tau_2 = L_2(f,hg)$ et $T = L_3(f,g,h)$. On veut construire de façon naturelle un isomorphisme $A(f,g,h)$ de $(hg)f = \delta^0_{02}(\tau_2)$ vers $h(gf) = \delta^0_{02}(\sigma_2)$. Pour cela on va montrer que σ_2 et τ_2 sont isomorphes à deux faces du 3-simplexe T ayant $\delta^0_{03}(T)$ comme côté commun, ce qui permet en se restreignons à ce côté de realiser notre isomorphisme. Rappelons que $\delta^n_{ijk} = \Phi(\delta_{ijk} \times I_{[n]})$ et posons $T_{ijk} = \delta^0_{ijk}(T)$ pour tout i,j,k tels que $0 \leq i \leq j \leq k \leq 3$. On vérifie facilement qu'on a $\delta^0_{[2]}(T_{ijk}) = (\delta_{ij}(T), \delta_{jk}(T))$ et les isomorphismes :

$$\delta^0_{[2]}(\tau_1) \quad \xrightarrow[\sim]{a_2(g,h)} \quad (g,h) \quad \xleftarrow[\sim]{(a^2_3, a^3_3)} \quad \delta^0_{[2]}(T_{123})$$

$$\delta^0_{[2]}(\sigma_1) \quad \xrightarrow[a_2(f,g)]{\sim} \quad (f,g) \quad \xleftarrow[(a^1_3, a^2_3)]{\sim} \quad \delta^0_{[2]}(T_{012})$$

Ce qui entraine l'existence unique de deux isomorphismes :

$$\begin{cases} \eta_1 : T_{123} \longrightarrow \tau_1 \\ \mu_1 : T_{012} \longrightarrow \sigma_1 \end{cases} \quad \text{tels que} \quad \begin{cases} \delta^1_{[2]}(\eta_1) = \big[a_2(g,h)\big]^{-1} \cdot (a^2_3, a^3_3) \\ \delta^1_{[2]}(\mu_1) = \big[a_2(f,g)\big]^{-1} \cdot (a^1_3, a^2_3) \end{cases}$$

Considérons maintenant les isomorphismes

$$\delta^0_{[2]}(\tau_2) \quad \xrightarrow[\sim]{a_2(f,hg)} \quad (f,hg) \quad \xleftarrow[\sim]{(a^1_3,\delta^1_{02}(\eta_1))} \quad \delta^0_{[2]}(T_{013})$$

$$\delta^0_{[2]}(T_{023}) \quad \xrightarrow[(\delta^1_{02}(\mu_1),a^3_3)]{\sim} \quad (gf,h) \quad \xleftarrow[a_2(gf,h)]{\sim} \quad \delta^0_{[2]}(\sigma_2)$$

De même ils existent deux isomorphisme uniques :

$$\begin{cases} \eta_2 : \tau_2 \longrightarrow T_{013} \\ \mu_2 : T_{023} \longrightarrow \sigma_2 \end{cases} \quad \text{tels que} \quad \begin{cases} \delta^1_{[2]}(\eta_2) &= \left[(a^1_3, \delta^1_{02}(\eta_1)\right]^{-1} \cdot a_2(f,hg) \\ \delta^1_{[2]}(\mu_2) &= \left[a_2(gf,h)\right]^{-1} \cdot (\delta^1_{02}(\mu_1), a^3_3) \end{cases}$$

Finalement on retrouve $A(f,g,h)$ en composant les isomorphismes :

$$\delta^0_{02}(\tau_2) = (hg)f \quad \xrightarrow[\sim]{\delta^1_{02}(\eta_2)} \quad \delta^0_{02}(T_{013}) = \delta^0_{02}(T_{023}) \quad \xrightarrow[\sim]{\delta^1_{02}(\mu_2)} \quad h(gf) = \delta^0_{02}(\sigma_2)$$

Vérifions maintenant que les compositions ainsi que les isomorphismes de cohérences qu'on vient de construire satisfont les dix axiomes d'une 2-catégorie large.

Axiome (1) (Axiome du Pentagone) Soient f,g,k,h quatre flèches de Φ telles que $b(f) = s(g)$, $b(g) = s(h)$ et $b(h) = s(k)$. D'abord on a besoin de fixer un certain nombre de données, et pour cela on va utiliser les notations suivantes :

$$\begin{array}{lll} R = L_4(f,g,h,k) & R' = L_3(f,g,h) & R'' = L_3(g,h,k) \\ T = L_3(f,g,kh) & \tau_1 = L_2(g,kh) & \sigma_1 = L_2(f,g) \\ \rho = L_2(g,h) & \tau_2 = L_2(f,(kh)g) & \sigma_2 = L_2(gf,kh) \\ T' = L_3(f,hg,k) & \tau'_1 = L_2(hg,k) & \sigma'_1 = L_2(f,hg) \\ & \tau'_2 = L_2(f,k(hg)) & \sigma'_2 = L_2((hg)f,k) \\ T'' = L_3(gf,h,k) & \tau''_1 = L_2(h,k) & \sigma''_1 = L_2(gf,h) \\ & & \sigma''_2 = L_2(h(gf),k) \end{array}$$

Maintenant on va considérer des diagrammes commutatifs dans la catégorie $\Phi_1 \times_{\Phi_0} \Phi_1$ et puis on s'intéressera aux diagrammes commutatifs dans la catégorie Φ_2 qui représentent ces premiers (un diagramme dans $\Phi_1 \times_{\Phi_0} \Phi_1$ est l'image par $\delta_{[2]}$ de son repréésentant dans Φ_2).

Soient les diagrammes dans $\Phi_1 \times_{\Phi_0} \Phi_1$ et leur représentant dans Φ_2 (les nouvelles fléches qui apparaissent sur les diagrammes sont définies de façon unique tels que ces

diagrammes soient commutatifs) :

$$\begin{array}{ccccc}
\delta^0_{[2]}(\sigma_1) & \xrightarrow{a_2(f,g)} & (f,g) & \xleftarrow{(a^1_4,a^2_4)} & \delta^0_{[2]}(R_{012}) \\
\delta^1_{[2]}(\mu_1)\downarrow & & Id\downarrow & & \uparrow\delta^1_{[2]}(\lambda_{012}) \\
\delta^0_{[2]}(R'_{012}) & \xrightarrow[a^{12}_3(f,g,h)]{} & (f,g) & \xleftarrow[a^{12}_3(f,g,kh)]{} & \delta^0_{[2]}(T_{012})
\end{array}$$

$$\begin{array}{ccc}
\sigma_1 & \xrightarrow{\eta_1} & R_{012} \\
\mu_1\downarrow & (a) & \uparrow\lambda_{012} \\
R'_{012} & \xrightarrow[\eta'_1]{} & T_{012}
\end{array}$$

$$\begin{array}{ccccc}
\delta^0_{[2]}(\tau^{"}_1) & \xrightarrow{a_2(h,k)} & (h,k) & \xleftarrow{(a^3_4,a^4_4)} & \delta^0_{[2]}(R_{234}) \\
\delta^1_{[2]}(\mu_2)\downarrow & & Id\downarrow & & \uparrow\delta^1_{[2]}(\lambda^{"}_{123}) \\
\delta^0_{[2]}(R^{"}_{123}) & \xrightarrow[a^{23}_3(g,h,k)]{} & (h,k) & \xleftarrow[a^{23}_3(gf,h,k)]{} & \delta^0_{[2]}(T^{"}_{123})
\end{array}$$

$$\begin{array}{ccc}
\tau^{"}_1 & \xrightarrow{\eta_2} & R_{234} \\
\mu_2\downarrow & (b) & \uparrow\lambda^{"}_{123} \\
R^{"}_{123} & \xrightarrow[\eta'_2]{} & T^{"}_{123}
\end{array}$$

Les diagrammes suivants vont tenir compte des précédents :

$$\begin{array}{ccccc}
\delta^0_{[2]}(\rho) & \xrightarrow{a_2(g,h)} & (g,h) & \xleftarrow{(a^2_4,a^3_4)} & \delta^0_{[2]}(R_{123}) \\
\delta^1_{[2]}(\mu_3)\downarrow & & Id\downarrow & & \uparrow\delta^1_{[2]}(\varepsilon^{"}_{012}) \\
\delta^0_{[2]}(R^{'}_{123}) & \xrightarrow[a^{23}_3(f,g,h)]{} & (g,h) & \xleftarrow[a^{12}_3(g,h,k)]{} & \delta^0_{[2]}(R^{"}_{012})
\end{array}$$

$$\begin{array}{ccc}
\rho & \xrightarrow{\eta_3} & R_{123} \\
\mu_3\downarrow & (c) & \uparrow\varepsilon^{"}_{012} \\
R^{'}_{123} & \xrightarrow[\eta^{'}_3]{} & R^{"}_{012}
\end{array}$$

$$\begin{array}{ccccc}
\delta^0_{[2]}(\tau_1) & \xrightarrow{a_2(g,kh)} & (g,kh) & \xleftarrow{(a^2_4,\delta^1_{02}(\eta_2)^{-1})} & \delta^0_{[2]}(R_{124}) \\
\delta^1_{[2]}(\mu_4)\downarrow & & Id\downarrow & & \uparrow\delta^1_{[2]}(\lambda_{123}) \\
\delta^0_{[2]}(R^{"}_{013}) & \xrightarrow[(a^1_3,\delta^1_{02}(\mu_2)^{-1})]{} & (g,kh) & \xleftarrow[a^{23}_3(f,g,kh)]{} & \delta^0_{[2]}(T_{123})
\end{array}$$

$$\begin{array}{ccc}
\tau_1 & \xrightarrow{\eta_4} & R_{124} \\
\mu_4\downarrow & (d) & \uparrow\lambda_{123} \\
R^{"}_{013} & \xrightarrow[\eta^{'}_4]{} & T_{123}
\end{array}$$

$$\begin{array}{ccccc}
\delta^0_{[2]}(\tau^{'}_1) & \xrightarrow{a_2(hg,k)} & (hg,k) & \xleftarrow{(\delta^1_{02}(\eta_3)^{-1},a^4_4)} & \delta^0_{[2]}(R_{134}) \\
\delta^1_{[2]}(\mu_5)\downarrow & & Id\downarrow & & \uparrow\delta^1_{[2]}(\lambda^{'}_{123}) \\
\delta^0_{[2]}(R^{"}_{023}) & \xrightarrow[(\delta^1_{02}(\eta^{'}_3\cdot\mu_3)^{-1},a^3_3)]{} & (hg,k) & \xleftarrow[a^{23}_3(f,hg,k)]{} & \delta^0_{[2]}(T^{'}_{123})
\end{array}$$

$$\begin{array}{ccc} \tau_1^{'} & \xrightarrow{\eta_5} & R_{134} \\ {\scriptstyle \mu_5}\downarrow & (e) & \uparrow{\scriptstyle \lambda_{123}^{'}} \\ R_{023}^{"} & \xrightarrow[\eta_5^{'}]{} & T_{123}^{'} \end{array}$$

D'autre part on a les isomorphismes dans $\Phi_1 \times_{\Phi_0} \Phi_1 \times_{\Phi_0} \Phi_1$ suivants :

$$\begin{array}{ccccc} \delta^0_{[3]}(T) & \xrightarrow{a_3(f,g,kh)} & (f,g,kh) & \xleftarrow{(a_4^1, a_4^2, \delta^0_{02}(\eta_2)^{-1})} & \delta^0_{[3]}(R_{0124}) \\ \delta^0_{[3]}(T^{'}) & \xrightarrow{a_3(f,hg,k)} & (f,hg,k) & \xleftarrow{(a_4^1, \delta^0_{02}(\eta_3)^{-1}, a_4^3)} & \delta^0_{[3]}(R_{0134}) \\ \delta^0_{[3]}(T^{"}) & \xrightarrow{a_3(gf,h,k)} & (gf,h,k) & \xleftarrow{(\delta^0_{02}(\eta_1)^{-1}, a_4^3, a_4^4)} & \delta^0_{[3]}(R_{0234}) \\ \delta^0_{[3]}(R^{'}) & \xrightarrow{a_3(f,g,h)} & (f,g,h) & \xleftarrow{(a_4^1, a_4^2, a_4^3)} & \delta^0_{[3]}(R_{0123}) \\ \delta^0_{[3]}(R^{"}) & \xrightarrow{a_3(g,h,k)} & (g,h,k) & \xleftarrow{(a_4^2, a_4^3, a_4^4)} & \delta^0_{[3]}(R_{1234}) \end{array}$$

qui sont représentés dans Φ_3 par les isomorphismes :

$$\begin{array}{ccc} T & \xrightarrow{\lambda} & R_{0124} \\ T^{'} & \xrightarrow{\lambda^{'}} & R_{0134} \\ T^{"} & \xrightarrow{\lambda^{"}} & R_{0234} \end{array} \qquad \begin{array}{ccc} R^{'} & \xrightarrow{\varepsilon^{'}} & R_{0123} \\ R^{"} & \xrightarrow{\varepsilon^{"}} & R_{1234} \end{array}$$

On vérifie facilement qu'on a les relations :

$$\begin{array}{ll} \lambda_{012} = \delta^1_{012}(\lambda) & \varepsilon^{'}_{012} = \delta^1_{012}(\varepsilon^{'}) \\ \lambda_{123} = \delta^1_{123}(\lambda) & \varepsilon^{"}_{123} = \lambda^{"}_{123} \cdot \eta^{'}_2 \\ \lambda^{'}_{123} = \delta^1_{123}(\lambda^{'}) & \varepsilon^{"}_{023} = \lambda^{'}_{123} \cdot \eta^{'}_5 \\ \lambda^{"}_{123} = \delta^1_{123}(\lambda^{"}) & \varepsilon^{"}_{013} = \lambda_{123} \cdot \eta^{'}_4 \end{array}$$

en remarqant que leur images par $\delta^1_{[2]}$ coinsident et, en appliquant le fait que $\delta^1_{[2]}$ est injective, on obteint les relations $(*)$ suivantes :

$$\begin{array}{rcl} \delta^1_{02}(\varepsilon^{"}_{023}) & = & \varepsilon^{"}_{03} = \delta^1_{02}(\lambda^{'}_{123}) \cdot \delta^1_{02}(\eta^{'}_5) = \delta^1_{02}(\eta_5) \cdot \delta^1_{02}(\mu_5)^{-1} \\ \delta^1_{02}(\varepsilon^{"}_{013}) & = & \varepsilon^{"}_{03} = \delta^1_{02}(\lambda_{123}) \cdot \delta^1_{02}(\eta^{'}_4) = \delta^1_{02}(\eta_4) \cdot \delta^1_{02}(\mu_4)^{-1} \end{array} \quad (*)$$

On définit γ_1 , γ_2 et γ_3 respectivement par la composée de chaqu'une des paires des applications composables suivantes :

$$\begin{array}{ccccc} T_{023} & \xrightarrow{\lambda_{023}} & R_{024} & \xrightarrow{(\lambda^{"}_{013})^{-1}} & T^{"}_{013} \\ T_{013} & \xrightarrow{\lambda_{013}} & R_{014} & \xrightarrow{(\lambda^{'}_{013})^{-1}} & T^{'}_{013} \\ T^{'}_{023} & \xrightarrow{\lambda^{'}_{023}} & R_{034} & \xrightarrow{(\lambda^{"}_{023})^{-1}} & T^{"}_{023} \end{array}$$

Vérifions maintenant la commutativité des diagrammes (1) , (2) et (3) ci-dessous :

$$\begin{array}{ccccc} \delta^0_{[2]}(\sigma_2) & \xrightarrow{a_2(gf,kh)} & (gf,kh) & \xleftarrow{(\delta^1_{02}(\eta^{'}_1 \cdot \mu_1)^{-1}, a^3_3)} & \delta^0_{[2]}(T_{023}) \\ Id \downarrow & & Id \downarrow & (1) & \uparrow \delta^1_{[2]}(\gamma_1) \\ \delta^0_{[2]}(\sigma_2) & \xrightarrow[a_2(gf,kh)]{} & (gf,kh) & \xleftarrow[(a^1_3, \delta^1_{02}(\eta^{'}_2 \cdot \mu_2)^{-1})]{} & \delta^0_{[2]}(T^{"}_{013}) \end{array}$$

En utilisant les diagrammes (a) et (b) on obtient les égalités suivantes :

$$\begin{array}{rcl} \delta^1_{[2]}(\gamma_1) & = & \delta^1_{[2]}((\lambda^{"}_{013})^{-1} \cdot \lambda_{023}) = \delta^1_{[2]}((\lambda^{"}_{01})^{-1} \cdot \lambda_{02}, (\lambda^{"}_{13})^{-1} \cdot \lambda_{23}) \\ diagrammes\ (a),(b) & = & (a^1_3(gf,h,k) \cdot \delta^1_{02}(\eta^{'}_1 \cdot \mu_1)^{-1}, \delta^1_{02}(\eta^{'}_2 \cdot \mu_2)^{-1} \cdot a^3_3(f,g,kh)) \end{array}$$

D'où la commutativité du diagramme (1).

$$\begin{array}{ccccc} \delta^0_{[2]}(\tau_2) & \xrightarrow{a_2(f,(kh)g)} & (f,(kh)g) & \xleftarrow{(a^1_3, \delta^1_{02}(\eta^{'}_4 \cdot \mu_4)^{-1})} & \delta^0_{[2]}(T_{023}) \\ \delta^1_{02}(\varepsilon_{I_f, A(g,h,k)}) \downarrow & & (I_f, A(g,h,k)) \downarrow & (2) & \uparrow \delta^1_{[2]}(\gamma_2) \\ \delta^0_{[2]}(\sigma_2) & \xrightarrow[a_2(f,k(hg))]{} & (f,k(hg)) & \xleftarrow[(a^1_3, \delta^1_{02}(\eta^{'}_5 \cdot \mu_5)^{-1})]{} & \delta^0_{[2]}(T^{"}_{013}) \end{array}$$

De même en utilisant la commutativité des diagrammes (e) , (d) et les relations (*) on obtient :

$$\begin{aligned}
\delta^1_{[2]}(\gamma_2) &= \delta^1_{[2]}((\lambda'_{013})^{-1}\cdot\lambda_{013}) = \delta^1_{[2]}((\lambda'_{01})^{-1}\cdot\lambda_{01}, (\lambda'_{13})^{-1}\cdot\lambda_{13}) \\
\textit{diagrammes } (e),(d) &= (a^1_3(f,hg,k)^{-1}\cdot a^1_4\cdot(a^1_3)^{-1}\cdot a^1_3(f,g,kh), \delta^1_{02}(\lambda'_{123})^{-1}\cdot\delta^1_{02}(\lambda_{123}) \\
\textit{relation } (*) &= (a^1_3(f,hg,k)^{-1}\cdot a^1_4\cdot(a^1_3)^{-1}\cdot a^1_3(f,g,kh), \delta^1_{02}(\eta'_5)\cdot\delta^1_{02}(\eta'_4)^{-1})
\end{aligned}$$

On sait aussi que $A(g,h,k) = \delta^1_{02}(\mu_5)^{-1}\cdot\delta^1_{02}(\mu_4)$, ce qui montre la commutativité du diagramme (2). La démarche utilisée pour montrer la commutativité du diagramme (2) est aussi valable pour le diagramme (3) suivant :

$$\begin{array}{ccccc}
\delta^0_{[2]}(\tau_2) & \xrightarrow{a_2((hg)f,k)} & ((hg)f,k) & \longleftarrow & \delta^0_{[2]}(T'_{023}) \\
{\scriptstyle \delta^1_{02}(\varepsilon_{A(f,g,h),I_f})}\downarrow & & {\scriptstyle (A(f,g,h),I_f)}\downarrow & (3) & \uparrow{\scriptstyle \delta^1_{[2]}(\gamma_3)} \\
\delta^0_{[2]}(\sigma''_2) & \xrightarrow[a_2(h(gf),k)]{} & (h(gf),k) & \longleftarrow & \delta^0_{[2]}(T''_{023})
\end{array}$$

Les diagrammes (1) (2) et (3) sont obtenus en appliquant $\delta_{[2]}$ aux diagrammes dans Φ_2 suivants :

$$\begin{array}{ccccccccc}
\tau_2 & \longrightarrow & T_{013} & & T'_{023} & \xrightarrow{\gamma_3} & T''_{023} & & T_{023} & \longleftarrow & \sigma_2 \\
{\scriptstyle \varepsilon_{I_f,A(g,h,k)}}\downarrow & (2)' & \downarrow{\scriptstyle \gamma_2} & & \uparrow & (3)' & \uparrow & & {\scriptstyle \gamma_1}\downarrow & (1)' & \downarrow{\scriptstyle Id} \\
\tau'_2 & \longrightarrow & T'_{013} & & \sigma'_2 & \xrightarrow[\varepsilon_{A(f,g,h),I_f}]{} & \sigma''_2 & & T''_{013} & \longrightarrow & \sigma_2
\end{array}$$

Puisque $\delta_{[2]}$ est une 1- equivalence extérieure, ces diagrammes sont commutatifs. En appliquant δ_{02} aux diagrammes $(1)'$, $(2)'$ et $(3)'$ on obtient trois diagrammes dans la catégorie Φ_1 qui on obtient un quatrième diagramme qui est commutatif d'après la définition de γ_1 , γ_2 et γ_3 :

$$\begin{array}{ccc}
T_{03} & \xrightarrow{Id} & T_{03} \\
{\scriptstyle \delta^1_{02}(\gamma_2)}\uparrow & & \uparrow{\scriptstyle \delta^1_{02}(\gamma_1)} \\
T'_{03} & \xrightarrow[\delta^1_{02}(\gamma_3)]{} & T''_{03}
\end{array}$$

Finalement le diagramme globale formé par ce dernier et les images des diagrammes $(1)'$, $(2)'$ et $(3)'$ est le diagramme commutatif suivant :

$$\begin{array}{ccccc}
\delta^0_{02}(\tau_2) & \xrightarrow{A(f,g,kh)} & \delta^0_{02}(\sigma_2) & \xrightarrow{A(gf,h,k)} & \delta^0_{02}(\sigma_2^{"}) \\
{\scriptstyle A(g,h,k)\star I_f}\downarrow & & & & \downarrow{\scriptstyle Id} \\
\delta^0_{02}(\tau_2^{'}) & \xrightarrow[A(f,hg,k)]{} & \delta^0_{02}(\sigma_2^{'}) & \xrightarrow[I_k\star A(f,g,h)]{} & \delta^0_{02}(\sigma_2^{"})
\end{array}$$

ce qui entraine l'axiome (1)

Axiome (2) On sait que Φ_1 est un 1-nerf d'après la proposition (1.1.4) donc la composition dans cette catégorie est associative, ce qui montre que la composition verticale des 2-flèches de Φ est associative.

Axiome (3) (Relation de Godement) : Soient (α,β) et $(\alpha^{'},\beta^{'})$ deux éléments de $\mathcal{C}_2\times_{\mathcal{C}_0}\mathcal{C}_2$ tels que $bb(\alpha)=ss(\beta^{'})$. On peut les représenter de la façon suivante :

$$\begin{array}{ccc}
\xrightarrow{f} & \xrightarrow{f^{'}} & \\
\downarrow{\scriptstyle\alpha} & \downarrow{\scriptstyle\alpha^{'}} & \\
\xrightarrow[g]{} & \xrightarrow[g^{'}]{} & \\
\downarrow{\scriptstyle\beta} & \downarrow{\scriptstyle\beta^{'}} & \\
\xrightarrow[h]{} & \xrightarrow[h^{'}]{} &
\end{array}
\quad\text{avec}\quad
\begin{cases}
f = s(\alpha) \\
g = s(\beta) = b(\alpha) \\
h = b(\beta) \\
f^{'} = s(\alpha^{'}) \\
g^{'} = s(\beta^{'}) = b(\alpha^{'}) \\
h^{'} = b(\beta^{'})
\end{cases}$$

Posons $\sigma=L_2(f,f^{'})$, $\sigma^{'}=L_2(g,g^{'})$ et $\sigma^{"}=L_2(h,h^{'})$. On sait d'après le paragraphe (c) qu'ils existent trois éléments de $\Phi_{2,1}$ uniques :

$$\varepsilon_{\alpha,\alpha^{'}}:\sigma\longrightarrow\sigma^{'}\qquad \varepsilon_{\beta,\beta^{'}}:\sigma^{'}\longrightarrow\sigma^{"}\qquad \varepsilon_{\beta\cdot\alpha,\beta^{'}\cdot\alpha^{'}}:\sigma\longrightarrow\sigma^{"}$$

tels que les diagrammes (1) , (2) et celui formé par leur réunion, soient commutatifs :

$$\begin{array}{ccccc}
\delta^0_{[2]}(\sigma) & \xrightarrow{\delta^1_{[2]}(\varepsilon_{\alpha,\alpha^{'}})} & \delta^0_{[2]}(\sigma^{'}) & \xrightarrow{\delta^1_{[2]}(\varepsilon_{\beta,\beta^{'}})} & \delta^0_{[2]}(\sigma^{"}) \\
{\scriptstyle a_2}\downarrow\wr & (1) & {\scriptstyle a_2}\downarrow\wr & (2) & \wr\downarrow{\scriptstyle a_2} \\
(f,f^{'}) & \xrightarrow[(\alpha,\alpha^{'})]{} & (g,g^{'}) & \xrightarrow[(\beta,\beta^{'})]{} & (h,h^{'})
\end{array}$$

On en déduit que :

$$\delta^{1}_{[2]}(\varepsilon_{\beta,\beta'}) \cdot \delta^{1}_{[2]}(\varepsilon_{\alpha,\alpha'}) = \delta^{1}_{[2]}(\varepsilon_{\beta\cdot\alpha,\beta'\cdot\alpha'}) \quad \text{et puis} \quad \varepsilon_{\beta,\beta'} \cdot \varepsilon_{\alpha,\alpha'} = \varepsilon_{\beta\cdot\alpha,\beta'\cdot\alpha'}$$

D'où finalement en appliquant δ_{02} on retrouve l'Axiome(3) :

$$(\beta' \star \beta) \cdot (\alpha' \star \alpha) = (\beta' \cdot \alpha') \star (\beta \cdot \alpha)$$

Axiome (4) et (5) : Soient $\varphi : f \longrightarrow f'$ une 2-flèche de Φ , $\sigma = L_2(f, I_{b(f)})$ et $\sigma' = L_2(f', I_{b(f)})$.

Posons $\tau = \delta^{0}_{011}(f)$ et $\tau' = \delta^{0}_{011}(f')$ et Considérons les isomorphismes :

$$\delta^{0}_{[2]}(\sigma) \xrightarrow[\sim]{\delta^{1}_{[2]}(\varepsilon_f)} \delta^{0}_{[2]}(\tau) \xrightarrow{(\varphi, I^{2}_{b(f)})} \delta^{0}_{[2]}(\tau') \xleftarrow[\sim]{\delta^{1}_{[2]}(\varepsilon_{f'})} \delta^{0}_{[2]}(\sigma')$$

L'application $\delta^{0}_{011} : \Phi_{1,1} \longrightarrow \Phi_{2,1}$ fait correspondre à φ l'élément $\delta^{0}_{011}(\varphi)$ tel que

$$\delta^{0}_{[2]}(\delta^{0}_{011}(\varphi)) = (\varphi, I^{2}_{b(f)}) \qquad \text{et} \qquad \delta^{0}_{02}(\delta^{0}_{011}(\varphi)) = \varphi$$

D'autre part on sait qu'il existe un unique $\varepsilon : \sigma \longrightarrow \sigma'$ tel que

$$\delta^{1}_{[2]}(\varepsilon) = \left[\delta^{1}_{[2]}(\varepsilon_{f'})\right]^{-1} \cdot \delta^{1}_{[2]}(\delta^{0}_{011}(\varphi)) \cdot \delta^{1}_{[2]}(\varepsilon_f)$$

D'où $\varepsilon_{f'} \cdot \varepsilon = \delta^{0}_{011}(\varphi) \cdot \varepsilon_f$, ce qui entraine en appliquant δ^{0}_{02} à cette égalité, la relation :

$$V(f') \cdot (I^{2}_{b(f)} \star \varphi) = \varphi \cdot V(f)$$

Avec un raisonement analoque et, en considérant $\delta^{0}_{001}(\varphi)$, on montre que la relation suivante est également satisfaite :

$$U(f') \cdot (\varphi \star I^{2}_{s(f)}) = \varphi \cdot U(f)$$

Axiome (6) : (i) D'après le paragraphe sur les isomorphismes de cohèrences d'identié, on a $\delta^{0}_{011}(I_x) = \delta^{0}_{001}(I_x)$ donc $\varepsilon_{I_x} = \varepsilon^{I_x}$ et par suite $U(I_x) = V(I_x)$.

(ii) Soit (f, g) dans $\Phi_{1,0} \times_{\Phi_{0,0}} \Phi_{1,0}$, et posons $\sigma = L_2(f, g)$. On a le diagramme commutatif suivant :

$$\begin{array}{ccc} \delta^0_{[2]}(\sigma) & \xrightarrow{a_2(f,g)} & (f,g) \\ {\scriptstyle \delta^1_{[2]}(\varepsilon_{I_f,I_g})}\downarrow & & \downarrow{\scriptstyle (I_f,I_g)} \\ \delta^0_{[2]}(\sigma) & \xrightarrow[a_2(f,g)]{} & (f,g) \end{array}$$

Donc $\delta^1_{[2]}(\varepsilon_{I_f,I_g}) = I_{\delta^0_{[2]}(\sigma)} = \delta^1_{[2]}(I_\sigma)$ d'où $\varepsilon_{I_f,I_g} = I_\sigma$ et par suite on a :

$$I_g \star I_f = \delta^1_{02}(\varepsilon_{I_f,I_g}) = \delta^1_{02}(I_\sigma) = I_{\delta^0_{02}(\sigma)} = I_{gf}$$

Axiome (7) : Soient (f,g,h) , $(f^{'},g^{'},h^{'})$ deux éléments de $\mathcal{C}_1 \times_{\mathcal{C}_0} \mathcal{C}_1 \times_{\mathcal{C}_0} \mathcal{C}_1$ et (α,β,γ) un élément de $\mathcal{C}_2 \times_{\mathcal{C}_0} \mathcal{C}_2 \times_{\mathcal{C}_0} \mathcal{C}_2$ comme dans le diagramme suivant :

$$\begin{array}{ccc} \xrightarrow{f} & \xrightarrow{g} & \xrightarrow{h} \\ \downarrow{\scriptstyle \alpha} & \downarrow{\scriptstyle \beta} & \downarrow{\scriptstyle \gamma} \\ \xrightarrow[f^{'}]{} & \xrightarrow[g^{'}]{} & \xrightarrow[h^{'}]{} \end{array}$$

Gardons les mêmes notations utilisées aux paragraphes (c) et (e), quant aux éléments $f^{'}$, $g^{'}$ et $h^{'}$ on garde les même symboles mais avec des primes (c.à.d $T^{'}, \sigma^{'}_1, \tau^{'}_1, \mu^{'}_1, \eta^{'}_1, \sigma^{'}_2, \tau^{'}_2, \mu^{'}_2, \eta^{'}_2$).

(i) On sait qu'il existe un unique morphisme $\omega : T \longrightarrow T^{'}$ tel que le diagramme suivant est commutative :

$$\begin{array}{ccc} \delta^0_{[3]}(T) & \xrightarrow[\sim]{a_3(f,g,h)} & (f,g,h) \\ {\scriptstyle \delta^1_{[3]}(\omega)}\downarrow & & \downarrow{\scriptstyle (\alpha,\beta,\gamma)} \\ \delta^0_{[3]}(T^{'}) & \xrightarrow[a_3(f^{'},g^{'},h^{'})]{\sim} & (f^{'},g^{'},h^{'}) \end{array}$$

Considérons les deux diagrammes commutatifs :

$$\begin{array}{ccccc}
\delta^0_{[2]}(\tau_1) & \xrightarrow[\sim]{a_2(g,h)} & (g,h) & \xleftarrow[\sim]{(a^2_3,a^3_3)} & \delta^0_{[2]}(T_{123}) \\
{\scriptstyle \delta^1_{[2]}(\varepsilon_{\beta,\gamma})}\downarrow & & \downarrow{\scriptstyle (\beta,\gamma)} & & \downarrow{\scriptstyle (\delta^1_{12(\omega)},\delta^1_{23}(\omega))} \\
\delta^0_{[2]}(\tau_1^{'}) & \xrightarrow[a_2(g^{'},h^{'})]{\sim} & (g^{'},h^{'}) & \xleftarrow[(a^2_3,a^3_3)]{\sim} & \delta^0_{[2]}(T^{'}_{123})
\end{array}$$

Le morphisme $\omega : T \longrightarrow T^{'}$ induit un morphisme $\delta^1_{123}(\omega) : T_{123} \longrightarrow T^{'}_{123}$ tel que $\delta^1_{[2]}(\delta^1_{123}(\omega)) = (\delta^1_{12}(\omega), \delta^1_{23}(\omega))$. Donc d'après les paragraphes (c) et (e), le diagramme précédent entraine le diagramme commutative :

$$\begin{array}{ccc}
\tau_1 & \xleftarrow{\eta_1} & T_{123} \\
{\scriptstyle \varepsilon_{\beta,\gamma}}\downarrow & & \downarrow{\scriptstyle \delta^1_{123}(\omega)} \\
\tau_1^{'} & \xleftarrow[\eta_1^{'}]{} & T^{'}_{123}
\end{array}$$

qui, en lui appliquant δ_{02}, donne le diagramme commutative suivant :

$$\begin{array}{ccc}
hg & \xleftarrow{\delta^1_{02}(\eta_1)} & \delta^0_{13}(T) \\
{\scriptstyle \gamma\star\beta}\downarrow & & \downarrow{\scriptstyle \delta^1_{13}(\omega)} \\
h^{'}g^{'} & \xleftarrow[\delta^1_{02}(\eta_1^{'})]{} & \delta^0_{13}(T^{'})
\end{array}$$

(ii) Considérons maintenant les deux diagrammes commutatifs suivants :

$$\begin{array}{ccccc}
\delta^0_{[2]}(\tau_2) & \xrightarrow[\sim]{a_2(f,hg)} & (f,hg) & \xleftarrow[\sim]{(a^1_3,\delta^1_{02}(\eta_1))} & \delta^0_{[2]}(T_{013}) \\
{\scriptstyle \delta^1_{[2]}(\varepsilon_{\alpha,\gamma\star\beta})}\downarrow & & \downarrow{\scriptstyle (\alpha,\gamma\star\beta)} & & \downarrow{\scriptstyle (\delta^1_{01}(\omega),\delta^1_{13}(\omega))} \\
\delta^0_{[2]}(\tau_2^{'}) & \xrightarrow[a_2(f^{'},h^{'}g^{'})]{\sim} & (f^{'},h^{'}g^{'}) & \xleftarrow[(a^1_3,\delta^1_{02}(\eta_1^{'}))]{\sim} & \delta^0_{[2]}(T^{'}_{013})
\end{array}$$

Comme $\delta^1_{[2]}(\omega)((\delta^1_{123}(\omega)) = (\delta^1_{01}(\omega), \delta^1_{13}(\omega))$ alors d'après (c) et (e) on obtient le diagramme commutatif :

$$\begin{array}{ccc} \tau_2 & \xrightarrow{\eta_2} & T_{013} \\ {\scriptstyle \varepsilon_{\alpha,\gamma\star\beta}}\downarrow & & \downarrow{\scriptstyle \delta^1_{013}(\omega)} \\ \tau_2^{'} & \xrightarrow[\eta_2^{'}]{} & T_{013}^{'} \end{array}$$

En lui appliquant δ_{02}, on déduit le diagramme commutatif :

$$\begin{array}{ccc} (hg)f & \xrightarrow{\delta^1_{02}(\eta_2)} & \delta^0_{03}(T) \\ {\scriptstyle (\gamma\star\beta)\star\alpha}\downarrow & (a) & \downarrow{\scriptstyle \delta^1_{03}(\omega)} \\ (h^{'}g^{'})f^{'} & \xrightarrow[\delta^1_{02}(\eta_2^{'})]{} & \delta^0_{03}(T^{'}) \end{array}$$

(iii) Une construction analogue au précédente avec $(\sigma_i, \mu_i, T_{012}, T_{023})$ et $(\sigma_i^{'}, \mu_i^{'}, T_{012}^{'}, T_{023}^{'})$ permet d'aboutir au diagramme commutatif :

$$\begin{array}{ccc} T_{023} & \xleftarrow{\mu_2} & \sigma_2 \\ {\scriptstyle \delta^1_{023}(\omega)}\downarrow & & \downarrow{\scriptstyle \varepsilon_{\beta\star\alpha,\gamma}} \\ T_{023}^{'} & \xleftarrow[\mu_2^{'}]{} & \sigma_2^{'} \end{array}$$

Et par conséquent le diagramme commutatif :

$$\begin{array}{ccc} \delta^0_{03}(T) & \xleftarrow{\delta^1_{02}(\mu_2)} & h(gf) \\ {\scriptstyle \delta^1_{03}(\omega)}\downarrow & (b) & \downarrow{\scriptstyle \gamma\star(\beta\star\alpha)} \\ \delta^0_{03}(T^{'}) & \xleftarrow[\delta^0_{02}(\mu_2^{'})]{} & h^{'}(g^{'}f^{'}) \end{array}$$

La commutativité des diagrammes (a) et (b) entraine alors l'Axiome (7).

$$\big[\gamma\star(\beta\star\alpha)\big]\cdot A(f,g,h) = A(f^{'},g^{'},h^{'})\cdot\big[(\gamma\star\beta)\star\alpha\big]$$

<u>Axiomes (8), (9) et (10)</u> : Les Axiomes (8), (9) et (10) se resemblent donc

il suffit de montrer l'un de ces Axiomes et pour les autres la même démarche est valable. Vérifions alors l'Axiome (8). Soit (f, I_y, g) dans $\mathcal{C}_1 \times_{\mathcal{C}_0} \mathcal{C}_1 \times_{\mathcal{C}_0} \mathcal{C}_1$, représentés par le diagramme :

$$x \xrightarrow{\quad f \quad} y \xrightarrow{\quad I_y \quad} z \xrightarrow{\quad g \quad} t$$

Dans ce paragraphe on réfère de même aux notations des paragraphes (c) et (e). En plus on a besoin des notations : $T = (f, I_y, g)$, $\rho = (f, g)$, $F = \delta_{011}(f)$, $G = \delta_{001}(g)$ et $T' = \delta^0_{0112}(\rho)$. On sait par le fait que Φ_3 est un 1-nerf qu'il existe un unique $\omega : T \longrightarrow T'$ tel que $\delta^1_{[3]}(\omega)$ soit égale au composé des isomorphismes suivants :

$$\delta^1_{[3]}(T) \quad \underset{\sim}{\xrightarrow{a_3(f, I_y, g)}} \quad (f, I_y, g) \quad \underset{\sim}{\xleftarrow{(a^1_2, I^2_y, a^2_2)}} \quad (\delta^0_{02}(\rho), I^2_y, \delta^0_{12}(\rho)) = \delta^1_{[3]}(T')$$

Soit $\eta''_1 = \delta^0_{001}(a^2_2(f, g)$, donc $\delta^0_{[2]}(\eta''_1) = (I^2_y, a^2_2(f, g))$ et $\delta^0_{02}(\eta''_1) = a^2_2(f, g)$. On obtient alors un diagramme commutatif :

$$\begin{array}{ccccc}
 & & \delta^0_{[2]}(T_{123}) & \xrightarrow{\delta^1_{[2]}(\omega_{123})} & \delta^0_{[2]}(T'_{123}) \\
 & & \Big\downarrow{\scriptstyle (a^2_3, a^3_3)} & & \Big\downarrow{\scriptstyle \delta^1_{[2]}(\eta''_1)} \\
\delta^0_{[2]}(\tau_1) & \underset{\delta^1_{[2]}(\varepsilon^g)}{\xrightarrow{\sim}} & (I_y, g) & = & \delta^0_{[2]}(G)
\end{array}$$

Il existe un unique $\eta'_1 : T_{123} \longrightarrow G$ tel que $\delta^0_{[2]}(\eta'_1) = (a^2_3, a^3_3)$, ce qui implique le diagramme commutatif :

$$\begin{array}{ccc}
T_{123} & \xrightarrow{\omega_{123}} & T'_{123} \\
\Big\downarrow{\scriptstyle \eta'_1} & & \Big\downarrow{\scriptstyle \eta''_1} \\
G & = & G
\end{array}
\qquad \text{puis} \qquad
\begin{array}{ccc}
\delta^0_{13}(T) & \xrightarrow{\omega_{13}} & \delta^0_{13}(T') \\
\Big\downarrow{\scriptstyle \delta^0_{02}(\eta'_1)} & & \Big\downarrow{\scriptstyle (a^2_3, a^3_3)} \\
g & = & g
\end{array}$$

Soit maintenant les diagrammes :

$$\begin{array}{ccccc}
\delta^0_{[2]}(\tau_2) & \xrightarrow{a_2(f,gI_y)} & (f,gI_y) & \xleftarrow{(a^1_3,\delta^1_{02}(\eta_1)} & \delta^0_{[2]}(T_{013}) \\
{\scriptstyle \delta^1_{[2]}(\varepsilon^g)}\downarrow & (1) & {\scriptstyle (a^2_3,a^3_3)}\downarrow\wr & (2) & \wr\downarrow{\scriptstyle \delta^1_{[2]}(\eta_1^{"})} \\
\delta^0_{[2]}(\rho) & \xrightarrow[a_{[2}(f,g)]{\sim} & (f,g) & \xleftarrow[a_2(f,g)]{\sim} & \delta^0_{[2]}(\rho)
\end{array}$$

La commutativité de (1) est d'après le paragraphe (c), quant au diagramme (2) sa commutativité est due au fait qu'on a :

$$\begin{aligned}
\eta_1 &= \left[\varepsilon^g\right]^{-1}\cdot\eta_1^{'} \\
T^{'}_{013} &= \delta^0_{013}(T^{'}) = \rho \\
\omega_{13} &= \left[a^2_2(f,g)\right]^{-1}\cdot U(g)\cdot\delta^0_{02}(\eta_1)
\end{aligned}$$

On en déduit le diagramme commutatif :

$$\begin{array}{ccc}
\tau_2 & \xrightarrow{\eta_2} & T_{013} \\
{\scriptstyle \varepsilon_{I_f,U(g)}}\downarrow & & \downarrow{\scriptstyle \omega_{013}} \\
\rho & = & \rho
\end{array}
\quad\text{puis}\quad
\begin{array}{ccc}
(gI_y)f & \xrightarrow{\delta^0_{02}(\eta_2)} & \delta^0_{03}(T) \\
{\scriptstyle U(g)\star I_f}\downarrow & (a) & \downarrow{\scriptstyle (\omega_{03})} \\
gf & = & gf
\end{array}$$

D'autre part un raisonement analogue au précédent permet d'obtenir des diagrammes du même genre :

$$\begin{array}{ccc}
T_{023} & \xrightarrow{\mu_2} & \sigma_2 \\
{\scriptstyle \omega_{023}}\downarrow & & \downarrow{\scriptstyle \varepsilon_{V(f),I_g}} \\
\rho & = & \rho
\end{array}
\text{ puis }
\begin{array}{ccc}
\delta^0_{03}(T) & \xrightarrow{\delta^0_{02}(\eta_2)} & g(I_yf) \\
{\scriptstyle \omega_{03}}\downarrow & (b) & \downarrow{\scriptstyle I_g\star V(f)} \\
gf & = & gf
\end{array}$$

On en déduit alors de (a) et (b) l'Axiome (8) :

$$\left[I_g\star V(f)\right]\cdot A(f,I_y,g) = U(g)\star I_f$$

Remarques (1.4.4) : (1) Soit $\mathcal{C}$ une 2-catégorie large, et considérons la 2-catégorie

large $\mathcal{C}'$, qui correspond à son nerf double. Il est claire qu'on a $\mathcal{C}_0 = \mathcal{C}'_0$, $\mathcal{C}_1 = \mathcal{C}'_1$ et $\mathcal{C}_2 = \mathcal{C}'_2$, la composition verticale des 2-flèches est la même dans $\mathcal{C}$ et $\mathcal{C}'$, mais la composition des flèches dans $\mathcal{C}$ n'est pas forcement la même que celle dans $\mathcal{C}'$, ils sont isomorphes. Cela se traduit par le fait qu'il y a un 2-foncteur large ([4] O. Leroy) entre $\mathcal{C}$ et $\mathcal{C}'$ qui admet un inverse stricte (ou exacte).
(2) Soit maintenant Φ un 2-nerf, et considérons le nerf double Ψ de la 2-catégorie large $\mathcal{C}$ qui correspond à Φ. Alors ils existent un 2-nerf strict $\mathcal{S}$ et deux 2-équivalences extérieures α , β comme suite :

$$\Phi \xrightarrow[\sim]{\alpha} \mathcal{S} \xleftarrow[\sim]{\beta} \Psi$$

En effet on définit $\mathcal{S}$ pour tout objet (m,n) de Δ^2 par :

$$\mathcal{S}_{0,0} = \mathcal{C}_0 \quad , \quad \mathcal{S}_{1,0} = \mathcal{C}_1 \quad , \quad \mathcal{S}_{1,1} = \mathcal{C}_2$$

$$\mathcal{S}_{m,1} = \mathcal{S}_{1,1} \times_{\mathcal{S}_{0,0}} \ldots \times_{\mathcal{S}_{0,0}} \mathcal{S}_{1,1} \qquad (m fois)$$

$$\mathcal{S}_{m,0} = \mathcal{S}_{1,0} \times_{\mathcal{S}_{0,0}} \ldots \times_{\mathcal{S}_{0,0}} \mathcal{S}_{1,0} \qquad (m fois)$$

$$\mathcal{S}_{m,n} = \mathcal{S}_{m,1} \times_{\mathcal{S}_{m,0}} \ldots \times_{\mathcal{S}_{m,0}} \mathcal{S}_{m,1} \qquad (n fois)$$

Soit (m,n) un objet de Δ^2, on définit les images des applications d_i^k et ε_i^k, pour (k,i) dans $\{1\} \times \{0,\ldots,m\}$ ou dans $\{2\} \times \{0,\ldots,n\}$, par :

$$\begin{array}{ccc} \mathcal{S}_{m,n} & \xrightarrow{d_i^1} & \mathcal{S}_{m-1,n} \\ (f_{01}^\alpha, \ldots, f_{m-1,m}^\alpha)_{1\le\alpha\le n} & \longrightarrow & \begin{array}{c} (f_{12}^\alpha, \ldots, f_{m-1,m}^\alpha) \quad si \quad i=0 \\ (f_{01}^\alpha, .., f_{i,i+1}^\alpha f_{i-1,i}^\alpha, .., f_{m-1,m}^\alpha) \quad si \quad 0<i<m \\ (f_{01}^\alpha, \ldots, f_{m-2,m-1}^\alpha) \quad si \quad i=m \end{array} \end{array}$$

$$\begin{array}{ccc} \mathcal{S}_{m,n} & \xrightarrow{\varepsilon_i^1} & \mathcal{S}_{m+1,n} \\ (f_{01}^\alpha, \ldots, f_{m-1,m}^\alpha)_{1\le\alpha\le n} & \longrightarrow & \begin{array}{c} (f_{01}^\alpha, .., I_{s(f_{i,i+1}^\alpha)}, .., f_{m-1,m}^\alpha) \quad si \quad 0\le i<m \\ (f_{01}^\alpha, \ldots, f_{m-1,m}^\alpha, I_{b(f_{m-1,m}^\alpha)}) \quad si \quad i=m \end{array} \end{array}$$

en considérant la composition des flèches ou la composition verticale des 2-flèches suivant que n est nul ou pas. On définit de même d_i^2 et ε_i^2 , en considérant la composition horizontale des 2-flèches.

Le 2-prè-nerf $\mathcal{S}$ est 1-troncable par construction, en plus on a :

$$(T\mathcal{S})_m = (T\mathcal{S})_1 \times_{(T\mathcal{S})_0} \ldots \times_{(T\mathcal{S})_0} (T\mathcal{S})_1$$

ce qui montre que $\mathcal{S}$ est 2-troncable. On sait que :

$$\mathcal{S}_{m,n} = \prod_{\mathcal{S}_{1,0}\times_{\mathcal{S}_{0,0}}\cdots\times_{\mathcal{S}_{0,0}}\mathcal{S}_{1,0}}^{n} (\mathcal{S}_{1,1}\times_{\mathcal{S}_{0,0}}\ldots\times_{\mathcal{S}_{0,0}}\mathcal{S}_{1,1})$$

$$(\mathcal{S}_1\times_{\mathcal{S}_0}\ldots\times_{\mathcal{S}_0}\mathcal{S}_1)(n) = \prod_{\mathcal{S}_{0,0}}^{m} (\mathcal{S}_{1,1}\times_{\mathcal{S}_{1,0}}\ldots\times_{\mathcal{S}_{1,0}}\mathcal{S}_{1,1})$$

On déduit, d'après la remarque (1.2.9), qu'on a un isomorphisme naturel :

$$\mathcal{S}_m \xrightarrow{\delta_{[m]}} \mathcal{S}_1\times_{\mathcal{S}_0}\ldots\times_{\mathcal{S}_0}\mathcal{S}_1$$

D'où $\mathcal{S}$ est un 2-nerf strict. De même grâce à la remarque (1.2.9) et aux 1-équivalences

$$\delta_{[m]} : \Phi_m \longrightarrow \Phi_1\times_{\Phi_0}\ldots\times_{\Phi_0}\Phi_1 \text{ et } \delta_{[m]} : \Psi \longrightarrow \Psi_1\times_{\Psi_0}\ldots\times_{\Psi_0}\Psi_1$$

on peut construire les 2-équivalences extérieures α et β.

CHAPITRE 2 :

NOTION de n-GROUPOIDE

Dans ce chapitre on donne une définition de n-groupoide comme un n-nerf (n-catégorie large) dans lequel on peut inveser les i-flèches à (n-i)-équivalence près. D'autre part on fait associer à chaque espace topologique un n-groupoide qui généralise pour $n = 1$ le groupoide de Poincaré.

(2.1).— Notations et définitions :

Soit Φ un n-nerf avec $n \geq 1$, on désigne par $\pi_0(\Phi)$ l'ensemble des classes de n-équivalence d'objets de Φ, il est défini comme suite :

$$\pi_0(\Phi) = T^n\Phi = \{t^n(x), x \in \Phi(0_n)\}$$

On appelle *n-groupoide* la donnée d'un n-nerf Φ telle que :
pour tout $i \in \{1, \ldots, n\}$ la catégorie $\mathcal{C}_i(\Phi) = T^{n-i}\Phi_N$ avec $N = I_{(i-1)}$ est un groupoide. Soit $F : \Phi \longrightarrow \Psi$ un morphisme entre n-nerfs, alors pour tout $i \in \{1, \ldots, n\}$, F induit de façon naturelle un morphisme :

$$\mathcal{C}_i(F) : \mathcal{C}_i(\Phi) \longrightarrow \mathcal{C}_i(\Psi)$$

et pour tout i, j tels que $1 \leq i < j \leq n$ et tout objet f de $\mathcal{C}_i(\Phi)$ on a la relation suivante :

$$\mathcal{C}_i(F)(0)(I_f^{i-j}) = I_{\mathcal{C}_j(F)(0)(f)}^{i-j}$$

qui se déduit facilement des définitions de F et $\mathcal{C}_i(F)$. Soient Φ un n-groupoide et f un objet de $\mathcal{C}_i(\Phi)$. On appelle *i-ème groupe d'homotopie* de Φ de base f, le groupe $Aut_{\mathcal{C}_i(\Phi)}(f)$ qu'on notera par $\pi_i(\Phi, f)$. Pour tout objet f de Φ on désignera par $\pi_i(\Phi, f)$ le groupe $\pi_i(\Phi, I_f^{i-j})$.

(2.2).— Proprietés des n-groupoides :

Théorème (2.2.1) *Soit Φ un n-groupoide, alors pour tout i, j tels que $2 \leq j \leq i \leq n$, et tout objet f de $\mathcal{C}_j(\Phi)$, le groupe $\pi_i(\Phi, f)$ est abélien.*

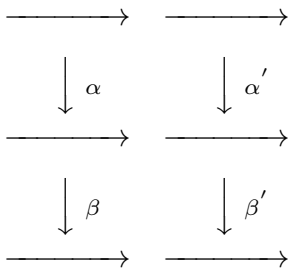
Preuve : Soient i, j tels que $2 \leq j \leq i \leq n$, et posons : $S = I_{i-2}$, $N = I_{i-1}$. Le 2-nerf $\mathcal{A}_i = T^{n-i}\Phi_S$ est un 2-groupoide tel que :

$$\text{2-fl}\mathcal{A}_i = C_i = \text{fl}\mathcal{C}_i(\Phi) \qquad \text{et} \qquad \text{fl}\mathcal{A}_i = C_{i-1} = \text{Ob}\mathcal{C}_i(\Phi)$$

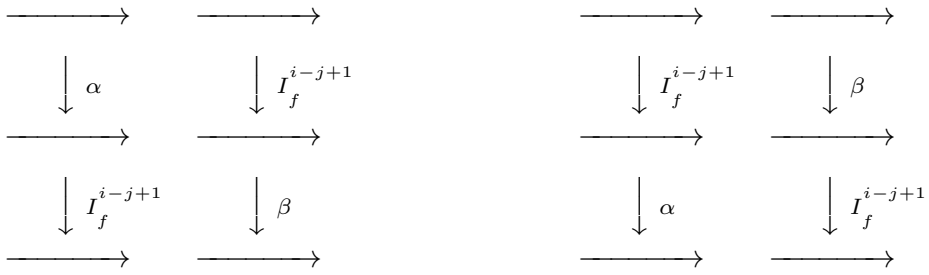
Donc la composition vérticale des 2-flèches de $\mathcal{A}_i$ coinside avec celle des flèches de $\mathcal{C}_i$. Comme $\mathcal{A}_i$ est une 2-catégorie, alors elle posséde en plus une composition horisontale $*$ pour les 2-flèches et qui vérifie avec la première la relation de Godement suivante :

$$(\beta' \bar{\bullet}_i \alpha') * (\beta \bar{\bullet}_i \alpha) = (\beta' * \beta) \bar{\bullet}_i (\alpha' * \alpha)$$

où α , β , α' et β' sont des 2-flèches de $\mathcal{A}_i$ tels que $b(\alpha) = s(\beta)$, $b(\alpha') = s(\beta')$ et $ss(\beta') = bb(\alpha)$, suivant le diagramme :



Lorsqu'on prend α et β dans $\pi_i(\Phi, f)$ où f est un objet de $\mathcal{C}_j(\Phi)$, la relation de Godement pour les diagrammes :



donne les relations :

$$\beta * \alpha = (\beta * I) \bar{\bullet}_i (I * \alpha) = (I * \alpha) \bar{\bullet}_i (\beta * I) \quad \text{où} \quad I = I_f^{i-j+1}$$

et d'après les axiomes (4), (5) et (6) on obtient les relations :

$$\beta * \alpha = U^{-1} \bar{\bullet}_i (\beta \bar{\bullet}_i \alpha) \bar{\bullet}_i U = U^{-1} \bar{\bullet}_i (\alpha \bar{\bullet}_i \beta) \bar{\bullet}_i U \quad \text{où} \quad U = U(I_f^{i-j})$$

On en déduit que : $\alpha \bar{\bullet}_i \beta = \beta \bar{\bullet}_i \alpha$, $\beta * \alpha = \alpha * \beta$ et par suite $\pi_i(\Phi, f)$ est abélien.

Proposition (2.2.2) : *Soient $F : \Phi \longrightarrow \Psi$ une morphisme entre deux n-groupoides, f un objet de $\mathcal{C}_i(\Phi)$ et $f' = \mathcal{C}_i(F)(0)(f)$. Alors F induit un morphisme de groupes $\pi_i(F, f) : \pi_i(\Phi, f) \longrightarrow \pi_i(\Psi, f')$ pour tout $i \in \{1, \ldots, n\}$, et une application $\pi_0(F) : \pi_0(\Phi) \longrightarrow \pi_0(\Psi)$ telle que $\pi_0(F) = T^n(F)$.*

Lemme (2.2.3) : *Si $\lambda : \mathcal{A} \longrightarrow \mathcal{B}$ est une morphisme entre deux catégories, alors*

pour tout $(x,y) \in \mathcal{A}(1)\times_{\mathcal{A}(0)}\mathcal{A}(1)$ *on a :* $\lambda(1)(y.x) = \lambda(1)(y).\lambda(1)(x)$.

Preuve du Lemme : Dans la catégorie Δ les flèches $\delta_{ij} : [1]\longrightarrow[2]$ nous donnent les diagrammes commutatifs (1) et (2) :

$$\begin{array}{ccccc}
\mathcal{A}(1) & \xleftarrow{\delta_{02}^{'}} & \mathcal{A}(2) & \xrightarrow{\delta_{01}^{'}\times\delta_{12}^{'}} & \mathcal{A}(1)\times_{\mathcal{A}(0)}\mathcal{A}(1) \\
{\scriptstyle\lambda(1)}\downarrow & (1) & {\scriptstyle\lambda(2)}\downarrow & (2) & \downarrow{\scriptstyle\lambda(1)\times\lambda(1)} \\
\mathcal{B}(1) & \xleftarrow[\delta_{02}^{'}]{} & \mathcal{B}(2) & \xrightarrow[\delta_{01}^{'}\times\delta_{12}^{'}]{} & \mathcal{B}(1)\times_{\mathcal{B}(0)}\mathcal{B}(1)
\end{array}$$

Or, on sait que $\delta_{01}^{'} \times \delta_{12}^{'}$ est une bijection donc le grand diagramme est commutatifs ce qui montre que λ respecte la composition des flèches.

Preuve de la proposition : On sait que pour tout $i \in \{1,\dots,n\}$, on a une morphisme $\mathcal{C}_i(F) : \mathcal{C}_i(\Phi)\longrightarrow\mathcal{C}_i(\Psi)$, et par suite un diagramme commutatif :

$$\begin{array}{ccc}
\mathcal{C}_i(\Phi)(1) & \xrightarrow{\mathcal{C}_i(F)(1)} & \mathcal{C}_i(\Psi)(1) \\
{\scriptstyle s,b}\downarrow & (1) & \downarrow{\scriptstyle s,b} \\
\mathcal{C}_i(\Phi)(0) & \xrightarrow[\mathcal{C}_i(F)(0)]{} & \mathcal{C}_i(\Psi)(0)
\end{array}$$

Soit α est un élément de $\mathcal{C}_i(\Phi)(1)$ tel que $s(\alpha) = b(\alpha)$; alors d'après le diagramme (1) on obtient :

$$s\big[\mathcal{C}_i(F)(1)(\alpha)\big] = b\big[\mathcal{C}_i(F)(1)(\alpha)\big] = \mathcal{C}_i(F)(0)\big(s(\alpha)\big)$$

On en déduit que pour tout objet f de $\mathcal{C}_i(\Phi)$ la restriction de $\mathcal{C}_i(F)(1)$ à $\pi_{_i}(\Phi, f)$ est une application $\pi_{_i}(F, f) : \pi_{_i}(\Phi, f) \longrightarrow \pi_{_i}(\Psi, f^{'})$. En appliquant le Lemme (2.2.3) au morphisme $\mathcal{C}_i(F)$, on montre que $\pi_{_i}(F, f)$ respecte la composition des flèches de $\mathcal{C}_i(\Phi)$. Par conséquent $\pi_{_i}(F, f)$ est un morphisme de groupes.

Proposition (2.2.4) : *Soit* $F : \Phi\longrightarrow\Psi$ *un morphisme entre deux n-groupoides. F est une n-équivalence extérieure si et seulement si pour tout* $i \in \{1,\dots,n\}$ *et tout objet f de* $\mathcal{C}_i(\Phi)$ *;* $\pi_{_i}(F, f)$ *est un isomorphisme, et* $\pi_{_0}(F)$ *est une bijection.*

Preuve : On sait que F est une n-équivalence extérieure si et seulement si pour tout $i \in \{1,\dots,n\}$ et tout u, v objets de $\mathcal{C}_i(\Phi)$, l'application :

$$G_i^{u,v} : Hom_{_{\mathcal{C}_i(\Phi)}}(u, v)\longrightarrow Hom_{_{\mathcal{C}_i(\Phi)}}(u, u)$$

induite par $\mathcal{C}_i(F)$ ainsi que l'application $T^{^N}F : T^{^N}\Phi\longrightarrow T^{^N}\Psi$ sont bijectives, où

$u^{'} = \mathcal{C}_i(F)(1)(u)$ (Proposition (1.3.1)). Lorsqu'on prend $i \in \{1, \ldots, n\}$ et $u = v$, on obtient $\pi_{_i}(F, u) = G_i^{u,u}$ et qui est donc un isomorphisme.
Inversement lorsque $Hom_{_{\mathcal{C}_i(\Phi)}}(u, v)$ est non vide, la donnée d'un élément α de $Hom_{_{\mathcal{C}_i(\Phi)}}(v, u)$ (il existe toujours car $\mathcal{C}_i(\Phi)$ est un groupoide) permet de construire une bijection :

$$\begin{array}{ccc} Hom_{_{\mathcal{C}_i(\Phi)}}(u, v) & \xrightarrow{\quad t_\alpha \quad} & Hom_{_{\mathcal{C}_i(\Phi)}}(u, u) \\ \varphi & \longrightarrow & \alpha \cdot \varphi \end{array}$$

Si on pose $\alpha^{'} = G_i^{v,u}(\alpha)$ on obtient le diagramme commutative suivant :

$$\begin{array}{ccc} Hom_{_{\mathcal{C}_i(\Phi)}}(u, v) & \xrightarrow{\quad t_\alpha \quad} & Hom_{_{\mathcal{C}_i(\Phi)}}(u, u) \\ {\scriptstyle G^{u,v}}\downarrow & & \downarrow{\scriptstyle G_i^{u,u}} \\ Hom_{_{\mathcal{C}_i(\Phi)}}(u^{'}, v^{'}) & \xrightarrow[t_{\alpha'}]{} & Hom_{_{\mathcal{C}_i(\Phi)}}(u^{'}, u^{'}) \end{array}$$

Et comme $G^{u,u}$ est un isomorphisme, alors $G^{u,v}$ est une bijection. Par conséquent F est une n-équivalence extérieure.

Lemme (2.2.5) : *Soit Φ un (n+1)-groupoide, avec $n \geq 1$, alors :*
(1) $\Phi_1 \times_{_{\Phi_0}} \Phi_1$ est un n-groupoide ;
(2) Pour tout i, j tels que $2 \leq j \leq i \leq n$ et tout objet (f, g) de $\mathcal{C}_j(\Phi_1 \times_{_{\Phi_0}} \Phi_1)$ on a :

$$\pi_i\big(\Phi_1 \times_{_{\Phi_0}} \Phi_1, (f, g)\big) = \pi_i(\Phi_1, f) \times_{_{\Phi(0_n)}} \pi_i(\Phi_1, g)$$

Preuve : (1) Comme conséquence de la proposition (1.3.5), $\Phi_1 \times_{_{\Phi_0}} \Phi_1$ est un (n-1)-pré-nerf (n-1)-troncable.
Soient $s \in \{1, \ldots, n-1\}$, (M, m) un objet de $\Delta^{n-s-1} \times \Delta$ et posons $\Psi = \Phi_1 \times_{_{\Phi_0}} \Phi_1$.

$$\text{On sait que :} \quad \Psi_{_{M,0}} = (\Phi_1)_{_{M,0}} \times_{_{(\Phi_0)_{M,0}}} (\Phi_1)_{_{M,0}} = \Phi_{_{1,M,0}} \times_{_{\Phi_{0,M,0}}} \Phi_{_{1,M,0}}$$

Or, $\Phi_{_{1,M,0}}$ et $\Phi_{_{0,M,0}}$ sont des foncteurs constants, alors il en est de même pour $\Psi_{_{M,0}}$.

Montrons maintenant que $\delta_M^{[m]} : \Psi_{_{M,m}} \longrightarrow \Psi_{_{M,1}} \times_{_{\Psi_{M,0}}} \ldots \times_{_{\Psi_{M,0}}} \Psi_{_{M,1}}$
est une s-équivalence extérieure. Posons $N = (1, M)$:

$$\mathcal{A} = \Psi_{_{M,1}} \times_{_{\Psi_{M,0}}} \ldots \times_{_{\Psi_{M,0}}} \Psi_{_{M,1}}$$

$$\mathcal{B} = \big(\Phi_{_{N,1}} \times_{_{\Phi_{N,0}}} \ldots \times_{_{\Phi_{N,0}}} \Phi_{_{N,1}}\big) \times_{_{\Phi_{0_{n-s}}}} \big(\Phi_{_{N,1}} \times_{_{\Phi_{N,0}}} \ldots \times_{_{\Phi_{N,0}}} \Phi_{_{N,1}}\big)$$

On sait que :

$$\Psi_{M,m} \quad = \quad \Phi_{N,m}\times_{\Phi_{0_{n-s}}}\Phi_{N,m}$$

$$\delta_N^{[m]} : \Phi_{N,m} \longrightarrow \Phi_{N,1}\times_{\Phi_{N,0}}\ldots\times_{\Phi_{N,0}}\Phi_{N,1} \quad (s-equivalence)$$

D'autre part, d'après la remarque (1.2.8), pour tout objet R de Δ^s on a une bijection naturelle $F(R) : \mathcal{A}(R)\longrightarrow\mathcal{B}(R)$ qui rend commutatif le diagramme suivant :

$$\begin{array}{ccc} \Psi_{M,m}(R) & \xrightarrow{\delta_M^{[m]}} & \mathcal{B}(R) \\ {\scriptstyle \delta_N^{[m]}\times\delta_N^{[m]}}\downarrow & & \| \\ \mathcal{A}(R) & \xrightarrow[F(R)]{} & \mathcal{B}(R) \end{array}$$

L'isomorphisme naturel F est alors une s-équivalence extérieure entre les s-pré-nerfs $\mathcal{A}$ et $\mathcal{B}$. D'où $\delta_M^{[m]}$ est une s-équivalence extérieure, et par conséquent Ψ est un n-nerf.

Soient $i\in\{1,\ldots,n\}$ et $N = I_{i-1}$, alors :

$$\mathcal{C}_i(\Psi) = T^{n-i}\Psi_N = \big(T^{n-i}\Phi_{1,N}\big)\times_{\Phi_{0_{n-1}}}\big(T^{n-i}\Phi_{1,N}\big) = \mathcal{C}_i(\Phi_1)\times_{\Phi_{0_{n-1}}}\mathcal{C}_i(\Phi_1) \quad (\star)$$

Comme $\mathcal{C}_i(\Phi_1)$ est un groupoide, il s'en suit que $\mathcal{C}_i(\Psi)$ est aussi un groupoide, donc Ψ est un n-groupoide.

(2) Soient i,j tels que $2\leq j\leq j\leq n$ et (f,g) un objet de $\mathcal{C}_j(\Psi)$, alors d'après la relation $(\star)$ ona :

$$\begin{aligned} \pi_i\big(\Psi,(f,g)\big) &= Aut_{\mathcal{C}_i(\Psi)}\big((f,g)\big) \\ &= Aut_{\mathcal{C}_i(\Phi_1)\times_{\Phi_{0_{n-1}}}\mathcal{C}_i(\Phi_1)}\big((f,g)\big) \\ &= Aut_{\mathcal{C}_i(\Phi_1)}(f)\times_{\Phi_{0_n}}Aut_{\mathcal{C}_i(\Phi_1)}(g) \\ &= \pi_i(\Phi_1,f)\times_{\Phi(0_n)}\pi_i(\Phi_1,g) \end{aligned}$$

Théorème (2.2.6) : *Soient Φ un 2-groupoide, τ un élément de $\Phi_{2,0}$ tel que $\delta^0_{[2]}(\tau) = (f,g)$ et $\delta^0_{02}(\tau) = h$. Alors il existe un isomorphisme*

$$\mathcal{L} : \pi_2(\Phi,f) \longrightarrow \pi_2(\Phi,h)$$

Preuve : D'après les propositions (2.2.2) , (2.2,4) et le Lemme (2.2.5), le diagramme :

$$\Phi_1 \xleftarrow{\delta_{02}} \Phi_2 \xrightarrow{\delta_{[2]}} \Phi_1\times_{\Phi_0}\Phi_1$$

où $\delta_{[2]}$ est une 1-équivalence extérieure, induit le morphisme et l'isomorphisme suivants :

$$\pi_1(\Phi_1,h) \quad \longleftarrow \quad \pi_1(\Phi_2,\tau) \quad \underset{\sim}{\longrightarrow} \quad \pi_1(\Phi_1,f)\times_{\Phi(0,0)}\pi_1(\Phi_1,g)$$

Or, on a $\mathcal{C}_2(\Phi) = \Phi_1 = \mathcal{C}_1(\Phi_1)$ et $\mathcal{C}_1(\Phi_2) = \Phi_2$ alors les morphismes précédents coinsident avec :

$$\pi_2(\Phi,h) \quad \overset{\delta^1_{02}}{\longleftarrow} \quad Aut_{\Phi_2}(\tau) \quad \underset{\sim}{\overset{\delta^1_{[2]}}{\longrightarrow}} \quad \pi_2(\Phi,f)\times_{\Phi(0,0)}\pi_2(\Phi,g)$$

Considérons maintenant le morphisme $\mathcal{L}$ composé des morphismes :

$$\pi_2(\Phi,f) \quad \xrightarrow{\mathcal{I}} \quad \pi_2(\Phi,f)\times_{\Phi(0,0)}\pi_2(\Phi,g) \quad \underset{\sim}{\overset{\delta^1_{[2]}}{\longleftarrow}} \quad Aut_{\Phi_2}(\tau) \quad \xrightarrow{\delta^1_{02}} \quad \pi_2(\Phi,h)$$

où $\mathcal{I}$ est le morphisme qui à α fait correspondre le couple (α, I_g). Pour montrer que $\mathcal{L}$ est un isomorphisme on va l'expliciter. Soient α un élément de $\pi_2(\Phi,f)$ et $\sigma = L_2(f,g)$; on a alors le diagramme commutatif suivant :

$$\begin{array}{ccc} \delta^0_{[2]}(\sigma) & \underset{\sim}{\xrightarrow{a_2(f,g)}} & \delta^0_{[2]}(\tau) = (f,g) \\ {\scriptstyle \delta^1_{[2]}(\varepsilon_{\alpha,I_g})}\downarrow & & \downarrow{\scriptstyle (\alpha,I_g)} \\ \delta^0_{[2]}(\sigma) & \underset{a_2(f,g)}{\xrightarrow{\sim}} & \delta^0_{[2]}(\tau) = (f,g) \end{array}$$

Donc ils existent un isomorphisme $\mu : \sigma \longrightarrow \tau$ et un morphisme $\eta : \tau \longrightarrow \tau$ uniques tels que $\delta^1_{[2]}(\mu) = a_2(f,g)$ et $\delta^1_{[2]}(\eta) = (\alpha, I_g)$. On en déduit que : $\eta \cdot \mu = \mu \cdot \varepsilon_{\alpha,I_g}$, et par conséquent :

$$\mathcal{L}(\alpha) = \delta^1_{02}(\eta) = \delta^1_{02}(\mu) \cdot (I_g \star \alpha) \cdot [\delta^1_{02}(\mu)]^{-1}$$

Montrons maintenant que $\mathcal{L}$ est bijective.

(i) Injection : Soit (α,β) dans $\pi_2(\Phi,f)$ tel que $\mathcal{L}(\alpha) = \mathcal{L}(\beta)$. Comme Φ est un 2-groupoide, on suppose la donnée pour toute flèche k de Φ d'un isomorphisme de cohérences $\omega(k) : k^{-1}k \longrightarrow I_{s(k)}$ compatible avec les autres isomorphismes de cohérences de Φ. Pour simplifier les notaions posons : $\Omega = \omega(g) \star I_f$. On a les équivalences suivantes :

$$
\begin{aligned}
\mathcal{L}(\alpha)=\mathcal{L}(\beta) \quad &\Leftrightarrow \quad I_{g}\star\alpha = I_{g}\star\beta \\
&\Leftrightarrow \quad I_{g^{-1}}\star(I_{g}\star\alpha) = I_{g^{-1}}\star(I_{g}\star\beta) \\
\textit{Axiomes } (7),(6) \quad &\Leftrightarrow \quad I_{g^{-1}g}\star\alpha = I_{g^{-1}g}\star\beta \\
&\Leftrightarrow \quad \Omega\cdot(I_{g^{-1}g}\star\alpha)\cdot\Omega^{-1} = \Omega\cdot(I_{g^{-1}g}\star\beta)\cdot\Omega^{-1} \\
\textit{Axiome } (3) \quad &\Leftrightarrow \quad I^{2}_{s(g)}\star\alpha = I^{2}_{s(g)}\star\beta \\
s(g)=b(f) \quad &\Leftrightarrow \quad V(f)\cdot(I^{2}_{b(f)}\star\alpha)(V(f))^{-1} = V(f)\cdot(I^{2}_{b(f)}\star\alpha)(V(f))^{-1} \\
\textit{Axiome } (4) \quad &\Leftrightarrow \quad \alpha=\beta
\end{aligned}
$$

(ii) Surjection : Soit λ un élément de $\pi_{2}(\Phi,h)$, on va construire un l'élément α de $\pi_{2}(\Phi,f)$ tel que $\mathcal{L}(\alpha)=\lambda$. Pour simplifier un peu les notations posons :

$\beta=[\delta^{1}_{02}(\mu)]^{-1}\cdot\lambda\cdot\delta^{1}_{02}(\mu)$ et $A=A(f,g,g^{-1})$ l'isomorphisme d'associativité.

On alors les équivalences suivantes :

$$
\begin{aligned}
\mathcal{L}(\alpha)=\lambda \quad &\Leftrightarrow \quad I_{g}\star\alpha = \beta \\
&\Leftrightarrow \quad I_{g^{-1}}\star(I_{g}\star\alpha) = I_{g^{-1}}\star\beta \\
\textit{Axiomes } (7),(6) \quad &\Leftrightarrow \quad I_{g^{-1}g}\star\alpha = A^{-1}\cdot(I_{g^{-1}}\star\beta)\cdot A \\
\textit{Axiome } (3) \quad &\Leftrightarrow \quad I^{2}_{s(g)}\star\alpha = \Omega\cdot A^{-1}\cdot(I_{g^{-1}}\star\beta)\cdot A\cdot\Omega^{-1} \\
\textit{Axiome } (4) \quad &\Leftrightarrow \quad \alpha = V(f)\cdot\Omega\cdot A^{-1}\cdot(I_{g^{-1}}\star\beta)\cdot A\cdot\Omega^{-1}[V(f)]^{-1}
\end{aligned}
$$

On en déduit que $\mathcal{L}$ est surjective, donc bijecive. Comme $\mathcal{L}$ est composé de morphismes de groupes alors c'est un isomorphisme.

Corollaire (2.2.7) : *Soit Φ un 2-groupoide et f une flèche de Φ. Alors il existe un isomorphisme $\mathcal{L}:\pi_{2}(\Phi,I_{s(f)})\longrightarrow\pi_{2}(\Phi,f)$*

Preuve : Il suffit d'appliquer le Théorème (2.2.5) à l'élément $\tau=\delta^{0}_{001}(f)$ de $\Phi_{1,0}$.

Proposition (2.2.8) : *Soit Φ un n-groupoide , $n\geq 2$. Alors pour tout entier i tel que $2\leq i\leq n$ et tout objet f de $\mathcal{C}_{i}(\Phi)$, on a un isomorphisme naturel :*

$$\pi_{i}(\Phi,I_{s(f)}) \xrightarrow[\sim]{} \pi_{i}(\Phi,f)$$

Preuve : Considérons le 2-nerf $\mathcal{A}_i(\Phi) = T^{n-i}\Phi_{I_{i-2}}$, c'est un 2-groupoide pour lequel l'ensemble des flèches coinside avec l'ensemble d'objets du 1-nerf $\mathcal{C}_i(\Phi)$. Donc d'après le Corollaire (2.2.7) on a l'isomorphisme :

$$\pi_2(\mathcal{A}_i(\Phi), I_{s(f)}) \xrightarrow[\sim]{} \pi_2(\mathcal{A}_i(\Phi), f)$$

Or, $\mathcal{C}_2(\mathcal{A}_i(\Phi)) = \mathcal{C}_i(\Phi)$ alors $\pi_2(\mathcal{A}_i(\Phi), I_{s(f)}) = \pi_i(\Phi, I_{s(f)})$ et $\pi_2(\mathcal{A}_i(\Phi), f) = \pi_i(\Phi, f)$, ce qui montre la proposition.

Remarque : Si on considére $I_{b(f)}$ dans le corollaire (2.2.7) on obtient de même un isomorphisme $\pi_2(\Phi, I_{b(f)}) \longrightarrow \pi_2(\Phi, f)$ et par suite un isomorphisme

$$\varphi_f : \pi_2(\Phi, I_{s(f)}) \longrightarrow \pi_2(\Phi, I_{b(f)})$$

Lorsque $s(f) = b(f) = x$ l'automorphisme φ_f ne depend que de la classe de f dans $\pi_1(\Phi, x)$, donc φ est une action de $\pi_1(\Phi, x)$ sur $\pi_2(\Phi, x)$. On est en train de généraliser la proposition (2.2.8) à f un objet de $\mathcal{C}_j(\Phi)$ avec $2 \leq j < i \leq n$. Ce qui entrainera l'action de $\pi_1(\Phi, x)$ sur les $\pi_i(\Phi, x)$.

(2.3).— n-Groupoide de Poincaré associé à un espace topologique :

Rappel (2.3.1) : Soit Δ la catégorie simpliciale, parmi ses flèches on distingue la famille suivante qui jouera un rôle important dans la suite :

$$\begin{array}{ccc} [0] & \xrightarrow{\delta_i} & [m] \\ 0 & \longrightarrow & i \end{array} \qquad \begin{array}{ccc} [1] & \xrightarrow{\delta_{ij}} & [m] \\ 0,1 & \longrightarrow & i,j \end{array}$$

Le foncteur $\mathcal{R}$: Pour tout m entier positif on désigne par le m-simplexe fondamental l'ensemble :
$R^m = \{(t_0, \ldots, t_n)$ tel que $0 \leq t_i \leq 1$ et $\sum t_i = 1\}$. Et pour tout $i \in \{0, \ldots, m\}$, on définit les applications :

$$\begin{array}{c} R^{m-1} \xrightarrow{d_i^{"}} R^m \\ (t_0, .., t_{m-1}) \longrightarrow (t_0, .., 0, .., t_{m-1}) \end{array} \qquad \begin{array}{c} R^{m+1} \xrightarrow{\varepsilon_i^{"}} R^m \\ (t_0, .., t_{m+1}) \longrightarrow (t_0, .., t_i + t_{i+1}, .., t_{m+1}) \end{array}$$

On vient de construire un foncteur covariant $\mathcal{R} : \Delta \longrightarrow Ens$, qui envoie les applications δ_i et δ_{ij} vers les opérateurs côtés et sommets d'un m-simplexe suivants :

$$\{1\} \xrightarrow{\delta_i^{"}} R^m \qquad\qquad R \xrightarrow{\delta_{ij}^{"}} R^m$$

$$1 \longrightarrow (0,..,0,1,0,..,0) \qquad (t,s) \longrightarrow (0,..,0,t,0,..,0,s,0,..,0)$$

Le multi-complexe singulier d'un espace topologique :

Définition (2.3.2) : On appelle *multi-complexe singulier* (où ∞-*complexe simgulier*) d'un espace topologique X la famille $\mathcal{X} = (X^n)_{n\geq 1}$ de n-pré-nerfs X^n avec $n \geq 1$, définie de façon récurrente pour tout $n \geq 1$ et tout (M,m) objet de $\Delta^n \times \Delta$ par :

$$X^1(m) = Hom(R^m, X), \qquad X^1(0) = X$$

$$X^{n+1}(M,m) = \{f \in Hom(R^m, X^n(M)) \mid \forall x \in R^m, \forall i \in \{0,\ldots,m_n\} \quad \delta_i^{'}(f(x)) = f_i\}$$

Où $\delta_i^{'} : X_{M,m}^{n+1} \longrightarrow X_{M,0}^{n+1} = X_M^n$ est l' image de l'application δ_i par le foncteur X_M^{n+1}

et f_i est un élément de X_M^n indépendant de x. Dans la suite on notera les ensembles X_M^n par X_M.

On désigne par $\mathcal{R}_n : \Delta^n \longrightarrow Ens$ le foncteur covariant défini pour tout objet $(m_1,\ldots,m_n)$ de Δ^n, pour tout $k \in \{1,\ldots,n\}$ et tout $i \in \{0,\ldots,m_k\}$ par :

$$\mathcal{R}_n(m_1,\ldots,m_n) = R^{m_n} \times .. \times R^{m_1}$$

$$\mathcal{R}_n(d_i^k) = I \times ..d_i^{"}.. \times I \quad et \quad \mathcal{R}_n(\varepsilon_i^k) = I \times ..\varepsilon_i^{"}.. \times I$$

où les applications $d_i^{"}$ et $\varepsilon_i^{"}$ sont placées à la k-ème position. On définit $\mathcal{H}_n$ par le foncteur contravariant $Hom(\mathcal{R}_n, X)$, composé du foncteur $Hom(\ ,X)$ et $\mathcal{R}_n$.

Soit X un espace topologique. On désigne par $\mathcal{L}$ la famille des n-pré-nerfs $\mathcal{L}_X^n$ avec $n \geq 1$ définie pour tout (M,m) objet de $\Delta^n \times \Delta$ par :

$$\mathcal{L}_X^m = Hom(R^m, X) \quad et \quad \mathcal{L}_X^{n+1}(M,m) = Hom(R^m, \mathcal{L}_X^n(M))$$

Remarque : $X_X^{n+1}(M,m)$ est un sous ensemble de $\mathcal{L}_X^{n+1}(M,m)$, plus pécisément X_X^{n+1} est un sous foncteur de $\mathcal{L}_X^{n+1}$.

Lemme (2.3.3) : *Soit* $\alpha : \mathcal{H}_n \longrightarrow \mathcal{L}_X^n$ *la morphisme définie pour tout* $M = (m_1,\ldots,m_n)$ *objet de* Δ^n *par :*

$$\begin{array}{ccc} \mathcal{H}_n(M) & \xrightarrow{\alpha_M} & \mathcal{L}^n_X(M) \\ f & \longrightarrow & \alpha_M(f) \end{array}$$

tel que $\forall(x_n,\ldots,x_1) \in \mathcal{R}_n(M)$ *on a* $\alpha_M(f)(x_n)\ldots(x_1) = f(x_n,\ldots,x_1)$. *Alors* α *est un isomorphisme naturelle.*

Preuve : α admet un inverse naturel β défini par : $\beta_M(g)(x_n,\ldots,x_1) = g(x_n)\ldots(x_1)$.

Proposition (2.3.4) : *Soit* $M = (m_1,\ldots,m_n)$ *un objet de* Δ^n. *Alors tout élément de* X_M *correspend de façon biunivoque à un élément* f *de* $\mathcal{H}_n(M)$ *tel que :*

$$\forall k \in \{0,\ldots,n-1\}, \qquad \forall i \in \{0,\ldots,m_{n-k}\}$$

$$et \quad \forall(x_n,..,\hat{x}_{n-k},..,x_1) \in \mathcal{R}_{n-1}(m_1,..,\hat{m}_{n-k},..,m_n) \quad on\ \ a$$

$$f(x_n,..,x_{n-k+1},\delta_i^{"},x_{n-k-1},..,x_1) = f_i(x_{n-k-1},..,x_1)$$

où f_i *est un élément de* $X_{m_1,\ldots,m_{n-k-1}}$ *indépendant des variables* $x_n,..,x_{n-k+1}$.
Si $m_{n-k} = 0$ *alors* $X_M = X_{m_1,\ldots,m_{n-k-1}}$.

Preuve : D'après la remarque pécédente un élément f de $X^{n+1}_X(M,m)$ est en particulier un élément de $\mathcal{L}^{n+1}_X(M,m)$ qui s'identifie par Lemme (2.3.3) à un élément g de $\mathcal{H}_n(M)$ tel que $g(x_n,\ldots,x_1) = f(x_n)\ldots(x_1)$ donc $\forall k \in \{0,\ldots,n-1\}$ et $\forall i \in \{0,\ldots,m_{n-k}\}$:

$$\begin{array}{rcl} f(x_n)..(x_{n-k+1})(\delta_i^{"})(x_{n-k-1})..(x_1) & = & f(x_n)..(\delta_0^{"})(\delta_i^{"})(x_{n-k-1})..(x_1) \\ & \ldots & \\ & = & f(\delta_0^{"})..(\delta_0^{"})(\delta_i^{"})(x_{n-k-1})..(x_1) \end{array}$$

ce qui montre que g ne dépend que des variables $x_n,..,x_{n-k+1}$. Lorsque $m_{n-k} = 0$, la seule composante possible à la (n-k)-ème coordonnée est $\delta_0^{"}$ donc $f = f_0$.

Equivalence d'homotopie dans X_M **:**

Soient f, g deux éléments de X_M avec $M = (m_1,\ldots,m_s)$, on dit que f et g sont homotopes et note $\overline{f} = \overline{g}$ si et seulement si il existe $\gamma \in X_{M,1}$ tel que $\delta_0^{'}(\gamma) = f$ et $\delta_1^{'}(\gamma) = g$. L'homotopie dans X_M est une relation d'équivalence , et on désignera par $\overline{(X_M)}$ l'ensemble de ses classes d'équivalences.

Remarques : D'après la proposition (2.3.4) on peut dire que l'ensemble les classes d'homotopies $\overline{(X_M)}$ de X_M s'identifie à $X_{m_1,\ldots,m_s}$ lorsqu'il existe un $s \in \{1,\ldots,m_n\}$ tel que $m_s = 0$.

Les applications $\mathcal{H}(d_i^k)$ et $\mathcal{H}(\varepsilon_i^k)$ correspondent à des changements du domaine de la k-ème variable, donc d'après la proposition, leur restrictions envoient les élément de $X_{_M}$ dans $X_{_{M'}}$ où M et $M^{'}$ sont respectivement but et sourse des d_i^k et ε_i^k.

Soit X un espace topologique, on désigne par $\Phi^n : \Delta^n \longrightarrow Ens$ le n-pré-nerf défini pour tout objet M de Δ^n par :

$$\Phi^n(M) = \overline{(X_{_M})}, \qquad \Phi^n(d_i^k) = \overline{X^n(d_i^k)} \quad \text{et} \quad \Phi^n(\varepsilon_i^k) = \overline{X^n(\varepsilon_i^k)}$$

Théorème (2.3.5) : *Pour tout $n \geq 1$, Φ^n est un n-nerf et pour tout $k \in \{1, \ldots, n-1\}$, $T^k(\Phi^n) = \Phi^{n-k}$.*

Preuve : Montrons d'abord que Φ^n est n-tronquable. Il suffit pour cela de montrer que Φ est 1-tronquable et $T(\Phi^n) = \Phi^{n-1}$. Soit (M, m) un objet de $\Delta^{n-1} \times \Delta$, montrons que l'application suivante est bijective :

$$\begin{array}{ccc} \overline{X_{_{M,m}}} & \xrightarrow{\delta^M_{[m]}} & \overline{X_{_{M,1}}} \times_{_{X_M}} \ldots \times_{_{X_M}} \overline{X_{_{M,1}}} \\ \overline{f} & \longrightarrow & (\overline{\delta'_{_{01}}(f)}, \ldots, \overline{\delta'_{_{m-1,m}}(f)}) \end{array}$$

(1) Injection : Soient f et g dans $X_{_{M,m}}$ tels que $\delta^M_{[m]}(\overline{f}) = \delta^M_{[m]}(\overline{f})$, alors pour tout $i \in \{0, \ldots, n-1\}$ il existe une homotopie $\lambda_{i,i+1}$ entre $\delta^{'}_{_{01}}(f)$ et $\delta^{'}_{_{01}}(g)$. les applications :

$$f : \delta^{"}_0(\{1\}) \longrightarrow X_{_M} \ , \ g : \delta^{"}_0(\{1\}) \longrightarrow X_{_M} \quad \text{et} \quad \lambda_{i,i+1} : R \times \delta^{"}_{i,i+1}(R)$$

vérifient la condition de recollement des applications continues, donc on obtient une apllication $F : (\delta^{"}_0(\{1\}) \times R^m) \cup (\delta^{"}_1(\{1\}) \times R^m) \cup (\bigcup_{i=0}^{m-1} R \times \delta_{i,i+1}(R)) \longrightarrow X_{_M}$.
Le domaine de F est une déformation de $R \times R^m$, donc ce dérnier admet un retracte r sur le premier. L'application $\lambda = Fr$ est alors une homotopie entre f et g. En effet pour tout $x \in R^m$ on a :

$$\delta^{'}_{_0}(\lambda)(x) = \lambda(\delta^{"}_0(\{1\}), x) \quad = \quad F(\delta^{"}_0(\{1\}), x) = f(x)$$

$$\delta^{'}_{_1}(\lambda)(x) = \lambda(\delta^{"}_1(\{1\}), x) \quad = \quad F(\delta^{"}_1(\{1\}), x) = g(x)$$

En plus λ est bien dans $X_{_{M,m,1}}$, car pour tout $t \in R$ et tout $i \in \{0, \ldots, m-1\}$
$\delta^{'}_{_i}(\lambda(t)) = \lambda(t, \delta^{"}_1(\{1\}) = F(t, \delta^{"}_1(\{1\}) = \lambda_{i,i+1}(t, \delta^{"}_1(\{1\}) = C_i$ ne dépend pas de t.

(2) Surjection : Soit $(\overline{\lambda_0}, \ldots, \overline{\lambda_{m-1}}) \in \overline{X_{_{M,1}}} \times_{_{X_M}}, \ldots, \times_{_{X_M}} \overline{X_{_{M,1}}}$. Les applications $\lambda_i : \delta^{"}_{i,i+1}(R^m) \longrightarrow X_{_M}$ où $i \in \{0, \ldots, m-1\}$ vérifient la condition de recollement en une application globale $\lambda_{_{[m]}} : \bigcup_{i=0}^{m-1} \delta^{"}_{i,i+1}(R) \longrightarrow X_{_M}$.
Le domaine de $\lambda_{_{[m]}}$ est la réunion de m côtés du simplexe R^m, alors il existe un retracte r de R^m sur cette réunion, et par conséquent le composé $\lambda = \lambda_{_{[m]}} r$ est un

m-simplexes simguliers tel que : $\delta_{[m]}(\overline{\lambda}) = (\overline{\lambda_0}, \ldots, \overline{\lambda_{m-1}})$. Pour tout $t \in R$ et tout $i \in \{0, \ldots, m-1\}$, on a :

$$\delta^{"}_{i,i+1}(\lambda)(t) = \lambda(\delta^{"}_{i,i+1}(t)) = \delta_{[m]}(\delta^{"}_{i,i+1}(t)) = \lambda_{i,i+1}(t)$$

De même on peut voir facilement que $\lambda \in X_{M,m}$.

Montrons maintenant que $T(\Phi^n) = \Phi^{n-1}$. Soient $M = (m_1, \ldots, m_{n-1})$ un objet de Δ^{n-1} et f , g deux élément de X_M. Alors f et g sont 1-équivalents si et seulement si il existe $\overline{\lambda}$ dans $\overline{X_{M,1}}$ tel que $\delta^{'}_0(\lambda) = f$ et $\delta^{'}_1(\lambda) = g$, ce qui est équivalent de dire que f et g sont homotopes, par conséquent on a :

$$T(\Phi^n)(M) = [\Phi^n(M,0)]^{\sim} = [\overline{X_{M,0}}]^{\sim} = [X_M]^{\sim} = \overline{X_M} = \Phi^{n-1}(M)$$

Ce qu'on vient de montrer pour Φ^n est aussi valable pour Φ^{n-1}. On en déduit alors que Φ^n est n-tronquable.

Remarque : La notion de k-équivalence intérieure dans le n-pré-nerf Φ^n est identique à celle de l'homotopie dans Φ^{n-k}, pour tout $k \in \{0, \ldots, n-1\}$.

Il nous reste à montrer que pour tout $s \in \{0, \ldots, n-1\}$ et tout objet (M, m) de $\Delta^{n-s} \times \Delta$ le morphisme :

$$\delta^M_{[m]} : \Phi^n_{M,m} \longrightarrow \Phi^n_{M,1} \times_{\Phi^n_{M,0}} \ldots \times_{\Phi^n_{M,0}} \Phi^n_{M,1}$$

est une (n-s-1)-équivalence extérieure. Soit h tel que $0 \leq h < n-s-1$, on pose :

$$\begin{array}{rclcrcl} n_s & = & n-s-1 & & R^I & = & R \times \ldots \times R \\ I & = & I_{n_s-h-1} & & X_{M,m,I} & = & \Phi^n(M,m,I) \\ \delta^M_{[m]}(n_s) & = & \delta^M_{[m]}(I) & & X_{M,m,I,1} & = & \Phi^n(M,m,I,1) \end{array}$$

Soient u , v , w comme dans le diagramme suivant :

$$\begin{array}{ccc} u, v \in X_{M,m,I} & \xrightarrow{\delta^M_{[m]}(n_s)} & \Pi_{X_M} X_{M,1,I} \\ \delta^{'}_0, \delta^{'}_1 \uparrow & & \uparrow \delta^{'}_0, \delta^{'}_1 \\ X_{M,m,I,1} & \xrightarrow[\delta^M_{[m]}(n_s+1)]{} & \Pi_{X_M} X_{M,1,I,1} \ni w \end{array}$$

Les applications suivantes :

$$u : \delta_0^{"}(\{1\}) \times R^I \times R^m \longrightarrow X_{_M}$$
$$v : \delta_1^{"}(\{1\}) \times R^I \times R^m \longrightarrow X_{_M}$$
$$w_{i,i+1} : R \times R^I \times \delta_{i,i+1}^{"}(R) \longrightarrow X_{_M}$$

vérifient la condition de recollement, donc on obtient une application continue :

$$F : (\delta_0^{"}(R) \times R^m) \cup (\delta_1^{"}(R) \times R^m) \cup (\bigcup_{i=0}^{m-1} R \times \delta_{i,i+1}^{"}(R)) \longrightarrow X_{_M}$$

Soit r est un retracte de $R \times R^I \times R^m$ sur le domaine de F, le composé $x_r = Fr$ est un élément de $X_{_{M,m,I,1}}$ dont l'image par $\delta_{_{[m]}}^{M}(n_{_s}+1)$ est homotope à w. L'appartenance de x_r à $X_{_{M,m,I,1}}$ est due à sa dépendance de u, v et w. D'autre part si $(t, z, t^{'})$ est un élément de $R \times R^I \times \delta_{i,i+1}^{"}(R)$, alors :

$$\delta_{i,i+1}^{'}(x_r)(t, z, t^{'}) = x_r(t, z, \delta_{i,i+1}^{'}(t^{'})) = F(t, z, \delta_{i,i+1}^{'}(t^{'})) = w_{i,i+1}(t, z, t^{'})$$

ce qui montre que $\delta_{_{[m]}}^{M}(n_s + 1)(x_r) = w$. Soit y dans $X_{_{M,m,I,1}}$ tel que : $\delta_0^{'}(y) = u$, $\delta_1^{'}(y) = v$ et pour tout $i \in \{0, \ldots, m-1\}$, il existe une homotopie $\lambda_{i,i+1}$ entre $\delta_{i,i+1}^{'}(y)$ et $\delta_{i,i+1}^{'}(x_r)$. De même en recollant les applications :

$$\lambda_{i,i+1} : R \times R \times R^I \times \delta_{i,i+1}^{"}(R) \longrightarrow X_{_M}$$

on obtient une application globale

$$L : \cup(\bigcup_{i=0}^{m-1} R \times R \times R^I \times \delta_{i,i+1}^{"}(R)) \longrightarrow X_{_M}$$

tel que le composé $\lambda = Lr$ de L avec un retracte r de $R \times R \times R^I \times R^m$ sur le domaine de L soit une homotopie entre y et x_r. Lorsque $h = n - s - 1$, la construction de x_r se fait de la même façon en considérant un représentant de la classe w, et on se ramène aux cas précédants en utilisant la transitivité de l'homotopie.

Conclusion : Pour chaque entier naturel non nul n et chaque espace topologique X nous venant de lui faire associer un n-nerf.

Théorème (2.3.6) : *Soit X un espace topologique, alors pour tout entier naturel non nul n, le n-nerf Φ_X^n est un n-groupoide, qu'on appellera n-groupoide de Poincare de X et qu'on notera par $\Pi_n(X)$.*

Preuve : On désigne par Φ le n-nerf Φ^n_{X}, et considérons la catégorie $\mathcal{C}_h(\Phi)$. Il est claire qu'on a : $\mathcal{C}_{h-1} = X_N$ et $\mathcal{C}_h = \overline{X_{N,1}}$. Soit l'application :

$$\begin{array}{ccc} \overline{X_{N,1}} & \xrightarrow{Inv} & \overline{X_{N,1}} \\ \overline{f} & \longrightarrow & \overline{f'} \end{array} \quad \text{où} \quad \begin{array}{ccc} R & \xrightarrow{f'} & X_N \\ (s,t) & \longrightarrow & f(t,s) \end{array}$$

Montorns que l'application Inv est celle qui fait associer à chaque flèche de $\mathcal{C}_h(\Phi)$ son inverse par la loi de composition des flèches, pour cela il faut montrer qu'on a la commutativité des deux diagrammes suivants :

$$\begin{array}{ccc} \overline{X_{N,1}} \times_{X_N} \overline{X_{N,1}} & \xrightarrow{\mu} & \overline{X_{N,1}} \\ \downarrow{\scriptstyle I_{\overline{X_{N,1}}} \times Inv} & & \downarrow{\scriptstyle I} \\ \overline{X_{N,1}} & \xrightarrow[s]{} & X_N \end{array} \qquad \begin{array}{ccc} \overline{X_{N,1}} \times_{X_N} \overline{X_{N,1}} & \xrightarrow{\mu} & \overline{X_{N,1}} \\ \downarrow{\scriptstyle Inv \times I_{\overline{X_{N,1}}}} & & \downarrow{\scriptstyle I} \\ \overline{X_{N,1}} & \xrightarrow[b]{} & X_N \end{array}$$

On sait, d'après (2) de la démonstration du Théorème (2.3.5), que la donnée d'un retracte r de R^2 sur ses deux côtés $\delta^{"}_{01}(R) \cup \delta^{"}_{12}(R)$ permet la construction pour tout (f,g) dans $X_{N,1} \times X_{N,1}$ d'un représentant l de la classe qui correspond au composé de $\overline{f}$ et $\overline{g}$. Si on désigne par F l'application de $\delta^{"}_{01}(R) \cup \delta^{"}_{12}(R)$ dans X qui est définie comme le recollement de f et g, alors on peut prendre $l = \delta^{"}_{02}(F \circ r)$ suivant le diagramme :

$$\begin{array}{ccc} R & \xrightarrow{l} & X_N \\ \downarrow{\scriptstyle \delta^{"}_{02}} & & \uparrow{\scriptstyle F} \\ R^2 & \xrightarrow[r]{} & \delta^{"}_{01}(R) \cup \delta^{"}_{12}(R) \end{array}$$

Constuction d'un retracte : L'ensemble R^2 est une surface plane de l'espace euclidien réel ayant $\vec{n} = (1,1,1)$ comme vecteur normale. Soient les points $B = (0,1,0)$ et $D = (\frac{1}{2}, 0, \frac{1}{2})$ de R^2. Pour tout point $M = (x,y,z)$ de R^2 on considère le plan $\mathcal{P}_M$ de l'espace euclidien passant par M et de base $(\vec{n}, \overrightarrow{BD})$, son équation est $X - Z = -z + x$. On défini le retracte r par :

$$\begin{array}{ccc} R^2 & \xrightarrow{\quad r \quad} & \delta_{01}^{"}(R) \cup \delta_{12}^{"}(R) \\ M & \longrightarrow & \delta_{12}^{"}(R) \cap \mathcal{P}_{_M} \quad si\ 0 \leq x \leq \frac{1-y}{2} \\ & & \delta_{01}^{"}(R) \cap \mathcal{P}_{_M} \quad si\ \frac{1-y}{2} \leq x \leq 1-y \end{array}$$

Qui est donné explicitement par :

$$\begin{array}{ccc} R^2 & \xrightarrow{\quad r \quad} & \delta_{01}^{"}(R) \cup \delta_{12}^{"}(R) \\ M & \longrightarrow & (0, 1+x-z, -x+z) \quad si\ 0 \leq x \leq \frac{1-y}{2} \\ & & (x-z, 1-x+z, 0) \quad si\ \frac{1-y}{2} \leq x \leq 1-y \end{array}$$

Montrons maintenant qu'on a :

$$(1)\ \mu(\overline{f}, Inv(\overline{f})) = \overline{Id_{_{s(f)}}} \qquad \text{et} \qquad (2)\ \mu(\overline{g}, Inv(\overline{g})) = \overline{Id_{_{b(g)}}}$$

(1) Soit l_1 le représentant correspondant à la classe du composé de $\overline{f}$ et $Inv(\overline{f})$ défini par :

$$\begin{array}{ccc} R & \xrightarrow{\quad l_1 \quad} & X_{_N} \\ (x,z) & \longrightarrow & f(1-2x, 2x) \quad si\ 0 \leq x \leq \frac{1}{2} \\ & & f(2x-1, 2-2x) \quad si\ \frac{1}{2} \leq x \leq 1 \end{array}$$

L'homotopie $\Gamma_1 : R \times R \longrightarrow X_{_N}$ définie par

$$\Gamma_1\big[(a,b),(x,y)\big] = \begin{cases} f(1,0) & si\ 0 \leq x \leq \frac{b}{2} \\ f(1-2x+b, 2x-b) & si\ \frac{b}{2} \leq x \leq \frac{1}{2} \\ f(2x+b-1, 2-2x-b) & si\ \frac{1}{2} \leq x \leq 1-\frac{b}{2} \\ f(1,0) & si\ 1-\frac{b}{2} \leq x \leq 1 \end{cases}$$

est tels que

$$\begin{array}{rcl} \delta_0^{'}(\Gamma_1)(x,y) & = & \Gamma_1\big[(1,0),(x,y)\big] = l_{1(x,y)} \\ \delta_1^{'}(\Gamma_1)(x,y) & = & \Gamma_1\big[(0,1),(x,y)\big] = f(1,0) = Id_{_{s(f)}}(x,y) \end{array}$$

Il est claire de voir que Γ_1 est dans $X_{_{N,1}}$, et par conséquent $\overline{l_1} = \overline{Id_{_{s(f)}}}$.

(2) Une homotopie du même genre montrera qu'on a aussi $\mu(\overline{g}, Inv(\overline{g})) = \overline{Id_{_{b(g)}}}$. On en déduit alors que Φ_X^n est un n-groupoide.

Fonctorialité de $\Pi_{_n}$:

Soit n un entier naturelle non nul fixé et soit $f : X \longrightarrow Y$ une flèche dans la catégorie $\mathcal{T}op$. L'application f induit un morphisme

$\Pi_{_n}(f) : \Pi_{_n}(X) \longrightarrow \Pi_{_n}(Y)$ définie comme suite :

$$\begin{array}{ccc} \Pi_{_n}(X)(M) & \xrightarrow{\Pi_{_n}(f)(M)} & \Pi_{_n}(Y)(M) \\ \overline{\lambda} & \longrightarrow & \overline{f \circ \lambda} \end{array} \qquad \begin{array}{ccc} R^{^M} & \xrightarrow{\lambda} & X \\ {\scriptstyle Id}\downarrow & & \downarrow{\scriptstyle f} \\ R^{^M} & \xrightarrow[f\circ\lambda]{} & Y \end{array}$$

avec $\quad M = (m_1, \ldots, m_n) \quad$ et $\quad R^{^M} = R^{m_n} \times \ldots \times R^{m_1}$

La définition de $\Pi_{_n}(f)$ est bien justifiée car pour tout $(x_1, \ldots, x_n)$ dans $R^{^M}$ on a :

$$\begin{aligned} f \circ \lambda(x_{_n}, .., x_{_{k+1}}, \delta_i^{"}, x_{_k}, .., x_1) &= f\big[\lambda(x_{_n}, .., x_{_{k+1}}, \delta_i^{"}, x_{_k}, .., x_1)\big] \\ &= f\big[\lambda_i(x_{_k}, .., x_1)\big] \quad 0 \leq i \leq m_{_k} \end{aligned}$$

ce qui montre que $f \circ \lambda$ appartient à $Y_{_M}$. Soit $\sigma : M \longrightarrow N$ une flèche de Δ^n, on a

$$R^{^M} \xrightarrow{\mathcal{R}(\sigma)} R^{^N} \xrightarrow{\lambda} X \xrightarrow{f} Y$$

Montrons qu'on a la commutativité du diagramme suivant :

$$\begin{array}{ccc} \Pi_{_n}(X)(M) & \xrightarrow{\Pi_{_n}(f)(M)} & \Pi_{_n}(Y)(M) \\ {\scriptstyle \Pi_{_n}(X)(\sigma)}\uparrow & & \uparrow{\scriptstyle \Pi_{_n}(Y)(\sigma)} \\ \Pi_{_n}(X)(N) & \xrightarrow[\Pi_{_n}(f)(N)]{} & \Pi_{_n}(Y)(N) \end{array}$$

Soit $\overline{\lambda} \in \Pi_{_n}(X)(N)$

$$\begin{aligned}
\Pi_n(f)(M).\Pi_n(X)(\sigma)(\overline{\lambda}) &= \Pi_n(f)(M)\big(\overline{\lambda \circ \mathcal{R}(\sigma)}\big) \\
&= \overline{f \circ \big(\lambda \circ \mathcal{R}(\sigma)\big)} \\
(\textit{associtivite de } \circ) \qquad &= \overline{\big(f \circ \lambda\big) \circ \mathcal{R}(\sigma)} \\
&= \Pi_n(Y)(\sigma)(\overline{f \circ \lambda}) \\
&= \Pi_n(Y)(\sigma).\Pi_n(f)(N)(\overline{\lambda})
\end{aligned}$$

On en déduit qu'on a un foncteur covariant $\Pi_n(\ )$ de la catégorie $\mathcal{T}op$ vers la catégorie n-Gr , des n-groupoides et transformations naturelles, qui à un espace topologique X fait correspondre son n-groupoide de Poincaré $\Pi_n(X)$.

(2.4).— Groupes d'homotopie de $\Pi_n(X)$

Proposition (2.4.1) : *Soient (Z, z_0) un espace topologique, $n \geq 1$ et $N = I_n$. Alors ils existent des bijections entre les ensembles suivants :*

(a) $\big[(R^N, \delta R^N); (Z, z_0)\big] \xrightarrow[\sim]{\alpha} \big[(R^N/_{\delta R^N}, w_0); (Z, z_0)\big] \quad w_0 = p(x)$ *pour* $x \in \delta R^N$

(b) $\big[(R^N/_{\delta R^N}, w_0); (Z, z_0)\big] \xrightarrow[\sim]{\beta} \big[(S^n, s_0); (Z, z_0)\big] \quad s_0 = (1, 0, \ldots, 0)$

Preuve : (a) On définit l'application α comme par : $\alpha(\bar{u}) = \bar{u'}$ où $u' : R^N/_{\delta R^N} \longrightarrow Z$ est l'unique application qui rend commutatif le diagramme suivant :

$$\begin{array}{ccc}
R^N & \xrightarrow{\quad u \quad} & Z \\
{\scriptstyle p}\big\downarrow & & \| \\
R^N/_{\delta R^N} & \xrightarrow[u']{} & Z
\end{array}$$

La continuité de u et de p entrainent celle de u'. Soit Γ une homotopie relative entre deux éléments u et v de $\big[(R^N, \delta R^N); (Z, z_0)\big]$ alors elle induit une homotopie Γ' qui rend commutatif le diagramme :

$$\begin{array}{ccc}
I \times R^N & \xrightarrow{\quad \Gamma \quad} & Z \\
{\scriptstyle Id \times p}\big\downarrow & & \| \\
I \times R^N/_{\delta R^N} & \xrightarrow[\Gamma']{} & Z
\end{array}$$

De même la continuité de Γ , $Id \times p$ et la relation $I \times R^N/_{\delta R^N} = I \times R^N/_{I \times \delta R^N}$ entrainent celle de Γ'. Montrons maintenant que α est une bijection.
Surjection : Soit $\bar{u'}$ dans $\left[(R^N/_{\delta R^N}, w_0); (Z, z_0)\right]$. Le composé $u = u' \circ p$ est une application continue telle que $\alpha(\bar{u}) = \bar{u'}$, donc α est surjective.
Injection : Soient $\bar{u}$ et $\bar{v}$ deux élément de $\left[(R^N, \delta R^N); (Z, z_0)\right]$ tels que $\alpha(\bar{u}) = \alpha(\bar{v})$. Soient $\bar{u'} = \alpha(\bar{u})$, $\bar{v'} = \alpha(\bar{v})$ et Γ' une homotopie relative entre u' et v' alors $\Gamma = \Gamma' \circ (I \times p)$ est une homotopie relative entre u et v, ce qui montre que $\bar{u} = \bar{v}$. Finalement α est une bijection.

(b) La donnée d'un homéomorphisme $\varphi : (S^n, s_0) \longrightarrow (R^N/_{\delta R^N}, w_0)$ nous permet de construire une bijection β définie de la façon suivante :

$$\begin{array}{ccc} \left[(R^N/_{\delta R^N}, w_0); (Z, z_0)\right] & \xrightarrow{\quad\beta\quad} & \left[(S^n, s_0); (Z, z_0)\right] \\ \bar{f} & \longrightarrow & \overline{f \circ \varphi} \end{array}$$

Si Γ est une homotopie entre deux élements f et g de $\left[(R^N/_{\delta R^N}, w_0); (Z, z_0)\right]$ alors $\Gamma \circ (Id \times \varphi)$ est une homotopie entre $f \circ \varphi$ et $g \circ \varphi$. Ce qui montre que $\beta(\bar{f}) = \beta(\bar{g})$. D'autre part l'application β admet un inverse β' défini par :

$\beta'(\bar{u}) = \overline{u \circ \varphi^{-1}}$, donc β est une bijection.

Proposition (2.4.2) : *Soient (Z, z_0) un espace topologique, $n \geq 1$ et $N = I_{(i-1)}$ avec $1 \leq i \leq n$. Alors on a :*

(a) $\left[(R, \delta R); (Z_N, Id_N(z_0))\right]$ *est en bijection avec* $\left[(R^{N,1}, \delta R^{N,1}); (Z, z_0)\right]$

(b) $\pi_i\big(\Pi_n(Z), z_0\big) = \left[(R^{N,1}, \delta R^{N,1}); (Z, z_0)\right]$

Preuve : (a) On vérifiera sans peine que l'application σ définie comme suite :

$$\begin{array}{ccc} \left[(R, \delta R); (Z_N, Id_N(z_0))\right] & \xrightarrow{\quad\sigma\quad} & \left[(R^{N,1}, \delta R^{N,1}); (Z, z_0)\right] \\ \bar{f} & \longrightarrow & \bar{F} \end{array}$$

où F est définie par $F(t_1, .., t_i) = f(t_1)...(t_i)$ est une bijection.

(b) On sait que :

$$\pi_i\big(\Pi_n(Z), z_0\big) = \left\{\bar{f} \in \overline{Z_{N,1}} \mid \forall (t, x) \in (\delta R) \times R^N \;\; f(t, x) = Id_N(z_0) \in Z_N\right\}$$

$$\text{Or,} \qquad \delta(R^{N,1}) = (\delta R) \times R^N \bigcup R \times (\delta R^N)$$

et $\quad \forall (t,x) \in R \times (\delta R^{N}) \quad$ on a $\quad f(t,x) = f(\delta_0^{'}, x) = f(\delta_1^{'}, x) = Id_N(z_0)$

d'où $\quad \forall (t,x) \in \delta R^{N,1} \quad$ on a $\quad f(t,x) = Id_N(z_0).$

On en déduit alors que $\pi_i\big(\Pi_n(Z), z_0\big) = \big[(R^{N,1}, \delta R^{N,1}); (Z, z_0)\big]$

Considérant l'application suivante :

$$\begin{array}{ccc} \pi_i\big(\Pi_n(X), x_0\big) & \xrightarrow{\quad\gamma\quad} & \pi_1\big(X_N, Id_N(x_0)\big) \\ \bar{f} & \longrightarrow & \bar{g} \end{array}$$

où $\quad g \ : \ \big(I, \delta I\big) \longrightarrow \big(X_N, Id_N(x_0)\big)$ définie par $\quad g(t) = f(1-t, t)$

γ est bien définie. En effet soient $\bar{f}$ et $\bar{f}'$ sont deux éléments de $\pi_i\big(\Pi_n(X), x_0\big)$ tels que $\bar{f} = \bar{f}'$. Soit Γ une homotopie entre f et $f^{'}$ telle que $\Gamma(\delta_0^{"}, x) = f(x)$, $\Gamma(\delta_1^{"}, x) = f^{'}(x)$ et $\Gamma(x, \delta_i^{"}) = f(\delta_0^{"}) = f^{'}(\delta_0^{"}) = Id_N(x_0)$.
Alors on peut définir de façon naturelle une homotopie entre g et $g^{'}$ par

$$\begin{array}{ccc} I \times I & \xrightarrow{\quad\Gamma^{'}\quad} & X_N \\ (s,t) & \longrightarrow & \Gamma\big((1-s,s),(1-t,t)\big) \end{array}$$

La continuité de Γ entraine celle de $\Gamma^{'}$ ce qui montre que $\bar{g} = \bar{g^{'}}$ et par conséquent γ est bien définie.

Proposition (2.4.3) : *L'application γ est un isomorphisme de groupes.*

Preuve : Montrons que γ est une bijection.
(a) Soient $\bar{f}$ et $\bar{f}'$ deux éléments de $\pi_i\big(\Pi_n(X), x_0\big)$ tels que $\gamma(f) = \gamma(f^{'})$. Soit $\Gamma^{'}$ une homotopie entre g et $g^{'}$ où $\bar{g} = \gamma(f)$ et $\bar{g^{'}} = \gamma^{'}(f^{'})$ telle que $\Gamma^{'}(0,x) = g(x)$, $\Gamma^{'}(1,x) = g^{'}(x)$ et $\Gamma^{'}(x,i) = g(i) = g^{'}(i) = Id_N(x_0)$ pour $i = 0, 1$.
Alors on peut définir de façon naturelle une homotopie Γ entre f et $f^{'}$ par

$$\begin{array}{ccc} R \times R & \xrightarrow{\quad\Gamma\quad} & X_N \\ \big((s,s^{'}),(t,t^{'})\big) & \longrightarrow & \Gamma^{'}(s^{'},t^{'}) \end{array}$$

La continuité de $\Gamma^{'}$ entraine celle de Γ ce qui montre que $\bar{g} = \bar{g^{'}}$ et par conséquent γ est injective.
(b) Soit g un élément de $\pi_i\big(X_N, Id_N(x_0)\big)$, donc l'application continue suivante :

$$\begin{array}{ccc} (R,\delta R) & \xrightarrow{\quad f \quad} & (X_{_N}, Id_{_N}(x_{_0}) \\ (s,t) & \longrightarrow & g(t) \end{array}$$

et telle que $\gamma(\bar{f}) = \bar{g}$, ce qui entraine que γ est surjective.

Montrons maintenant que γ est un morphisme de groupes, ce qui revient à montrer que pour tout $\bar{f}$, $\bar{f}'$ dans $\pi_{_i}\big(\Pi_{_n}(X), x_{_0}\big)$ on a : $\gamma(\bar{f}' \bullet \bar{f}) = \bar{g}' \cdot \bar{g}$.

On sait que les compositions $\bullet$ et $\cdot$ sont définies par $\bar{f}' \bullet \bar{f} = \bar{F}$ et $\bar{g}' \cdot \bar{g} = \bar{G}$ où

$$(R,\delta R) \xrightarrow{\quad F \quad} (X_{_N}, Id_{_N}(x_{_0})) \qquad \text{et} \qquad (I,\delta I) \xrightarrow{\quad G \quad} (X_{_N}, Id_{_N}(x_{_0}))$$

sont définies par :

$$F(x,y) = \begin{cases} f'(2x, 1-2x) & si\ 0 \le x \le \frac{1}{2} \\ \\ f(2x-1, 2-2x) & si\ \frac{1}{2} \le x \le 1 \end{cases}$$

$$G(t) = \begin{cases} g(2t) & si\ 0 \le t \le \frac{1}{2} \\ \\ g'(2t-1) & si\ \frac{1}{2} \le t \le 1 \end{cases}$$

Or, pour tout (x,y) dans R on a $x + y = 1$ donc

$$F(x,y) = \begin{cases} f'(2-2y, 2y-1) & si\ \frac{1}{2} \le y \le 1 \\ \\ f(1-2y, 2y) & si\ 0 \le y \le \frac{1}{2} \end{cases}$$

On en déduit que $\gamma(\bar{F}) = \bar{G}$, donc γ est un morphisme de groupes et par suite un isomorphisme.

Théorème (2.4.4) : *Soient $(X, x_{_0})$ un espace topologique pointé, n un entier naturel non nul. Alors pour tout $i \in \{1, .., n\}$, il existe un isomorphisme de groupes entre $\pi_{_i}(\Pi_{_n}(X), x_{_0})$ et $\pi_{_i}(X, x_{_0})$.*

Preuve : D'après les propositions (2.4.1) et (2.4.2), et en remplaçons N par $I_{_{i-1}}$ on obtient les bijections suivantes :

$$\begin{aligned}
\pi_1\big(X_N, Id_N(x_0)\big) &\simeq \big[(S^1, s_0); (X_N, Id_N(x_0)\big] \\
&\simeq \big[(R, \delta R); (X_N, Id_N(x_0)\big] \\
&\simeq \big[(R^{N,1}, \delta R^{N,1}); (X, x_0)\big] \\
&\simeq \big[(S^i, s_0); (X, x_0)\big] \\
&\simeq \pi_i(X, x_0)
\end{aligned}$$

qui sont des isomorphismes de groupes par transfère de la strucrure de $\pi_i(\Pi_n(X), x_0)$. On déduit alors d'après la proposition (2.6.3) qu'il existe un isomorphisme entre $\pi_i(\Pi_n(X), x_0)$ et $\pi_i(X, x_0)$.

(2.5).—Réalisation géomètrique d'un n-groupoide :

Soit Φ un n-groupoide. Pour toute flèche $\sigma : M^{'} \longrightarrow M$ de Δ^n on a les deux applications :

$$\Phi(M) \xrightarrow{\sigma^{'}=\Phi(\sigma)} \Phi(M^{'}) \qquad\qquad R^{M^{'}} \xrightarrow{\sigma^{"}=R^{\sigma}} R^{M}$$

Considérons l'ensemble : $\bar{\Phi} := \bigcup_{M \in ob(\Delta^n)} R^M \times \Phi(M)$. De manière naturelle on définit sur cet ensemble la relation qui, pour tout (x, y) dans $R^{M^{'}} \times \Phi(M)$, identifie l'élément $(x, \sigma^{'}(y))$ de $R^{M^{'}} \times \Phi(M^{'})$ à l'élément $(\sigma^{"}(x), y)$ de $R^M \times \Phi(M)$. Cette relation est une relation d'équivalence, et on note par $\mid \Phi \mid$ l'ensemble de ses classes d'équivalences. $\mid \Phi \mid$ est munit de façon naturelle d'une structure d'espace topologique, où $\Phi(M)$ est munit de la topologie discrète (si le n-groupoide Φ est à valeurs dans la catégorie $\mathcal{T}op$ des espaces topologiques on prend dans ce cas la topologie de $\Phi(M)$). dans la suite on écrira une classe dans $\mid \Phi \mid$ par $\mid (x, a)_M \mid$ où (x, a) est un représentant dans $R^M \times \Phi(M)$.

Soit $F : \Phi \longrightarrow \Psi$ un morphisme entre deux n-groupoides, alors F induit une application continue :

$$\begin{array}{ccc}
\mid \Phi \mid & \xrightarrow{|F|} & \mid \Psi \mid \\
\mid (x, a)_M \mid & \longrightarrow & \mid (x, F_M(a))_M \mid
\end{array}$$

Cette application ne dépend pas du représentant $(x, a)_M$, en effet :
si (x, y) est un élément de $R^M \times \Phi(M^{'})$ et $\sigma : M \longrightarrow M^{'}$ une flèche de Δ^n on a les

relations :

$$| (x, \sigma^{'}(y))_{M} | = | (\sigma^{"}(x), y)_{M'} | \qquad et \qquad \sigma^{'} F_{M'} = F_{M} \sigma^{'}$$

Alors :

$$\begin{aligned} | F | \Big[| (x, \sigma^{'}(y))_{M} | \Big] &= | (x, F_{M} \sigma^{'}(y))_{M} | \\ &= | (x, \sigma^{'} F_{M'}(y))_{M} | \\ &= | (\sigma^{"}(x), F_{M'}(y))_{M'} | \\ &= | F | \Big[| (\sigma^{"}(x), y)_{M'} | \Big] \end{aligned}$$

D'autre part la continuité des applications F_{M} entraine celle de $| F |$.

On vient de construire un foncteur $| \ | : n\text{-Gr} \longrightarrow \mathcal{T}op$ de la catégorie des n-groupoides et transformations naturelles vers celle des espaces topologiques. Au paragraphe 3 chapitre 2, nous avons construit un foncteur dans le sense inverse $\Pi_{n}(\ ) : \mathcal{T}op \longrightarrow n\text{-Gr}$ qui à un espace topologique fait associer son n-groupoide de Poincaré.

Proposition (2.5.1) : *Soient Φ un n-groupoide et X un espace topologique. Alors il existe une application naturelle :*

$$\mathcal{F} \ : \ Hom\big(| \Phi |, X\big) \longrightarrow Hom\big(\Phi, \Pi_{n}(X)\big)$$

Preuve : Soient $f : | \Phi | \longrightarrow X$ une application continue et M un élément de Δ^{n}. Pour tout a dans $\Phi(M)$ on désigne par $\mathcal{L}_{a}$ l'application de R^{M} vers $R^{M} \times \Phi(M)$ qui à x fait correspondre le couple (x, a). On définit $\mathcal{F}(f)$ par :

$$\begin{array}{ccc} \Phi(M) & \xrightarrow{\mathcal{F}(f)(M)} & \overline{X_{M}} \\ a & \longrightarrow & \overline{\Gamma_{a}} \end{array}$$

où Γ_{a} est la composé des trois applications suivantes :

$$R^{M} \xrightarrow{\mathcal{L}_{a}} R^{M} \times \Phi(M) \xrightarrow{S_{M}} | \Phi | \xrightarrow{f} X$$

et S_{M} l'application canonique qui envoie un élément vers sa classe dans $| \Phi |$. Montrons maintenant que $\mathcal{F}(f)$ est un morphisme.

Soit $\sigma : M^{'} \longrightarrow M$ une flèche de Δ^{n}, on veut montrer la commutativité du diagramme suivant :

$$\begin{array}{ccc} \Phi(M) & \xrightarrow{\mathcal{F}(f)(M)} & \overline{X_{_M}} \\ {\scriptstyle \sigma^{'}}\big\downarrow & & \big\downarrow{\scriptstyle \bar{\sigma}} \\ \Phi(M^{'}) & \xrightarrow[\mathcal{F}(f)(M^{'})]{} & \overline{X_{_{M'}}} \end{array} \qquad \text{où} \qquad \sigma^{'} = \Phi(\sigma) \text{ et } \bar{\sigma} = \Pi_{_n}(X)(\sigma)$$

Pour tout (x, a) dans $R^{M^{'}} \times \Phi(M)$ on a les relations suivantes :

$$\Big[\bar{\sigma} \circ \mathcal{F}(f)(M)\Big](a) = \bar{\sigma}\Big[\overline{\Gamma_a}\Big] = \overline{\Gamma_a \circ \sigma^{"}}$$

$$\Big[\mathcal{F}(f)(M) \circ \sigma^{'}\Big](a) = \overline{\Gamma_{\sigma^{'}(a)}}$$

$$\mid (x, \sigma^{'}(a))_{_{M'}} \mid = \mid (\sigma^{"}(x), a)_{_M} \mid$$

On en déduit :

$$\begin{aligned} \Gamma_{\sigma^{'}(a)}(x) &= f\Big(\mid (x, \sigma^{'}(a))_{_{M'}} \mid \Big) \\ &= f\Big(\mid (\sigma^{"}(x), a)_{_M} \mid \Big) \\ &= \Gamma_a(\sigma^{"}(x)) \\ &= [\Gamma_a \circ \sigma^{"}](x) \end{aligned}$$

ce qui montre que $\mathcal{F}(f)$ est un morphisme.

Si on prend dans la proposition (2.5.1), $X = \mid \Phi \mid$ et $f = Id_{_{\mid \Phi \mid}}$, on obtient une morphisme de Φ vers $\Pi_{_n}(\mid \Phi \mid)$. Nous conjecturons que le foncteur $\mid \mid$ est un inverse à équivalence près du foncteur $\Pi_{_n}(\ )$ de la catégorie des espaces topologiques n-tronqués vers la catégorie n-Gr des n-groupoides.

SOMMAIRE

ITRODUCTION 1

Chapitre 1 : NOTION DE n-NERF

(1.1) Notations et définitions 1

(1.2) Troncation d'une n-pré-Nerf 5

(1.3) n-équivalence et n-Nerf 11

(1.4) 2-catégorie usuelle et 2-Nerf 17

Chapitre 2 : NOTION DE n-GROUPOIDE

(2.1) Notations et définitions 42

(2.2) Proprietés des n-groupoides 44

(2.3) n-Groupoide de Poincaré 51

(2.4) Groupes d'homotopies de $\Pi_n(X)$ 60

(2.5) Réalisation géomètrique d'un n-groupoide 64

REFERENCES BIBLIOGRAPHIQUES

[1] A. Grothendieck, A la poursuite des champs, unpublished manuscript.

[2] J. Giraud, Cohomologie non abélienne, Grundelehren der mathematischen Wissenschaften in Einzeldarstellungen 179, Springer-Verlag (1971).

[3] L. Breen, On the classification of 2-gerbes and 2-stacks, Astérisque 225, Soc. Math. de France (1994).

[4] O. Leroy, Sur une notion de 3-catégorie adaptée à l'homotopie, preprint Université de Montpellier 2 (1994).

[5] P. Gabriel-M. Zisman, Calculus of fractions and homotopy theory. Ergebnisse der mathematik, Vol. 35. Berlin-Heidelberg-New York : Springer-Verlag (1967).

[6] S. Mac Lane, Categories for the working mathematicians, Spinger-Verlag, New York (1971).

[7] S. Mac Lane, Sheaves in geometry and logic, Spinger-Verlag, New York (1992).

[8] P. May, Simplicial objects in algebraic topology. Princeton : Van Nostrand mathematical studies 11, (1967).